



REBOUND 1940

ALEX. AGASSIZ.

Library of the Museum  
OF  
COMPARATIVE ZOÖLOGY,

AT HARVARD COLLEGE, CAMBRIDGE, MASS.

Founded by private subscription, in 1861.

Deposited by ALEX. AGASSIZ.

No. 2351







Bd. 5

# ATLAS

ZU DEN

# SCHWÄMMEN

VON

FRIEDRICH AUGUST QUENSTEDT

PROFESSOR DER GEOLOGIE UND MINERALOGIE IN TÜBINGEN.

---

LEIPZIG,

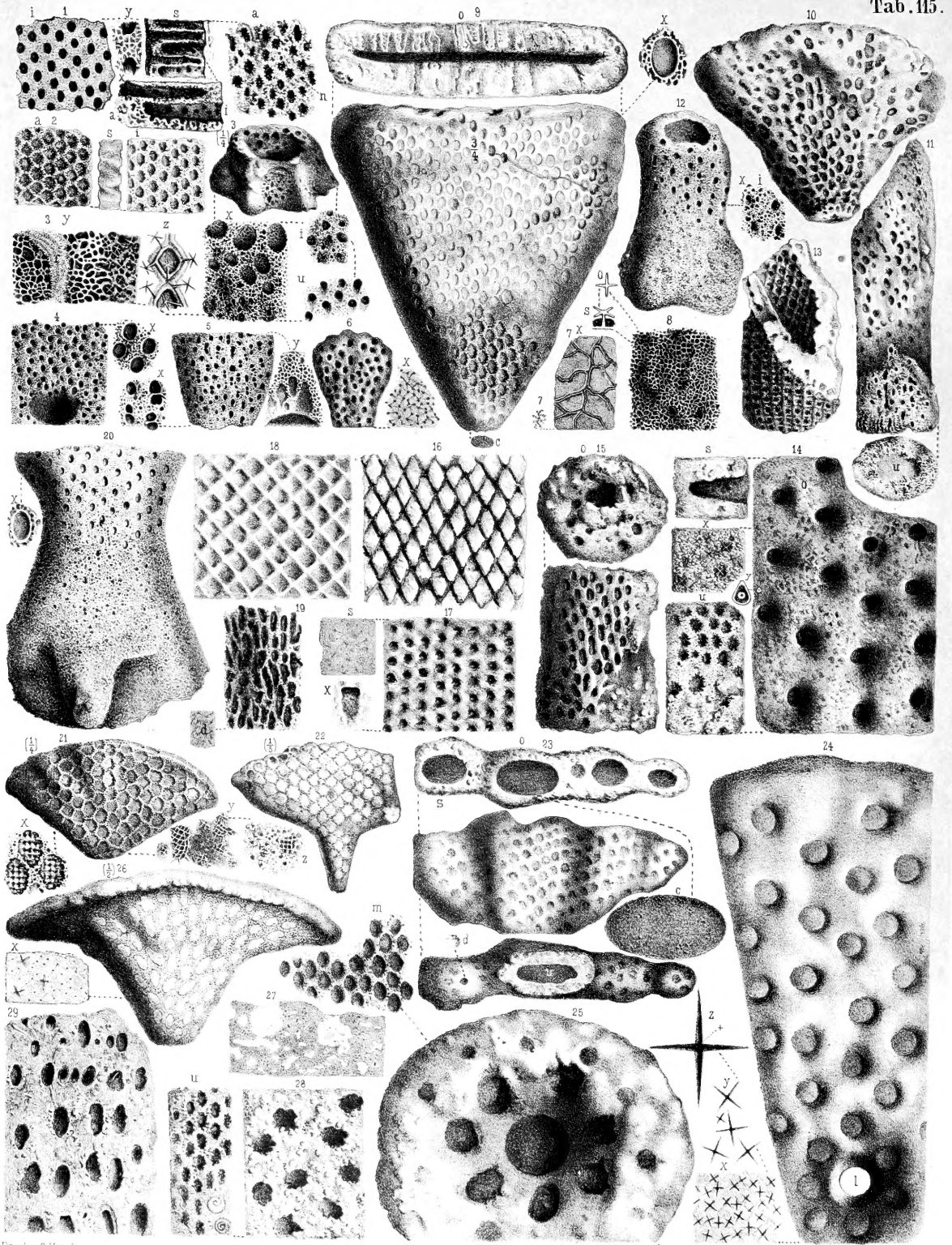
FUES'S VERLAG (R. REISLAND)

1878.

DRUCK VON L. FR. FUES IN TÜBINGEN.

5368  
3-10





## Erklärung tab. 115.

Fig.

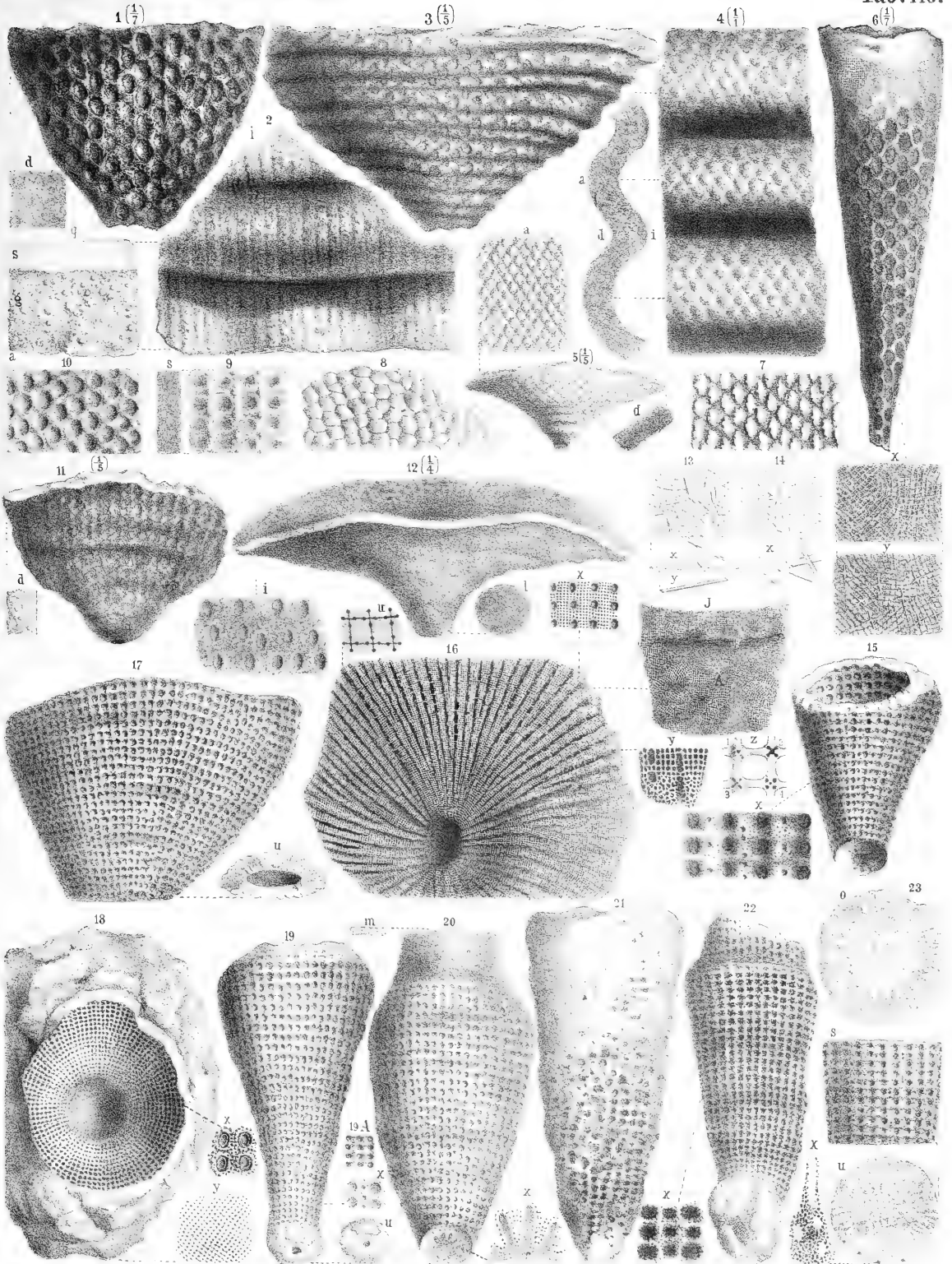
- 1 *Scyphia reticulata* pag. 28, Weisser Jura z, Sirchingen : *i* Innen, *a* Aussen, *s* seitlicher Querbruch der Platte, um den Verlauf der Kanäle zu zeigen, *x* zwei vergrösserte Kanäle, wovon *i* nach Innen, und *a* nach aussen mündet; *y* vergrösserte Innenfläche; *n* Nadelstich, deutet den Punkt an, wo der Innenkanal aussen münden würde, wenn er nicht durch Fadengewebe geschlossen wäre.
- 2 desgleichen pag. 28, Weisser Jura z, Oberdigisheim, eine dünnere Platte *s* zeigt den Röhrenverlauf sehr unsicher, *i* innen, *a* aussen.
- 3 desgleichen pag. 29, Weisser Jura z, Oberdigisheim, verkleinerte Wurzel : *i* innere, *u* untere Stellen in natürlicher Grösse; *x y z* vergrössertes Gewebe.
- 4 desgleichen pag. 35, daher, mit kleinern Löchern auf der Innenseite.
- 5 desgleichen pag. 35 (cf. *pertusa*), Weisser Jura z; *x* vergrösserte Löcher, *y* vergrösserter Oberrand.
- 6 desgleichen pag. 30, mittlerer Weisser Jura, verkalkt; *x* Schlifffläche mit vergrössertem Gewebe.
- 7 desgleichen pag. 30, daher, verkalkt; *x* vergrösserte hohle Faser.
- 8 desgleichen pag. 42, Weisser Jura z, Oberdigisheim, verkieselt, vergrösserte Spicula *s* seitlich, *o* oben.
- 9 *Scyphia retic. cucullata* pag. 36,  $\frac{3}{4}$  des natürlichen Umfangs, aber die Löcher nicht verkleinert, *o* comprimirt Mündung, *c* Grösse des untern Kanals, *x* vergrössertes Loch.
- 10 desgleichen pag. 37, Weisser Jura  $\delta$ , Oberdigisheim.
- 11 *Scyphia reticulata* pag. 35 daher, langstielig, unten mit dickern Kieselgewebe als oben.
- 12 *Scyphia retic. radicata* pag. 33, daher, mit abgeriebenem Wurzelende.
- 13 *Scyphia reticulata* pag. 36. 58, Weisser Jura z, vollständig verkieselt.
- 14 *Spongites Lochensis* pag. 43, Weisser Jura z, Lochen, gepolsterte Fläche der Oberseite *o*, *u* Unterseite, *x* vergrösserte Oberseite, *s* Querschnitt: Schwammbrut auf Thecidea, *y* vergrössert.
- 15 *Spongites reticulatus cylindricus* pag. 43, Weisser Jura z, Lochen.
- 16 *Spongites reticulatus* pag. 40, Weisser Jura z, Marmor, Altenthaler Hof.
- 17 *Spongites reticulatus* pag. 40, Mittlerer Weisser Jura, Innenseite. *s* Dicke der Platte, *x* vergrösserter Eingang des schiefen Loches.
- 18 desgleichen pag. 40, Weisser Jura  $\delta$ , Mong.
- 19 desgleichen pag. 40, Weisser Jura z, Lochen: *d* Plattendicke.
- 20 *Retispongia radicata* pag. 34, Weisser Jura  $\delta$ , Oberdigisheim.
- 21 *Scyphia retic. cucullata* pag. 38, daher, verkleinerter Umriss, aber die Maschen in natürlicher Grösse: *x* vergrösserte Kieselcuticula aussen; *y* vergrössertes Kieselgewebe innen; *z* vergrössertes äusseres Gewebe mit Haut.
- 22 desgleichen pag. 38 daher,  $\frac{1}{5}$  nat. Grösse, aber die Maschen nicht verkleinert.
- 23 desgleichen pag. 38, daher,  $\frac{1}{2}$  nat. Grösse, Maschen nicht verkleinert: *o* Ober-, *u* Unterende; *c* Hauptosculum in natürlicher Grösse; *d* natürliche Grösse der untern Nebenöffnung.
- 24 *Retispongia disciformis* pag. 41, Weisser Jura  $\delta$ , Ausschnitt in natürlicher Grösse, Polster von der Oberseite, *l* Oeffnung im Centrum.
- 25 desgleichen pag. 42, daher, natürlicher Grösse, *m* Maschennetz auf der Unterseite.
- 26 desgleichen pag. 42, daher,  $\frac{1}{3}$  natürliche Grösse; *x* vergrösserte hohle Kreuze, aus Kalkspath und nicht aus Kieselerde bestehend.
- 27 desgleichen pag. 44, Weisser Jura  $\delta$ , Heuberg, Querschnitt eines grossen Bruchstücks mit zwei Oscula.
- 28 *Spongites Lochensis* pag. 44, Weisser Jura z, Lochen, *u* Maschen der Unterseite.
- 29 *Spongites* pag. 45, Weisser Jura  $\beta$ , Hossingen, Oberseite.

## Erklärung tab. 116.

Fig.

- 1 Retispongia crateriformis pag. 50, Weisser Jura  $\gamma$  von Hossingen,  $\frac{1}{7}$  nat. Grösse, das Maschen-  
netz ist nicht verkleinert;  $d$  Dicke der Becherwand.
- 2 Retispongia rugata pag. 47, Weisser Jura  $\beta$ , Strasse von Hossingen nach Unterdigisheim,  
Bruchstück von innen, die drei Falten zu zeigen;  $q$  Querschnitt, woran  $s$  die Becherwand und  
 $g$  Gebirge ist.
- 3 desgleichen pag. 46, Weisser Jura  $\beta$ , Balingen,  $\frac{1}{5}$  nat. Grösse, die Maschen nicht verkleinert.
- 4 desgleichen pag. 47, Weisser Jura  $\beta$  neben der Hackenquelle am Wege von Laufen nach  
Hossingen, Faltenstück in natürlicher Grösse;  $d$  Dicke,  $a$  aussen,  $i$  innen.
- 5 Retispongia disciformis pag. 49, Weisser Jura  $\beta$  Strasse von Hossingen nach Unterdigisheim,  
 $\frac{1}{5}$  nat. Grösse, Maschen nicht verkleinert,  $d$  Dicke,  $a$  Zeichnung der Aussenfläche.
- 6 Retispongia cylindrifomis pag. 51, Weisser Jura  $\epsilon$ , Oerlinger Thal,  $\frac{1}{7}$  nat. Grösse, Maschen  
nicht verkleinert:  $x$  vergrösserter Schleier über den Löchern;  $y$  derselbe mit Kreuzen.
- 7 Retispongia tessellata pag. 48, Weisser Jura  $\gamma$ , Hossingen, Bruchstück einer grossen Platte.
- 8 desgleichen pag. 48, Weisser Jura  $\delta$ , irreguläre Maschen.
- 9 desgleichen pag. 48, Weisser Jura  $\delta$ , Geisslingen,  $s$  Dicke der Platte.
- 10 desgleichen pag. 49, Weisser Jura  $\delta$ , Alp.
- 11 Retispongia crateriformis pag. 50, Weisser Jura  $\beta$ , Hossingen-Unterdigisheim,  $\frac{1}{5}$  natürl. Grösse,  
das undeutliche Netz nicht verkleinert,  $d$  Dicke des Becherrandes.
- 12 Retispongia disciformis pag. 49, Weisser Jura  $\beta$ , Lochen,  $\frac{1}{4}$  natürlicher Grösse:  $l$  natürliche  
Grösse des Loches auf dem Unterende des Stieles;  $i$  Löcher der Innenseite.
- 13 Mikroskopische Nadeln pag. 18 aus einem Reticulaten Kieselchwamm.
- 14 desgleichen pag. 31 aus dem Kalkschwamm fig. 18.
- 15 Textispongia introtexta pag. 58, Weisser Jura  $\epsilon$ , Nattheim,  $x$  vergrösserte Löcher.
- 16 Retispongia linteata pag. 56, Weisser Jura  $\delta$ , Heuberg:  $x$  etwas vergrössertes Gewebe mit  
Löchern;  $y$  vergrössertes Gewebe unten verpappt;  $z$  stark vergrössertes Gitterstück mit Löchern  
pag. 53;  $u$  vergrösserte Löcher auf der angeschliffenen Unterseite;  $I$  und  $A$  Dicke des Randes.
- 17 Spongites reticulatus pag. 55, Weisser Jura  $\epsilon$ , Mörsheim,  $u$  verbrochenes Unterende.
- 18 Textispongia rhizoconus pag. 56, Weisser Jura  $\beta$ , Nusplingen:  $x$  vergrösserte Löcher;  $y$  ver-  
grössertes Gewebe aus der Wurzelgegend. Die Stacheln fig. 13 gehören dazu.
- 19 Spongites clavitextus pag. 59, Weisser Jura  $\delta$ , Heuberg:  $x$  Unterseite der Wurzel;  $x$  ver-  
grösserte Löcher; fig. 19.  $A$  Individuum mit kleinern Löchern.
- 20 Textispongia coarctata pag. 60, Weisser Jura  $\delta$ , Oberdigisheim;  $m$  Dicke des Mundrandes;  
 $x$  vergrössertes Stück der untern Schlifffläche, um den Ausgang der Röhren zu zeigen.
- 21 Spongites conitextus pag. 61, Weisser Jura  $\delta$ , Urach.
- 22 Spongites stellitextus pag. 59, Weisser Jura  $\epsilon$ , Nattheim,  $x$  vergrösserte Löcher.
- 23 Scyphia cf. calopora pag. 58, Weisser Jura  $\epsilon$ , Nattheim, ein oben  $o$  unten  $u$  angeschliffenes  
Stück;  $x$  vergrösserte Röhre.

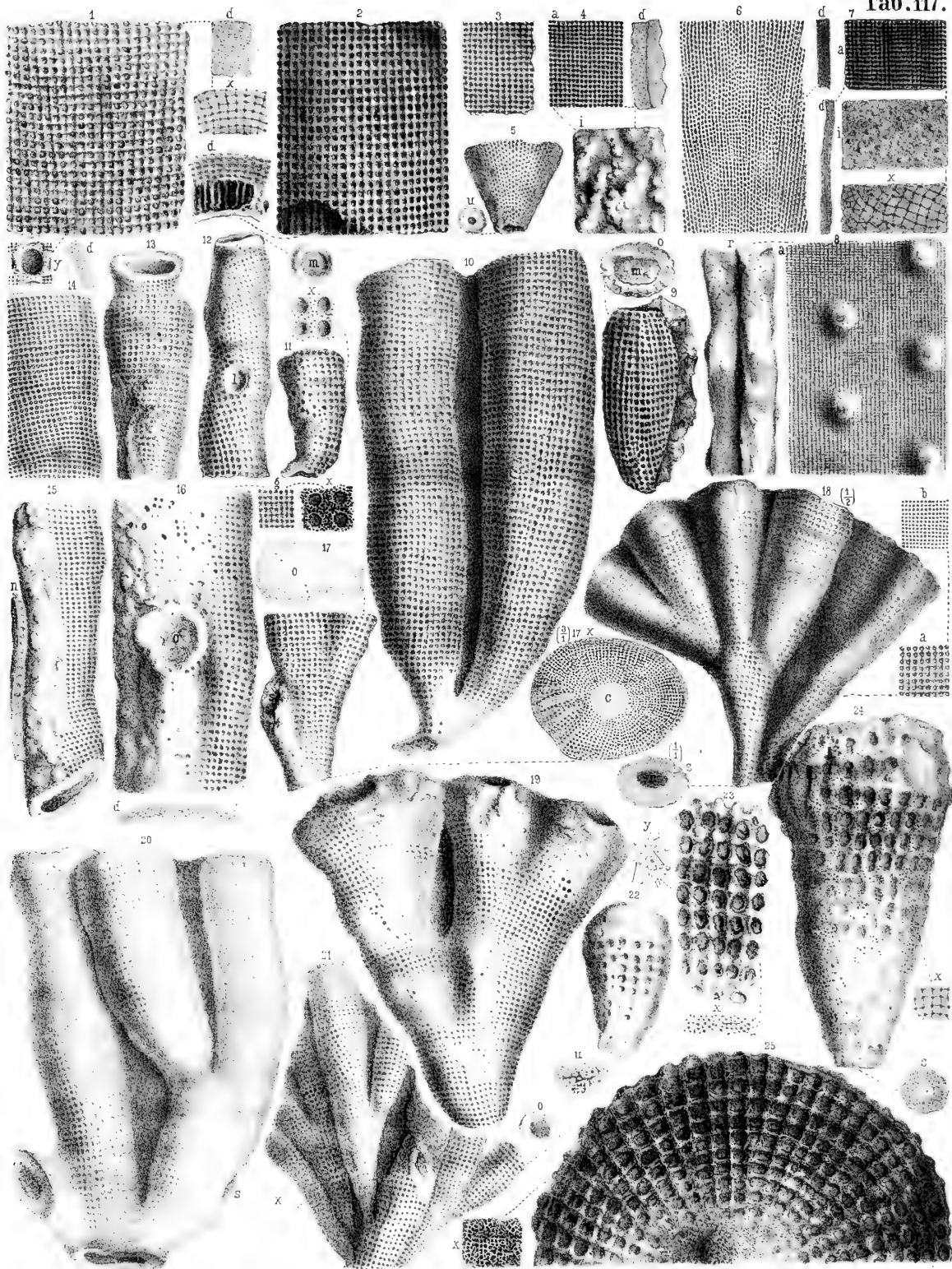












## Erklärung tab. 117.

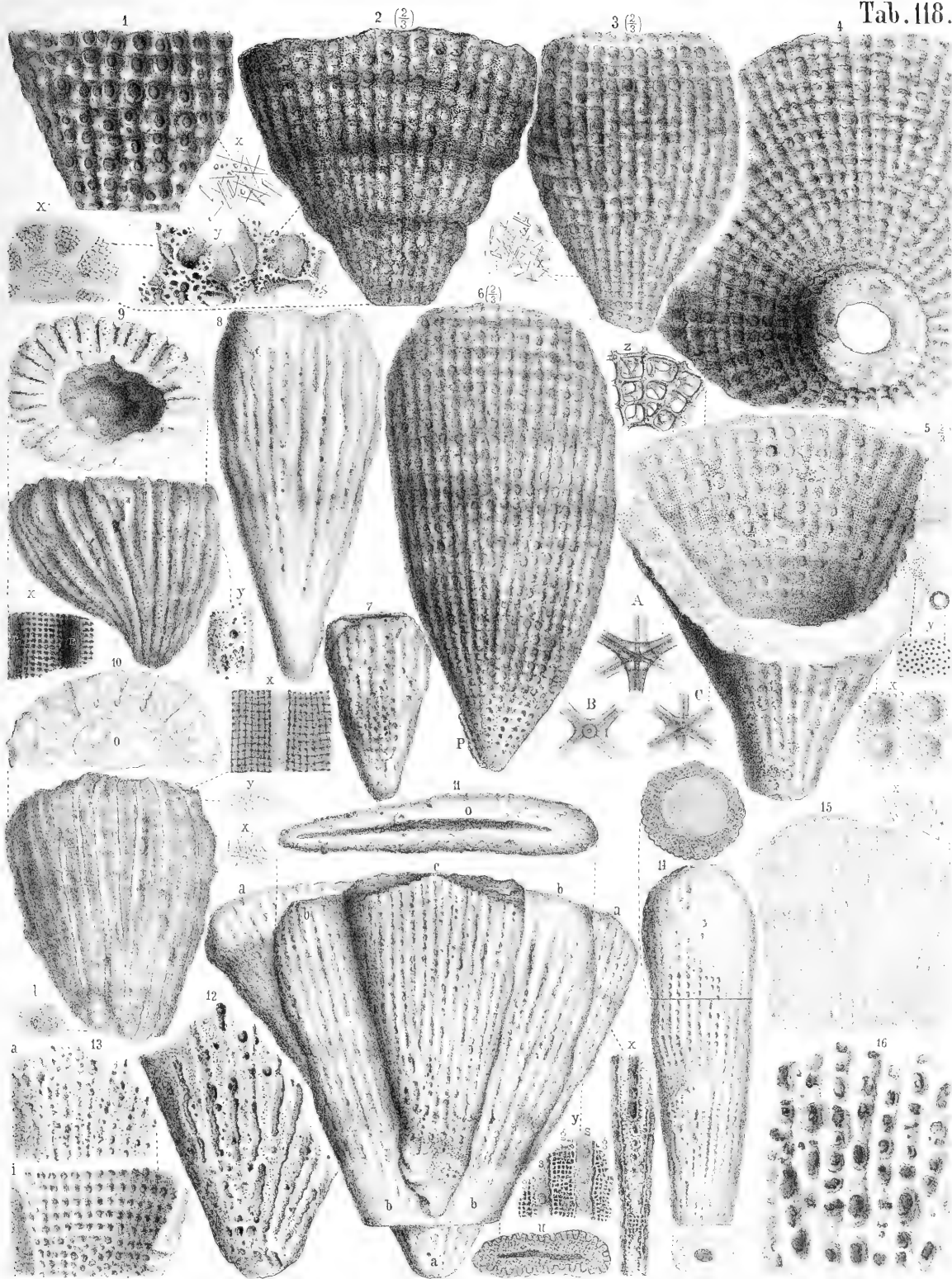
Fig.

- 1 Textispongia gigas pag. 61, Weisser Jura  $\gamma$ , Büllert: ein Bruchstück in natürlicher Grösse von der Aussenseite;  $d$  Dicke der Platte,  $x$  Fadentextur auf dem Querschliff;  $y$  vergrössertes Loch.
- 2 desgleichen pag. 62, Weisser Jura  $\gamma$ , Hossingen: ein Bruchstück in natürlicher Grösse;  $d$  Dicke der Platte im Querbruch.
- 3 Scyphia Schweiggeri pag. 63, Weisser Jura  $\gamma$ , Gundershofen, ein Bruchstück.
- 4 desgleichen pag. 63, daher:  $a$  aussen,  $i$  innen,  $d$  Dicke der Platte.
- 5 desgleichen pag. 63, daher, ein kleiner vollständiger Trichter mit verbrochener Unterseite  $u$ .
- 6 Scyphia Schlotheimii pag. 64, Weisser Jura  $\gamma$ , Thiergarten,  $d$  Dicke der grossen Platte.
- 7 Textispongia foliata pag. 64, Weisser Jura  $\beta$ , Mühlheim:  $a$  aussen,  $i$  innen,  $d$  Dicke,  $x$  vergrösserte Textur auf dem Querschliff.
- 8 Textispongia mamillata pag. 65, Weisser Jura  $\delta$ :  $a$  Aussenseite,  $r$  Querschnitt, in der Mitte beider Platten mit Gebirgsschlamm.
- 9 Spongites cylindritextus pag. 65, Mittlerer Weisser Jura,  $m$  Mündung.
- 10 Sp. cylindritextus familiaris pag. 67, Weisser Jura  $\delta$ , Heuberg.
- 11 Sp. cylindritextus pag. 66, Mittlerer Weisser Jura, Hossingen:  $x$  vergrösserte Oberfläche.
- 12 desgleichen pag. 67, daher,  $m$  Osculum,  $l$  Loch.
- 13 desgleichen pag. 68, daher.
- 14 desgleichen pag. 68, daher, Bruchstück eines grossen Cylinders, links abgeschnitten.
- 15 desgleichen pag. 68, daher,  $n$  anklebendes Bruchstück von einem nachbarlichen Cylinder.
- 16 desgleichen pag. 68, daher, mit einer zweiten Oeffnung  $o$ ;  $g$  feinere Kanäle auf der Hinterseite, dieselben in  $x$  vergrössert;  $d$  Wanddicke.
- 17 Scyphia procumbens pag. 69, mittlerer Weisser Jura, Bruchstück, oben  $o$  angeschliffen;  $x$  dreifach vergrösserte Schlifffläche am Unterende mit dem Centralloch  $c$ .
- 18 desgleichen pag. 70 ( $\frac{1}{2}$ ) nat. Grösse, aber die Oberflächentextur nicht verkleinert;  $s$  untere Bruchfläche in nat. Grösse mit einer Röhre  $r$ ;  $b$  Netz bei Goldfuss verglichen mit unserm  $a$ .
- 19 desgleichen pag. 70, Weisser Jura  $\delta$ , Heidenstadt.
- 20 Sp. cylindritextus familiaris pag. 71, Weisser Jura  $\delta$ , Nusplingen.
- 21 Scyphia cf. pertusa pag. 71, Weisser Jura  $\gamma$ , Stück einer Familie,  $o$  Osculum,  $x$  vergrösserte Kieselnadeln.
- 22 Scyphia cf. clathrata pag. 73, Weisser Jura  $\delta$ , Heuberg,  $u$  Schlifffläche des Unterendes.
- 23 Scyphia clathrata pag. 74, Weisser Jura  $\delta$ , Heuberg, Bruchstück von einem Kegel:  $x$  vergrössertes Gewebe,  $y$  vergrösserte Kieselnadeln.
- 24 desgleichen pag. 73, Heidenstadt,  $s$  Schlifffläche der untern Spitze,  $x$  vergrössertes Kieselgewebe. Die schwarzen Pünktchen rühren von lebenden Pilzen her.
- 25 Spongites clathratus semiglobus pag. 74, Weisser Jura  $\delta$ , Heuberg, von der halbkugeligen Unterseite,  $x$  vergrössertes Kieselgewebe.

## Erklärung tab. 118.

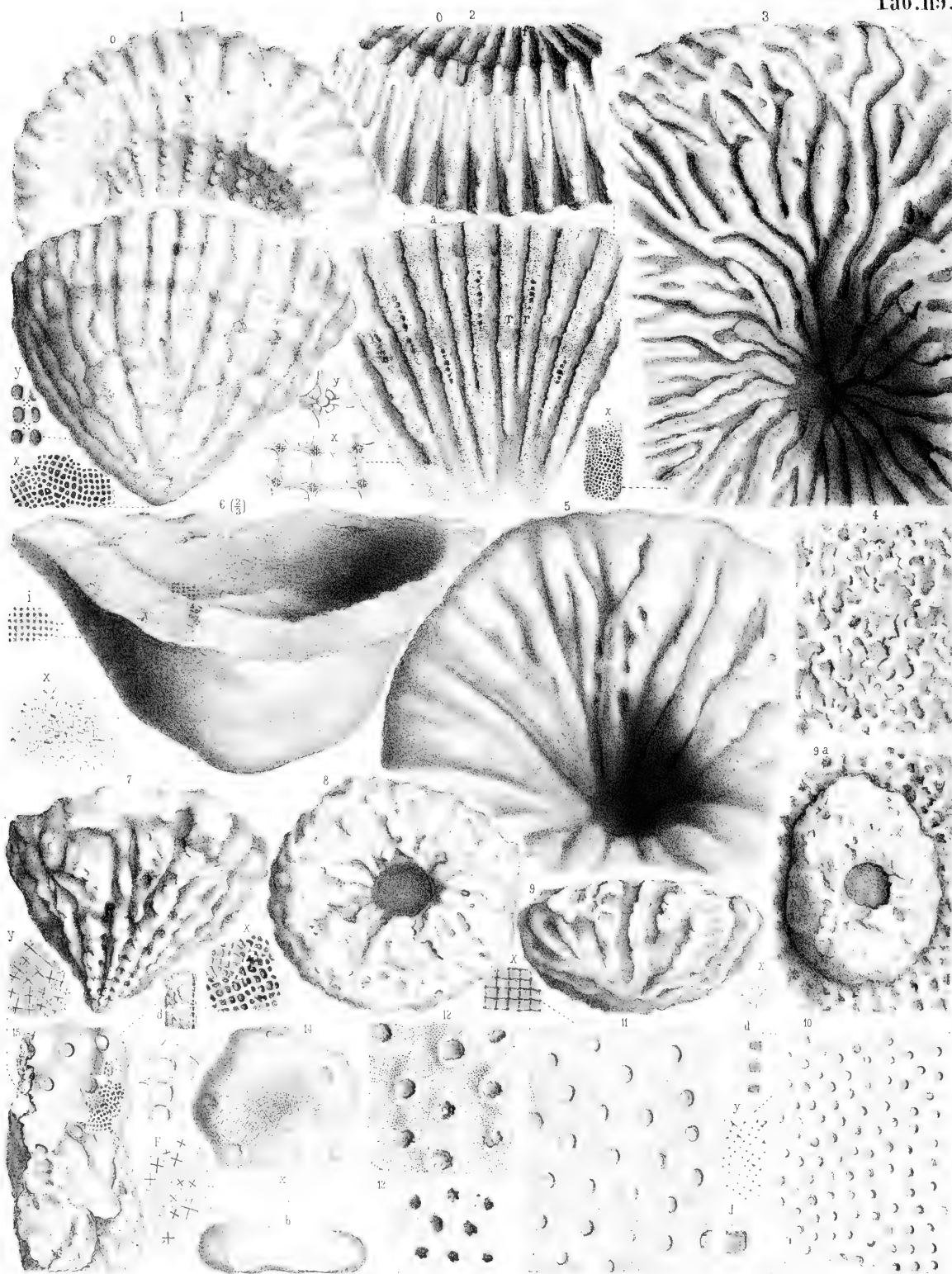
Fig.

- 1 *Clathrispongia tessellata* pag. 75, Weisser Jura  $\gamma$ , Heuberg,  $x$  vergrösserte Kieselnadeln.
- 2 *Clathrispongia trochiformis* pag. 75, ( $2/3$ ) nat. Grösse, aber die Maschen nicht verkleinert, Weisser Jura  $\delta$ , Heuberg:  $x$  vergrösserte Schlifffläche der Unterseite;  $y$  vergrössertes Kieselgewebe der Oberfläche.
- 3 *Clathrispongia ventricosa* pag. 76, ( $2/3$ ) nat. Grösse, aber die Löcher nicht verkleinert, Weisser Jura  $\delta$ , Heuberg,  $x$  und  $y$  vergrösserte Nadeln.
- 4 *Clathrispongia orbica* pag. 77, ( $2/3$ ) nat. Grösse, aber die Maschen nicht verkleinert, Unterseite, Weisser Jura  $\delta$ , Heuberg.
- 5 *Clathrispongia introcyclica* pag. 78, Weisser Jura  $\delta$ , Heuberg, ( $2/3$ ) nat. Grösse, aber die Löcher nicht verkleinert:  $x$  vergrössertes Stück mit Pilzgrübchen;  $y$  desgleichen von einer andern Species;  $z$  vergrössertes Kieselgewebe. *ABC* vergrösserte Axenkreuze mit Oktaedrischer Verdickung in der Mitte.
- 6 *Clathrispongia perlata* pag. 80, ( $2/3$ ) nat. Grösse, die Zeichnung darauf aber nicht verkleinert, Weisser Jura  $\delta$ , Heuberg,  $p$  Kieselplatte.
- 7 desgleichen pag. 81, Weisser Jura  $z$ , verkieselt.
- 8 *Sulcispongia* pag. 83, Weisser Jura  $\delta$ , verkalkt, Oberböhningen.
- 9 *Sulcispongia incisa* pag. 83, Weisser Jura  $z$  verkieselt, Steingebrom:  $x$  vergrössertes Gewebe zwischen zwei Rinnen  $rr$ ,  $y$  vergrösserte Oberfläche einer Rippe.
- 10 *Sulcispongia colliciaris* pag. 84, Weisser Jura  $\delta$ , Oberböhningen:  $x$  grössere  $y$  kleinere Nadeln, das obere  $x$  eine vergrösserte Furche mit nebenstehenden Gitterzeichnungen.
- 11 *Sulcispongia rimosa* pag. 85, Weisser Jura  $\delta$ , Oberdigisheim, drei übereinanderliegende Varietäten  $a b c$ :  $o$  comprimirt Mündung von  $b$ ;  $u$  angeschliffene Fläche des Unterendes von  $b$ ;  $y$  vergrösserte Falten, worin  $ggg$  das Faltengewebe,  $ss$  den durchlöchernten Schlamm in den Rinnen bezeichnen;  $x$  eine vergrösserte nach oben gegabelte Rippe.
- 12 *Sulcispongia varia* pag. 87, Weisser Jura  $\delta$ , Heuberg, untere comprimirt Spitze von einem grössern Exemplar.
- 13 *Sulcispongia cf. rimosa* pag. 88, Weisser Jura  $\delta$ , Heuberg:  $a$  aussen,  $i$  innen.
- 14 *Sulc. rimosa cylindrica* pag. 88, Weisser Jura  $\delta$ , Oberböhningen.
- 15 *Sulcispongia cf. rimosa* pag. 89, Marmor des Weissen Jura  $\delta$  von Oberböhningen,  $x$  vergrösserte Stacheln.
- 16 *Sulcispongia semiclathrata* pag. 90, Weisser Jura  $\delta$ , Heuberg.











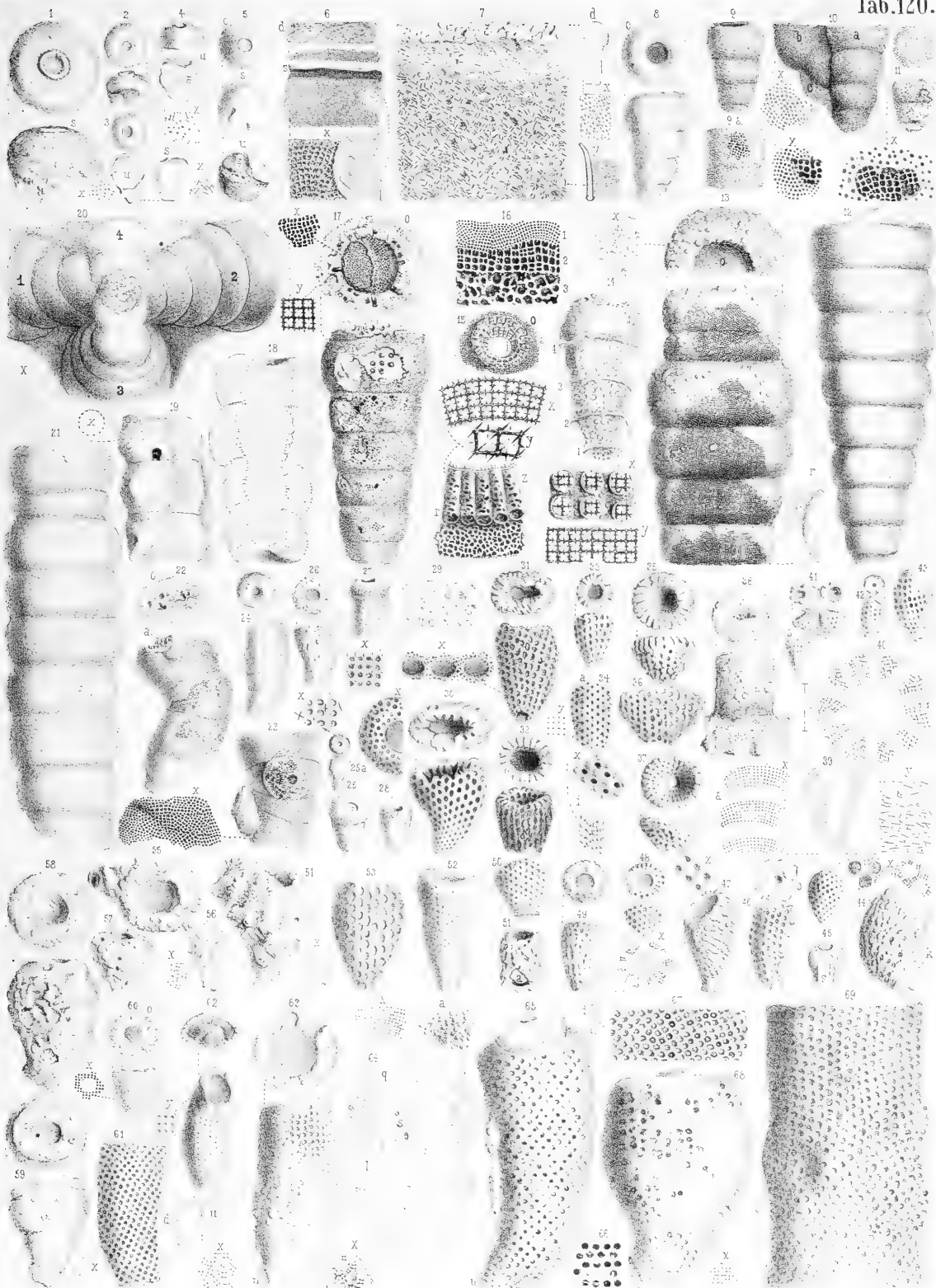
## Erklärung tab. 119.

Fig.

- 1 *Lancispongia lamellosa tumulosa* pag. 92, Weisser Jura  $\delta$ , Hossingen:  $\phi$  Hälfte von der Mündung zeigt innen die tumuli;  $x$  vergrössertes Kieselgewebe pag. 94,  $y$  stark vergrösserter Oktaederknoten.
- 2 *Lancispongia lamellosa jugosa* pag. 93, daher:  $\phi$  Bruchstück vom Oberrande, zeigt innen die Joche  $f$ , welche sich bei  $g$  gabeln, deren Zinken auf der Aussenseite  $a$  in  $rr$  fortsetzen;  $x$  vergrösserte Gitter mit Zacken;  $y$  Oktaederknoten, 4 Durchbrüche sichtbar.
- 3 *Lancispongia lopus multisulcatus* pag. 95, daher, Stück von der Innenseite;  $x$  Stück einer Rippe doppelt vergrössert.
- 4 desgleichen pag. 95, daher, Stück der Aussenseite mit irregulären Gängen.
- 5 *Lancispongia lopus sparsisulcatus* pag. 96, daher.
- 6 Pfahlbauer-Schüssel pag. 96, bei den Rennthiergeweihen zu Schussenrieth gefunden:  $i$  Kieselgitter in natürlicher Grösse;  $x$  Nadeln mit Kieselknollen. Die Nadeln hielt ich früher für Kiesel, sie bestehen aber aus Gyps pag. 169, der sich bei unreiner Schwefelsäurehaltiger Salzsäure äusserst schnell bildet, und daher nicht für Beweis der Schwammnatur genommen werden kann, an der übrigens in diesem Falle die Schwammtextur nicht im Geringsten zweifeln lässt.
- 7 *Lancispongia acuminata* pag. 97, Weisser Jura  $\delta$ , Oberböhringen.
- 8 *Lancispongia microstoma* pag. 98, Weisser Jura  $\delta$ , Hossingen.
- 9 *Lancispongia lopus* pag. 98, daher, Seitenansicht einer jungen.
9. a *Lancispongia* pag. 98, daher, Brut auf einer grössern *lopus* sitzend.
- 10 *Porospongia marginata micropora* pag. 99, Weisser Jura  $\beta\gamma$ , Unterdigisheim:  $d$  Querschnitt,  $y$  vergrösserte Gitter der Oberfläche,  $x$  vergrösserte Gypsnadeln.
- 11 *Porospongia marginata macropora* pag. 100, Weisser Jura  $\beta$ , Thieringen,  $x$  vergrösserte Oberflächen;  $d$  Querschnitt durch ein Loch.
- 12 desgleichen pag. 100, Weisser Jura  $\gamma$ , Staufen.
- 13 *Porospongia marginata micropora* pag. 100, Weisser Jura  $\alpha$ , Käsebühl.
- 14 *Porospongia linguiformi* pag. 101, Weisser Jura  $\alpha$ , Lochen,  $b$  angeschliffene Fläche,  $x$  vergrösserte Gypsnadeln.
- 15 *Spongites spiculatus* pag. 101, Weisser Jura  $\delta$ , Nusplingen:  $x$  vergrössertes Gewebe,  $d$  Dicke der Schwammplatte;  $y$  vergrösserte Kreuze in der Oberhaut;  $z$  stark vergrössertes Doppeltgewebe;  $E$  vergrösserte Kieselhaut bei durchfallendem Lichte.

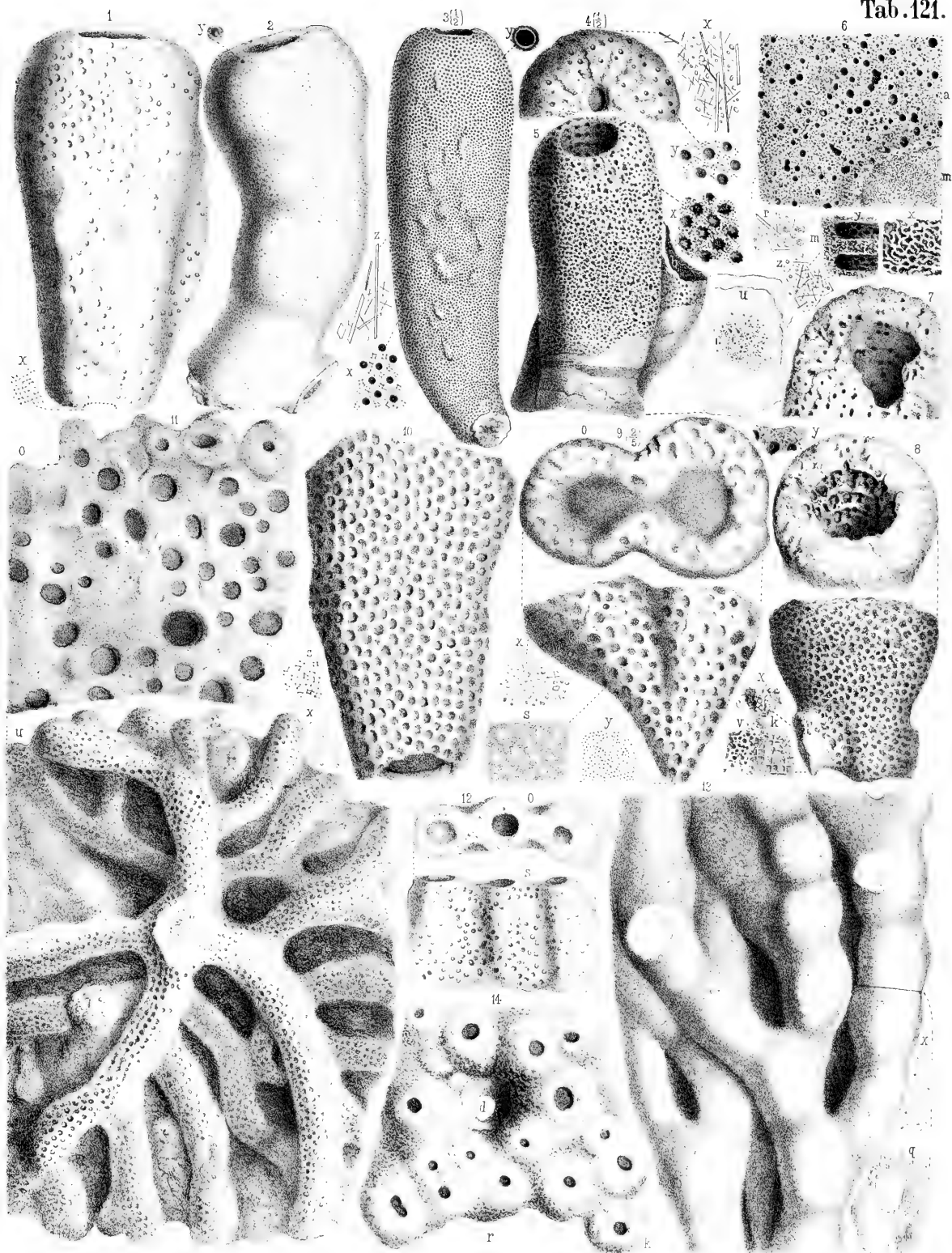
## Erklärung tab. 120.

- Fig. 1 Porospongia solitaria pag. 103, Weisser Jura  $\alpha$ , Lochen.  
 2 desgleichen pag. 103, daher.  
 3 desgleichen pag. 104, daher:  $s$  seitlich,  $u$  Ansatzfläche der Unterseite mit Maschengewebe  $x$  vergrössert.  
 4 desgleichen pag. 104, daher,  $u$  Unterseite,  $x$  vergrössertes Maschengewebe.  
 5 desgleichen Varietät pag. 104, Weisser Jura  $\gamma$ :  $o$  oben,  $s$  seitlich,  $u$  unten,  $x$  vergrösserte Kreuzeindrücke.  
 6 cf. Eulespongia pag. 105, Weisser Jura  $\epsilon$ , Oerlinger Thal: Platte mit Serpula  $s$ ,  $x$  vergrössertes Stück rechts mit einer runden Muschel und aufliegenden verkieselten Röhrchen.  
 7 Eulespongia pag. 105, daher: Platte,  $d$  Dicke,  $x$  vergrösserter Querschliff,  $y$  vergrössertes Röhrchen mit nebenliegendem Köpfchen.  
 8 Spongites articulatus pag. 108, Weisser Jura  $\delta$ , Oberdigisheim, oben  $o$  ganz, unten verbrochen.  
 9 desgleichen pag. 108, Weisser Jura  $\epsilon$ .  
 9. a desgleichen pag. 108, Oberer Weisser Jura  $\epsilon$ , Alp, unter dem Gitter grobe wirre Faser,  $x$  vergrössert.  
 10 desgleichen pag. 108, daher, drei Stücke  $abc$  verwachsen,  $x$  vergrössertes Oberflächengitter.  
 11 Spongites piriformis pag. 109, Weisser Jura  $\epsilon$ , Streitberg,  $x$  vergrössertes Stück, unter der punktierten Oberhaut erscheint das Gittergewebe.  
 12 Caseispongia articulata pag. 109, Weisser Jura  $\delta$ , Heuberg.  
 13 desgleichen pag. 110, Weisser Jura  $\delta$ , Neuffen,  $o$  Osculum,  $r$  Unterrand,  $x$  vergrösserte Nadeln, die aber nach pag. 169 sich in Wasser lösen, und erst in der unreinen Säure sich erzeugt haben.  
 14 desgleichen pag. 111, Kieseldelta, Oberdigisheim, stark geätzt:  $x$  vergrösserte Röhren mit Gitter dahinter; diese Gitter  $y$  von der Innenseite.  
 15 desgleichen pag. 112, daher, Kiesel skelet, durch Aetzung bekommen:  $o$  Oberansicht in natürlicher Grösse:  $x$  inneres Gitter vergrössert;  $y$  noch stärker vergrössert, auf den Durchschnitten mit den Kreuzen;  $z$  vergrösserte Röhren  $r$  mit vorliegendem Wurmgewebe.  
 16 desgleichen pag. 114, daher, vergrössertes Bruchstück mit drei Lagen.  
 17 desgleichen pag. 113, daher,  $x$  und  $y$  vergrössertes Gittergewebe aus dem Hohlraum.  
 18 desgleichen pag. 113, daher, Längsschliff.  
 19 desgleichen pag. 112, Marmor  $\delta$ , Oberböhlingen,  $x$  vergrössertes Lumen einer Röhre nebst vergrösserten Nadeln.  
 20 Spongites articulatus, pag. 114, Weisser Jura  $\delta$ , Ebingen, vier verwachsene Individuen 1234 von unten.  
 21 desgleichen pag. 110, Kieseldelta, Oberböhlingen.  
 22 desgleichen pag. 115, Weisser Jura  $\epsilon$ , gänzlich verkieselt, Heuberg.  
 23 desgleichen pag. 114, daher, mit zwei Knospen.  
 24 Spongites cf. articulatus pag. 115, verkalkt, Alp.  
 25 Scyphia piriformis pag. 116, Copie nach Scheuchzer.  
 26. a desgleichen pag. 116, keulenförmig, Nattheim.  
 26—28 Scyphia piriformis pag. 116, Weisser Jura, verkalkt, Friedingen,  $x$  vergrössertes Gewebe.  
 29—33 Favospongia obliqua pag. 118, Weisser Jura  $\alpha$ , Lochen, verkiest, 29 vergrösserte Kiesel.  
 34 desgleichen pag. 120, daher, Bruchstück,  $a$  aussen,  $i$  innen,  $x$  vergrösserte Löcher der Innenseite,  $y$  Gitter.  
 35. 36 desgleichen pag. 120, daher, schüsselförmig.  
 37 desgleichen pag. 120, Lambertschicht des Braunen Jura  $\alpha$ , Ehningen.  
 38 Spongites pag. 121, Lochen, Brut.  
 39. 40 Scyphia obliqua pag. 121, verkalkt, colonisirter Weisser Jura  $\alpha$ , Lochen, Schliffflächen.  
 41—43 desgleichen pag. 122, Weisser Jura  $\alpha$ , Hörnle.  
 44 desgleichen pag. 122, Weisser Jura  $\alpha$ , Lochen.  
 45. 46 desgleichen pag. 122, daher, mit grossen Anwachsflächen.  
 47 Scyphia obliqua bifurcata pag. 123, daher, verkrüppelt.  
 48 Scyphia obliqua pag. 123, daher, stark verkürzt.  
 49. 50 desgleichen pag. 123, daher,  $x$  vergrösserte Schlifffläche.  
 51 desgleichen pag. 123, daher, oben und unten offen, das untere Loch bezeichnet die schwarze Stelle unter der Ansatzfläche  $a$ .  
 52 desgleichen pag. 124, daher, schlanke Form.  
 53 desgleichen pag. 124, daher, kegelförmig, cf. Sc. dictyota Goldf. 4. 2.  
 54—58 Scyphia barbata pag. 124, Weisser Jura  $\alpha$ , Lochen.  
 59 Scyphia inberbis pag. 125, Weisser Jura  $\gamma$ , Hossingen.  
 60 Spongites raphanus, pag. 125, Weisser Jura  $\alpha$ , Lochen.  
 61 Scyphia pertusa pag. 126, Weisser Jura  $\gamma$ ,  $d$  Cylinderdicke.  
 62 Spongites culeus pag. 127, Weisser Jura  $\delta$ , Urach.  
 63 desgleichen pag. 127, Weisser Jura  $\alpha$ , Böllert.  
 64 Gitterschwamm pag. 127, Weisser Jura  $\alpha$ , Lochen,  $a$  vergrösserte Oberfläche,  $x$  vergrössertes Gewebe im Querschliff.  
 65 Scyphia pertusa pag. 128, Weisser Jura  $\delta$ , Oberdigisheim.  
 66 desgleichen pag. 128, Weisser Jura  $\delta$ , Böhlingen, Löcher.  
 67 desgleichen pag. 129, Weisser Jura  $\delta$ , Oberböhlingen,  $d$  Dicke der Wand.  
 68 desgleichen pag. 129, Kieseldelta, Heuberg,  $x$  vergrösserte Gitter.  
 69 desgleichen pag. 129, daher,  $d$  Dicke der Cylinderwand.









## Erklärung tab. 121.

Fig.

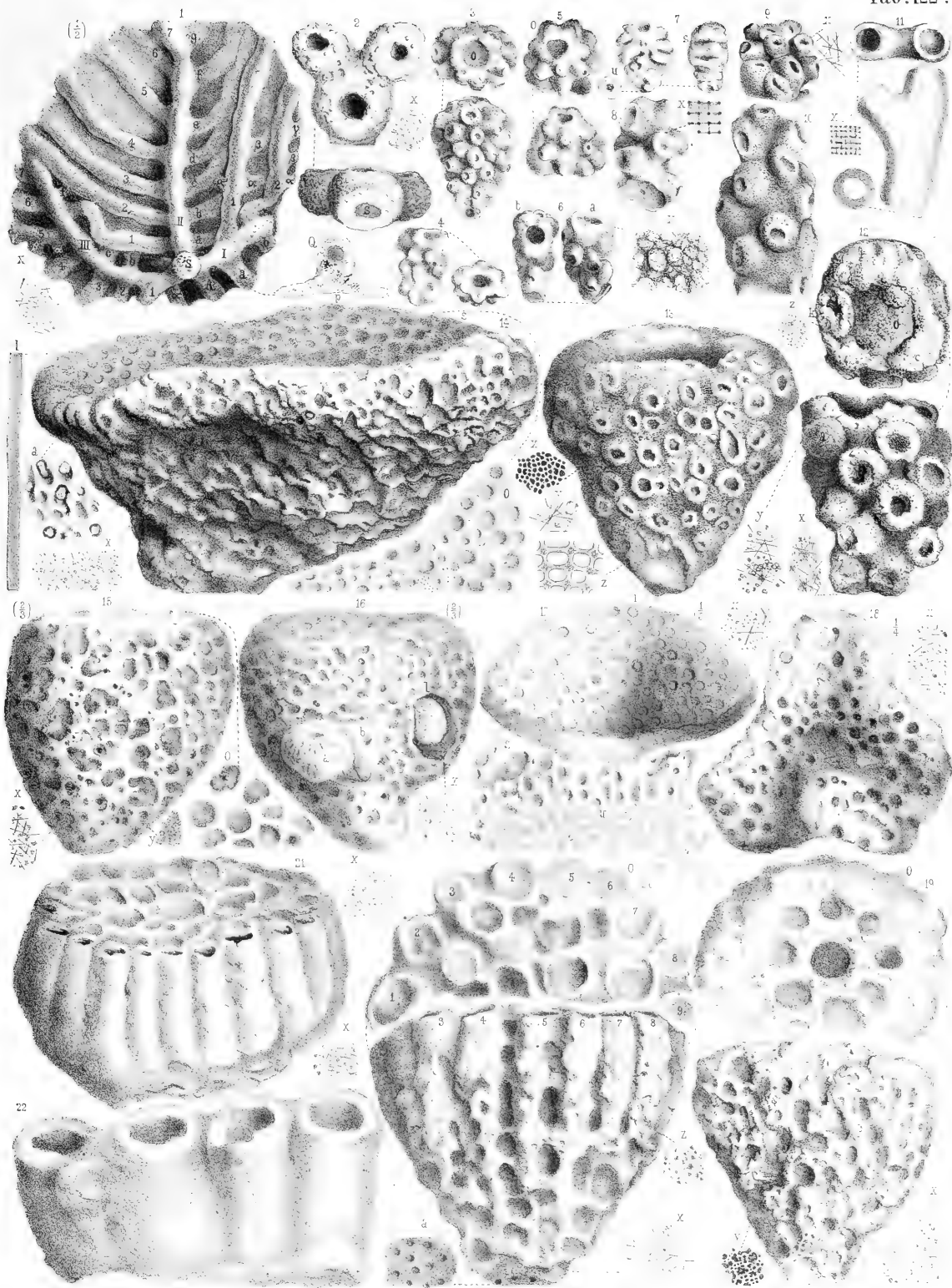
- 1 *Scyphia milleporata* pag. 130, Weisser Jura  $\delta$ , Oberdigisheim, rechts eine krankhafte Anschwellung, Loch unten durch Punkte angedeutet,  $x$  vergrössertes Gewebe.
- 2 *Scyphia milleporata curvata* pag. 131, Weisser Jura  $\delta$ , Urach,  $y$  vergrössertes Loch mit Axe.
- 3 *Scyphia milleporata miliopora* pag. 132, Weisser Jura  $\delta$ , Heuberg,  $\frac{1}{2}$  natürlicher Grösse, aber die Löcher nicht verkleinert:  $x$  Schlifffläche zeigt Kanäle mit Gittergewebe;  $z$  lange Gypsadeln;  $y$  Flechte vergrössert.
- 4 *Scyphia milleporata (microsculum)* pag. 133, Kieseldelta, Alp, Kopfstück in halber natürlicher Grösse, das Osculum ist mit verkleinert, aber die andern Zeichnungen nicht:  $x$  vergrösserte Gypsadeln;  $y$  vergrösserte Schlifffläche.
- 5 *Scyphia millepor. silicata* pag. 134, Oberer Weisser Jura, Franken:  $x$  vergrösserte Löcher;  $u$  verbrochene Unterseite.
- 6 *Scyphia millepor. medullata*, pag. 134, daher, Bruchstück:  $a$  Kiesellager,  $m$  verkalktes Mark;  $x$  vergrössertes Wurmgewebe;  $y$  vergrösserter Längsschnitt;  $z$  und  $r$  vergrösserte Gypsadeln, deren Verschiedenheit zwar auffällt, aber in Zufälligkeit ihren Grund hat.
- 7 *Scyphia milleporata* pag. 135, Weisser Jura  $\varepsilon$ , Beiningen, gänzlich verkieselt, Oberende mit Osculum.
- 8 *Scyphia trabeculata* pag. 136, Weisser Jura  $\varepsilon$ , Heidenheim;  $x$  vergrösserte Bruchfläche mit  $c$  Chalcedonkugeln,  $k$  Kreuzen,  $v$  verpappten Löchern;  $y$  vergrösserte Kreuze der Innenseite.
- 9 *Scyphia geminata* pag. 137, Weisser Jura  $\delta$ , Heuberg,  $\frac{2}{5}$  nat. Grösse, Löcher nicht verkleinert, vergrösserte Gypsadeln,  $y$  vergrössertes Gewebe auf der Schlifffläche  $s$ .
- 10 *Scyphia variolata* pag. 138, unterer Weisser Jura, natürliche Grösse.
- 11 *Ramispungia ramosa* pag. 140, Weisser Jura  $\delta$ , Hossingen:  $o$  Stück der Oberseite, oben mit Endrand,  $s$  vergrösserte Schlifffläche;  $u$  Unterseite eines grössern Stückes, oben und unten mit ganzem Rande, links und rechts abgeschnitten,  $x$  vergrösserte Gypsadeln.
- 12 *Ramispungia funiculata*, pag. 142, Weisser Jura  $\gamma$ , Rechberg.
- 13 *Ramispungia nodosa* pag. 142, Weisser Jura  $\delta$ , Hossingen, Stück von der Unterseite,  $q$  Querschnitt,  $x$  vergrösserte Gypsadeln.
- 14 desgleichen pag. 143, daher, Stück von der Oberseite mit der natürlichen Randkante  $r$ ,  $k$  eine besondere Knospe,  $d$  Durchbruchsstelle.

## Erklärung tab. 122.

Fig.

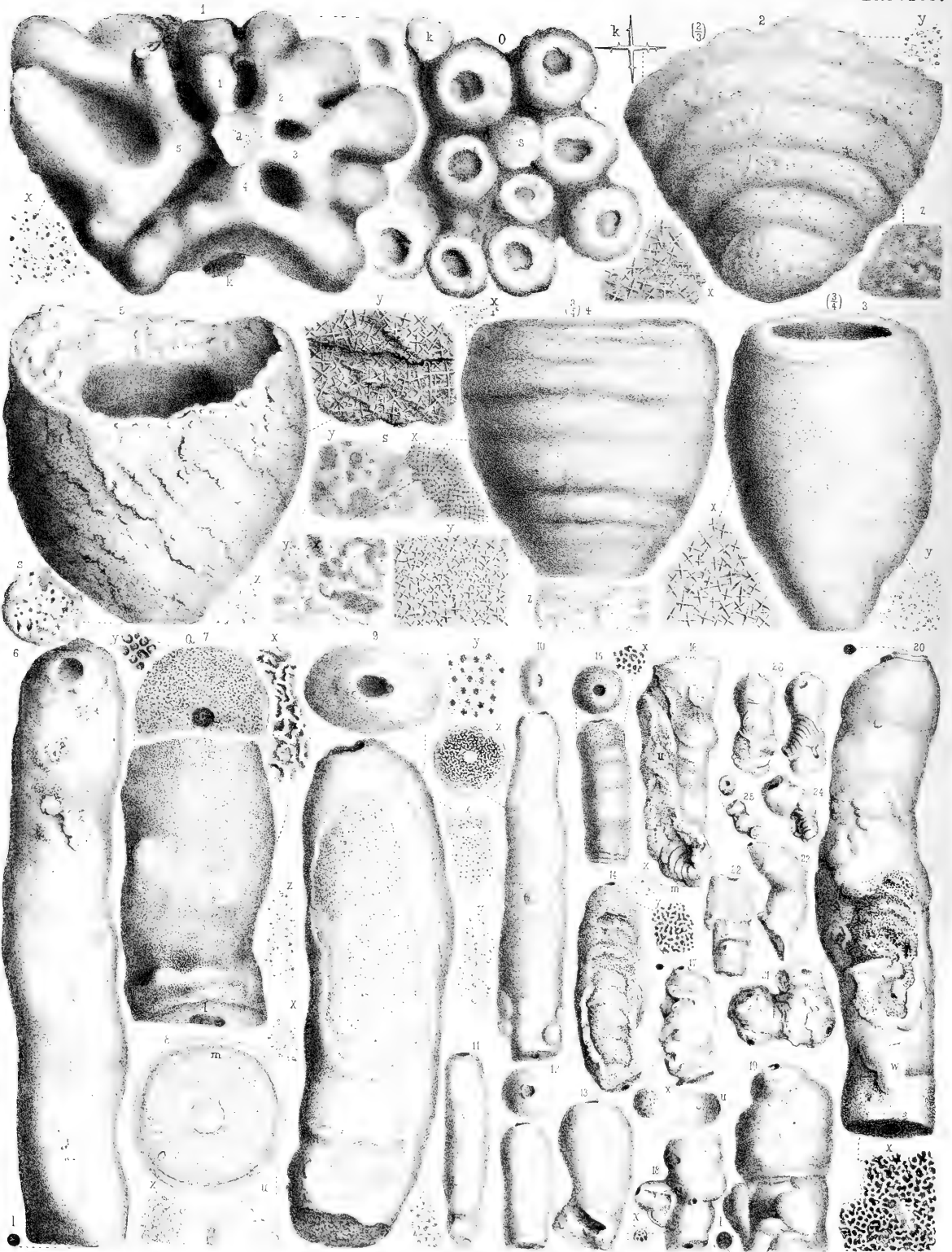
- 1 *Ramispongia cornuta* pag. 143, Weisser Jura  $\delta$ , Hossingen, zur Hälfte verkleinert:  $Q$  Querschnitt eines Zweiges in natürlicher Grösse,  $x$  vergrösserte Gypsnadeln mit Kieselklümpchen.
- 2 desgleichen pag. 145, Alp, Endspitze eines Hauptzweiges,  $s$  Querschliff.
- 3 *Mastospongia verrucosa* (uvaeformis) pag. 147, Weisser Jura  $\delta$ , Heuberg,  $x$  vergrösserte Gypsnadeln.
- 4 desgleichen pag. 147, daher, stark abgerieben.
- 5 desgleichen pag. 147, daher.
- 6 *Mastospongia cf. verrucosa* pag. 148, Weisser Jura  $\alpha$ , Lochen,  $x$  vergrössertes Kiesel skelet, worin noch einzelne in der Salzsäure entstandene Gypsnadeln hängen blieben.
- 7 cf. *Mastospongia* pag. 148, Weisser Jura  $\delta$ , Heuberg.
- 8 *Mastospongia gregaria* pag. 148, Weisser Jura  $\alpha$ , Böllert,  $x$  vergrössertes Gittergewebe.
- 9 *Mastospongia gregaria* pag. 149, Weisser Jura  $\alpha$ , Lenninger Thal, zwar verkiest, gaben aber dennoch in unreiner Salzsäure lange Gypsnadeln,  $x$  vergrössert.
- 10 desgleichen pag. 150, Ornatenhon, Lautlingen.
- 11 *Scyphia bipartita* pag. 149, Weisser Jura  $\alpha$ , Lochen,  $x$  vergrössertes Gittergewebe.
- 12 *Mastospongia cylindrata* pag. 150, Weisser Jura  $\gamma$ , Friedingen,  $xyz$  vergrösserte Gypsnadeln.
- 13 *Mastospongia conformis* pag. 152, Weisser Jura  $\delta$ :  $x$  vergrössertes Fadengewebe,  $y$  feine Gypsnadeln mit Kieselklümpchen,  $z$  stark vergrössertes Gewebe mit oktaedrischen Knoten.
- 14 *Cavispongia porata* pag. 154, Weisser Jura  $\delta$ , Heuberg, etwas verkleinert:  $o$  Stück der Oberseite,  $a$  Löcher mit Kieselstäben,  $x$  vergrösserte Gypsnadeln mit Kiesel,  $l$  eine Röhre in natürlicher Länge und Dicke.
- 15 *Cavispongia porata* pag. 156, Heuberg,  $2/3$  nat. Grösse, Löcher nicht verkleinert:  $o$  Mündungen der Oberseite,  $y$  vergrössertes Gewebe,  $x$  Gypsnadeln mit Kieselklümpchen.
- 16 desgleichen pag. 156, daher,  $2/3$  nat. Grösse, im Loche  $l$  mit Kiesel überzogener Kalkspath der im Innern undeutliche Nadeln zeigt, welche wahrscheinlich Hohlräumen entsprechen. Obschon die in unreiner Salzsäure kommenden Gypsnadeln ( $x$  vergrössert) denselben ähnlich sind, so stehen sie doch damit in keiner Verbindung.
- 17 desgleichen pag. 157, daher, tellerförmig,  $1/3$  nat. Grösse, Löcher nicht verkleinert:  $u$  reguläre Löcher der Unterseite, und irreguläre der Seite  $s$ , beide in natürlicher Grösse.
- 18 desgleichen pag. 158, daher,  $1/4$  natürlicher Grösse von der Oberseite.
- 19 *Cavispongia cylindrata* pag. 158, Weisser Jura  $\delta$ , Heuberg,  $y$  vergrössertes Kieselgewebe,  $x$  vergrösserte Kieselklümpchen und Gypsnadeln, welche in Salzsäure zum Vorschein kamen.
- 20 desgleichen pag. 159, daher,  $a$  untere Ansatzfläche mit Kanälen,  $x$  und  $y$  Gypsnadeln, welche verschieden gross an verschiedenen Stellen zum Vorschein kamen, aber dennoch nur in Zufälligkeiten ihren Grund haben.
- 21 desgleichen pag. 161, daher, in halb gewendeter Stellung, unten das kegelförmige Ende weggelassen.
- 22 cf. *Nexispongia* pag. 161, daher, einige Cylinder der grössten Arten vom Rande eines rohen Stückes. Wahrscheinlich schon zur folgenden Gruppe gehörig.











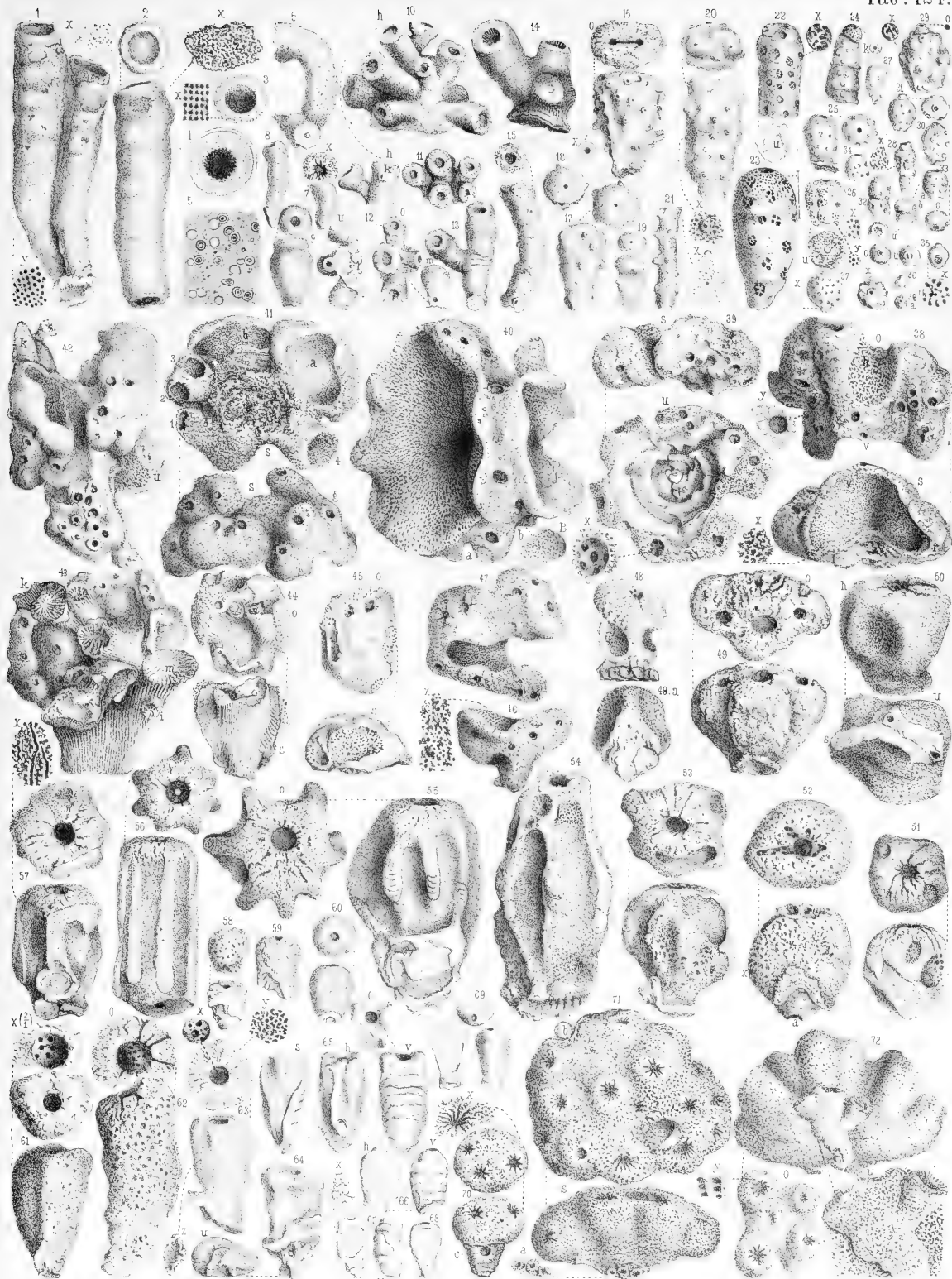
## Erklärung tab. 123.

Fig.

- 1 *Nexispongia libera* pag. 162, Weisser Jura  $\delta$ , Heuberg.
- 2 *Crucispongia annulata* pag. 165,  $\frac{2}{3}$  nat. Grösse, aber die Kreuzchen darauf nicht verkleinert, Weisser Jura  $\delta$ , Urach:  $x$  vergrösserte Kreuze,  $k$  stark vergrössert;  $y$  Gypsnadeln mit Kieselklümpchen;  $z$  Punkte auf dem Querschiff.
- 3 *Crucispongia cruciata* pag. 166, Weisser Jura  $\gamma$ , Heuberg, ( $\frac{3}{4}$ ) nat. Grösse, aber die Kreuzchen darauf nicht verkleinert:  $x$  vergrösserte Kreuze,  $y$  vergrösserte Gypsnadeln mit Kieselklümpchen.
- 4 desgleichen pag. 167, Weisser Jura  $\alpha$ , Lochen, ( $\frac{3}{4}$ ) nat. Grösse, aber die Kreuzchen darauf nicht verkleinert:  $z$  untere Schlifffläche,  $s$  hintere Schlifffläche mit Gittergewebe  $x$  (vergrössert) und ohne Gittergewebe  $y$ .
- 5 desgleichen pag. 168, Weisser Jura  $\beta$ , Hossingen, natürliche Grösse,  $s$  cavernöse Bruchfläche unten,  $y$  vergrösserte Kreuze,  $x$  vergrösserte Gypsnadeln mit Klümpchen.
- 6 *Spongites cylindricus* pag. 172, Weisser Jura  $\delta$ , Oberböhringen,  $l$  unteres Loch,  $x$  vergrössertes Kiesel skelet zwischen Gypsnadeln.
- 7 desgleichen pag. 173, Weisser Jura  $\delta$ , Heuberg,  $Q$  Querschnitt,  $xy$  vergrössertes Wurmgewebe,  $z$  Gypsnadeln mit Kieselklümpchen.
- 8 *Scyphia cf. intermedia* pag. 173, gänzlich verkieselt, wahrscheinlich aus Weissem Jura  $\epsilon$ ,  $u$  Unterende,  $x$  Gypsnadeln mit Kieselklümpchen.
- 9 *Spongites Wittlingensis* pag. 174, Weisser Jura  $\epsilon$ , Wittlingen:  $y$  vergrösserte Schwamm löcher,  $x$  vergrösserte Hüllmasse.
- 10 *Spongites cylindricus baculatus* pag. 175, Weisser Jura  $\delta$ , Oberböhringen,  $x$  etwas vergrösserter Querschnitt,  $y$  vergrösserte Gypsnadeln mit Kieselbrocken.
- 11 desgleichen pag. 176, daher,  $x$  vergrösserte Löcher verpappt.
- 12 desgleichen pag. 176, Weisser Jura  $\delta$ , Heuberg.
- 13 *Spongites cylindr. claviceps* pag. 176, Weisser Jura  $\delta$ , Wessingen.
- 14 *Scyphia cylindr. interrupta* pag. 177, Weisser Jura  $\delta$ , Heuberg,  $y$  vergrössertes Gewebe,  $x$  vergrösserte Kieselbrocken mit Gypsnadeln dazwischen.
- 15 *Scyphia cylindrica interrupta* pag. 178, Weisser Jura  $\epsilon$ , Muggendorf,  $x$  vergrössertes Gewebe.
- 16 *Radicispongia radiceiformis* pag. 178, Weisser Jura  $\delta$ , Heuberg.
- 17 desgleichen pag. 179, Weisser Jura  $\zeta$ , Trailfingen.
- 18 desgleichen pag. 180, Weisser Jura  $\epsilon$ , Heuberg.
- 19 desgleichen pag. 180, daher.
- 20 desgleichen pag. 181, daher,  $x$  vergrössertes Gewebe.
- 21 desgleichen pag. 182, daher.
- 22 desgleichen pag. 182, daher.
- 23 desgleichen pag. 182, daher, abgebrochene Zacken mit Silificationspunkten.
- 24 desgleichen pag. 183, daher.
- 25 desgleichen pag. 183, daher, Brut.
- 26 desgleichen pag. 183, Weisser Jura  $\epsilon$ , Grumbach.

## Erklärung tab. 124.

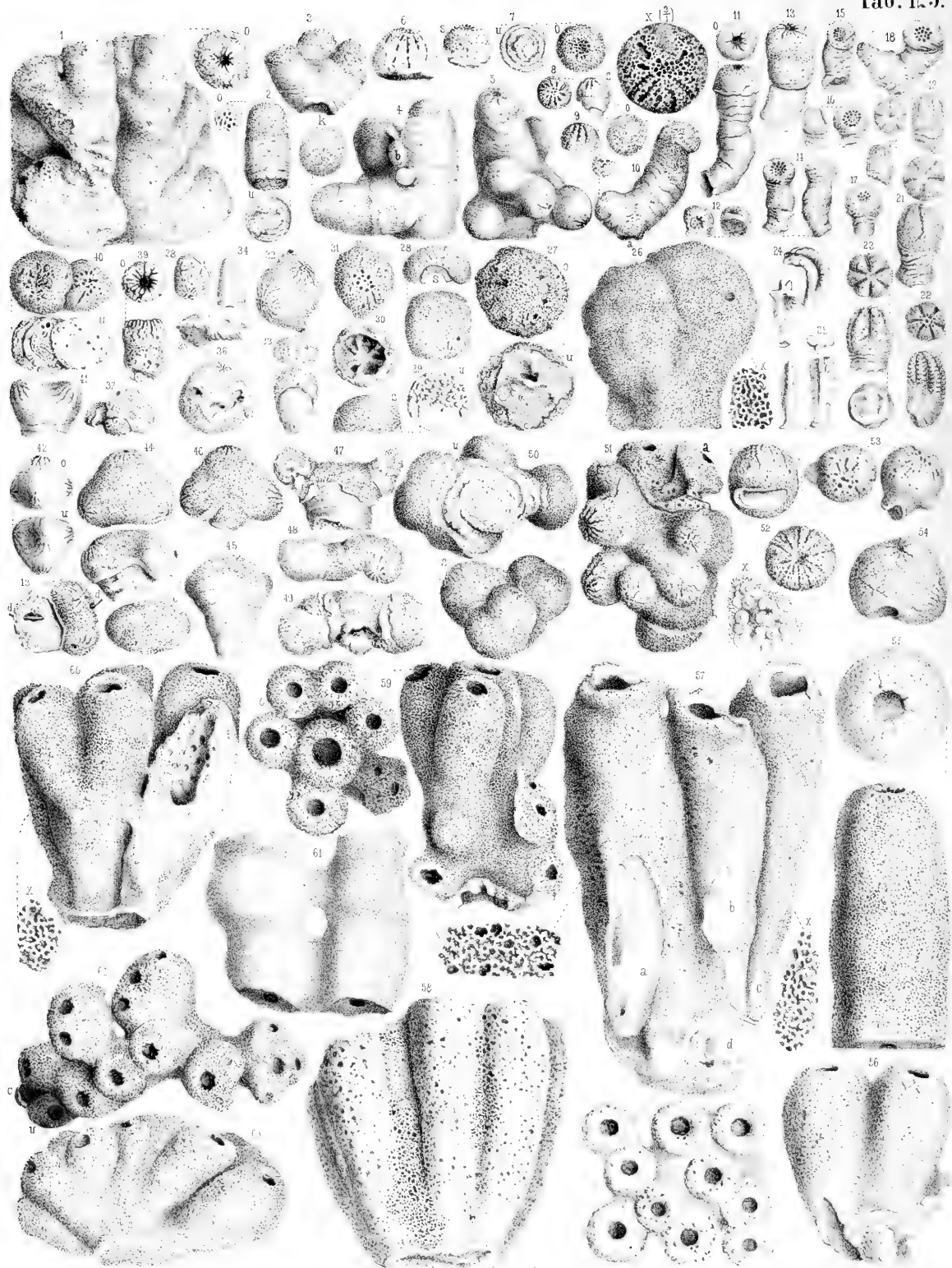
- Fig.  
 1 Scyphia Bronnii gemellus pag. 183, Weisser Jura z, Oerlingenthal,  $\alpha$  vergrösserte Kieselknollen mit Gypsnadeln,  $\gamma$  vergrösserte Oberhaut.  
 2 Desgleichen pag. 184, Weisser Jura z, Nattheim,  $\alpha$  vergrössertes Wuringewebe.  
 3 Desgleichen pag. 184, daher, Osculum innen mit Gittern,  $\alpha$  vergrössert.  
 4 Desgleichen pag. 184, daher, vergrösserter Querschliff.  
 5 Kieselmehl pag. 185, Nattheim, stark vergrössert.  
 6—9 Scyphia Bronnii pag. 186, Weisser Jura z, Nattheim.  
 10—12 Scyphia Bronnii caespoda pag. 187, daher.  
 13 Scyphia Bronnii pag. 189, daher.  
 14 Desgleichen pag. 189, daher, rechts unten ein Astrophorus.  
 15 Desgleichen pag. 189, daher.  
 16—19 Tubispongia hirsuta pag. 190, Weisser Jura z, Oerlinger Thal.  
 20 Tubispongia caeca pag. 191, Weisser Jura z, Zwiefalten.  
 21 Tubispongia pag. 191, Mittlerer Weisser Jura, Friedlingen.  
 22 Orispungia perforata pag. 192, Weisser Jura z, Nattheim.  
 23 Desgleichen pag. 192, Weisser Jura z, Oerlinger Thal,  $2\frac{1}{2}$ fach vergrössert.  
 24 Desgleichen pag. 193, daher.  
 25. 26 Desgleichen pag. 193, Weisser Jura z, Nattheim.  
 27 Desgleichen pag. 194, daher, Oerlinger Thal.  
 28 Desgleichen pag. 194, Weisser Jura z, Nollhaus.  
 29 Orispungia globata pag. 195, Weisser Jura z, Oerlinger Thal.  
 30—34 Desgleichen pag. 195, daher, Nattheim.  
 35. 36 Orispungia pisum pag. 196, Weisser Jura z, Böllert.  
 37 Sphaerospongia pag. 197, Weisser Jura z, Hossingen.  
 38 Crispispongia expansa pag. 198, Weisser Jura z, Nattheim:  $s$  Seitenansicht,  $\alpha$  vergrössertes Schwammgewebe,  $\gamma$  vergrössertes Loch mit Silificationspunkten umgeben.  
 39 Crisp. expansa cyclica pag. 199, daher,  $\alpha$  vergrössertes Loch.  
 40 Crisp. exp. calyculata pag. 200, daher,  $B$  kleinster Trichter.  
 41 Desgleichen pag. 200, daher, von zwei Seiten gezeichnet.  
 42 Crispispongia expansa pag. 201, daher, bei  $k$  auf Sternkorallen haftend.  
 43. 44 Desgleichen pag. 201, daher, im Kampfe mit Lithodendron trichotomum.  
 45—47 Desgleichen pag. 202, daher.  
 48 Spongites astrophorus pag. 203, Weisser Jura z, Nattheim.  
 48. a Desgleichen pag. 203, mit freiem Unterende.  
 49 Desgleichen pag. 204, daher, mit drei Oscula.  
 50 Desgleichen pag. 205, Weisser Jura z, Sickingen,  $u$  Unterseite.  
 51 Crispispongia solitaria pag. 205, daher, von oben und von der Seite.  
 52. 53 Desgleichen pag. 206, Weisser Jura z, Nattheim.  
 54—57 Spongites astrophorus alatus, pag. 207, daher.  
 58—61 Spongites astrophorus pag. 208, Weisser Jura z, Sickingen.  
 62 Spong. astroph. cornucopiae pag. 209, daher.  
 63 Spongites astrophorus pag. 210, Weisser Jura z, Oerlingenthal.  
 64 Desgleichen pag. 210, daher, auf Ceriopora sitzend.  
 65 Spongites astrophorus stolatus pag. 211, daher.  
 66. 67 Spongites astrophorus parabolis, pag. 211, daher.  
 68 Desgleichen pag. 211, Weisser Jura z, Nollhaus.  
 69 Desgleichen pag. 212, Weisser Jura z, Schwenningen.  
 70 Madrespongia madreporata pag. 213, Weisser Jura, z, Nattheim.  
 71 Desgleichen pag. 213, daher.  
 72 Desgleichen pag. 214, daher,  $\gamma$  vergrösserte innere Löcher,  $u$  vergrösserte Sternkorallen.











## Erklärung tab. 125.

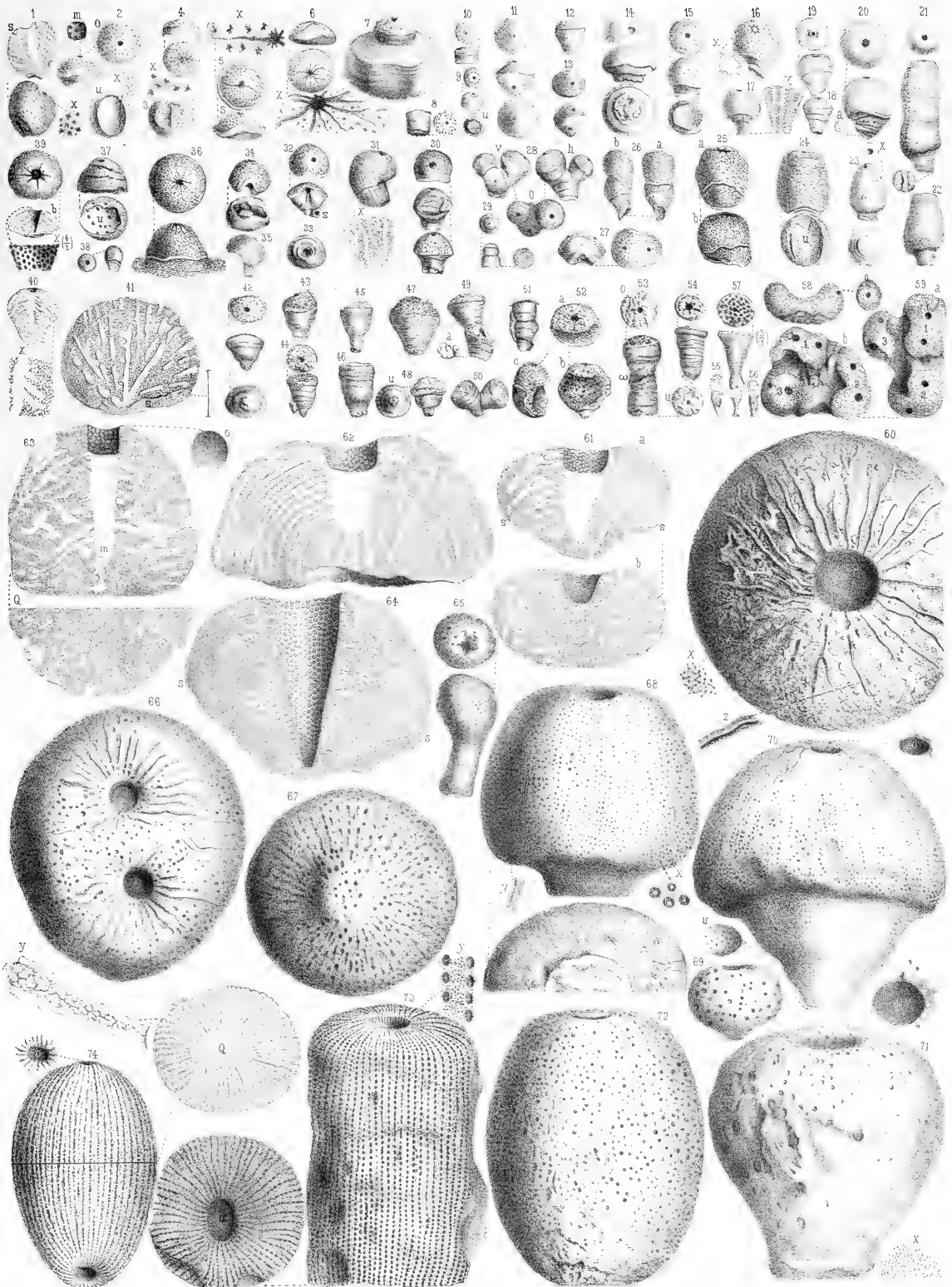
Fig.

- 1 *Madrespongia trichotomoides* pag. 214, Weisser Jura  $\varepsilon$ , Nattheim, *o* Osculum.
2. 3 *Spongites semicinctus* pag. 216, Weisser Jura  $\varepsilon$ , Steinheim.
- 4 desgleichen pag. 217, daher, Oggenhausen.
- 5 desgleichen pag. 217, daher, Söfingen.
- 6—9 *Sp. semic. semiglobus* pag. 217, Weisser Jura  $\varepsilon$ , Steinheim,  $x$  dreifach vergrößert.
- 10 *Spongites semicinctus* pag. 219, daher.
- 11 desgleichen pag. 219, Weisser Jura  $\varepsilon$ , Steinweiler.
- 12 *Spongites cf. cribratus* pag. 220, Weisser Jura  $\varepsilon$ , Nollhaus.
- 13 *Spongites semicinctus* pag. 219, Weisser Jura  $\varepsilon$ , Oerlinger Thal.
- 14—18 *Spongites cribratus* pag. 220, Weisser Jura  $\varepsilon$ , Oerlinger Thal.
19. 20 *Spongites costatus* pag. 221, Weisser Jura  $\varepsilon$ , Steinheim.
- 21—23 desgleichen pag. 221, daher, Nattheim.
24. 25 *Spongites alatus* pag. 222, daher, Oerlinger Thal.
- 26 *Spongites glomeratus* pag. 223, Weisser Jura  $\varepsilon$ , Nattheim.
- 27—29 desgleichen pag. 223, daher, Felder bei Steinheim.
- 30 desgleichen pag. 224, daher, verwitterte Innenseite.
31. 32 desgleichen pag. 224, Weisser Jura  $\varepsilon$ , Schnaitheim.
- 33 desgleichen pag. 224, daher, Nattheim.
34. 35 desgleichen pag. 224, daher Felder bei Steinheim.
- 36 desgleichen pag. 225, Weisser Jura  $\varepsilon$ , Nattheim.
- 37 *Crispispongia globata* pag. 225, daher.
- 38 *Spongites glomeratus* pag. 225, Weisser Jura  $\varepsilon$ , Felder bei Steinheim.
- 39 *cf. Madrespongia* pag. 226, daher.
- 40 *Spongites glomeratus* pag. 226, daher, *u* Unterseite.
41. 42 desgleichen pag. 226, Oolith  $\varepsilon$ , von Schnaitheim.
43. 44 desgleichen pag. 226, Weisser Jura  $\varepsilon$ , Felder bei Steinheim.
45. 46 desgleichen pag. 227, Weisser Jura  $\varepsilon$ , Nattheim.
- 47 desgleichen pag. 227, daher.
48. 49 desgleichen pag. 227, daher, wurstförmig (*farcimen*).
- 50 desgleichen pag. 227, Weisser Jura  $\varepsilon$ , Nattheim.
- 51 desgleichen pag. 228, daher, Haufwerk,  $x$  vergrößerter traubiger Kiesel, *a* *Sp. astrophorus*.
- 52—54 desgleichen pag. 228, Corallien, Klein-Lützel.
- 55 *Scyphia intermedia* pag. 229, Weisser Jura  $\varepsilon$ , Franken, gänzlich verkieselt.
- 56 desgleichen pag. 230, daher.
- 57 desgleichen pag. 231, Weisser Jura  $\varepsilon$ , Sotzenhausen.
- 58 desgleichen pag. 231, Oberer Weisser Jura, gänzlich verkieselt, *O* verkleinertes Oberende.
- 59 *Scyphia perplexa* pag. 232, Weisser Jura  $\varepsilon$ , Nattheim, verkieselt.
- 60 desgleichen pag. 232, daher,  $x$  vergrößertes Gewebe.
- 61 desgleichen pag. 233, Kieseldelta, Heuberg.
- 62 desgleichen pag. 233, Weisser Jura  $\varepsilon$ , Nattheim, von oben.
- 63 desgleichen pag. 234, daher, von der Seite.

## Erklärung tab. 126.

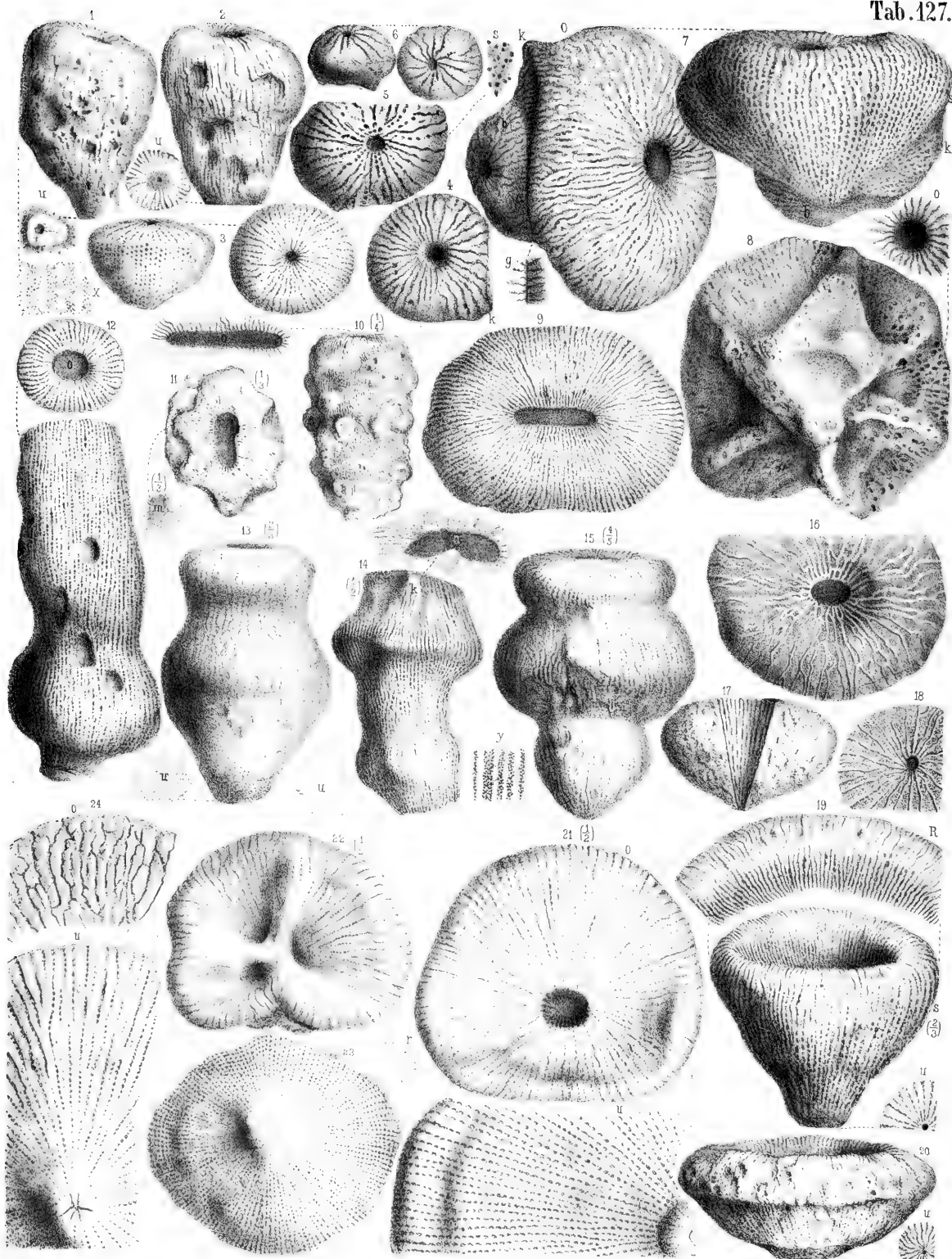
Fig.

- 1 Spongites rotula pag. 234, Mittlerer Weisser Jura, Alp, Schlifffläche *s*, *x* vergrößerte Oberfläche.
- 2 Sp. rotula biretiformis pag. 236, Weisser Jura  $\delta$ , verkieselt: *x* inneres Schwammgewebe, *u* Unterseite, *m* vergrößerte Löcher auf der Magenwand.
3. 4 desgleichen pag. 237, daher, verkieselt, von der Unterseite, *x* vergrößerte Sternlöcher.
- 5 Sp. rotula foliata pag. 237, verkieselt, Weisser Jura  $\delta$ , Heuberg, *x* vergrößerte Rinnen mit Sternlöchern.
- 6 Sp. rotula biretiformis pag. 238, verkalkt, Weisser Jura  $\delta$ , *x* vergrößertes Osculum mit Rinnen.
- 7 desgleichen pag. 238, desgleichen, Renquishausen, auf einer Terebratel.
- 8—10 Sp. rotula cylindrata pag. 238, desgleichen, Heuberg.
- 11—13 Sp. rotula coniformis pag. 239, desgleichen, daher.
- 14—18 Sp. rotula pedunculata pag. 239, desgleichen, daher: *x* vergrößertes Osculum, *y* vergrößerter Stiel.
19. 20 desgleichen pag. 240, verkieselt, Weisser Jura  $\delta$ , Heuberg.
21. 22 Sp. rotula longiceps pag. 240, Weisser Jura  $\delta$ , Heuberg.
- 23 desgleichen pag. 241, daher, *x* vergrößertes Loch mit Hüllsubstanz umgeben.
- 24 desgleichen pag. 241, daher, gänzlich verkieselt.
25. 26 desgleichen pag. 241, daher, gänzlich verkieselt.
- 27 Spongites rotula pag. 242, daher, verkieselt, Zwilling.
- 28 desgleichen pag. 242, daher, Drilling.
- 29 desgleichen pag. 242, daher, Zwilling übereinander.
30. 31 Sp. rotula pedunculata pag. 243, daher, verkieselt, *x* vergrößerter Stiel.
- 32—35 Spongites rotula pag. 243, daher, verkieselt. Krüppel.
- 36 desgleichen pag. 244, daher, verkieselt, auf einem Schwamm sitzend.
- 37 desgleichen pag. 244, daher, verkieselt, *u* Unterseite.
- 38 desgleichen pag. 244, daher, verkieselt, sehr klein.
- 39 desgleichen pag. 244, daher, verkieselt, *x* vergrößerte Magenwand, *b* Längsbruch.
- 40 desgleichen pag. 244, daher, verkieselt, Schlifffläche, *x* vergrößerte Höhle.
- 41 desgleichen pag. 244, daher, vergrößerte Schnittfläche, *s* Schlamm.
- 42—46 Spongites indutus pag. 245, verkieselt, Weisser Jura  $\epsilon$ , Nattheim.
47. 48 desgleichen pag. 246, daher, mit convexem Kopfe.
49. 50 desgleichen pag. 246, daher, Zwitter.
- 51 cf. Spongites indutus pag. 246, daher, Drilling, vielleicht Sternkoralle.
- 52 cf. Spongites indutus pag. 246, Nattheim, verkrüppelt.
- 53 Spongites indutus pag. 247, verkalkt, Weisser Jura  $\gamma$ .
- 54 desgleichen pag. 247, verkalkt, Heuberg.
- 55—57 Spongites circumseptus pag. 247, Weisser Jura  $\alpha$ , Böllert.
- 58 Spongites sella pag. 248, Weisser Jura  $\epsilon$ , Schnaitheim.
- 59 Spongites binoculatus pag. 248, daher, zwei Ansichten.
- 60 Siphonia radiata pag. 249, verkalkt, mittlerer Weisser Jura: *x* Gewebe der Unterseite, *z* vergrößerte Rinne mit Strang.
- 61 desgleichen pag. 251, Weisser Jura  $\delta$ , Alp, Längsschliff (coniplanta).
- 62 Siph. radiata semiglobata pag. 252, Weisser Jura  $\delta$ , Lauchertthal, Längsschliff (aequiplanta).
- 63 Siph. rad. aequiplanta pag. 253, Weisser Jura  $\delta$ , Alp, Längs- und Querschliff *Q*.
- 64 Siphonia radiata pag. 254, Weisser Jura  $\delta$ , Alp, Längsschliff mit Magenwand.
- 65 Siphonia pedunculata pag. 257, Weisser Jura  $\delta$ , Bopfinger.
- 66 Siphonia radiata pag. 254, Weisser Jura  $\delta$ , Alp, Zwitter von oben (aequiplanta).
- 67 desgleichen pag. 255, Weisser Jura  $\delta$ , Spaichingen, von unten (coniplanta).
- 68 Siph. rad. brevistilus pag. 255, Weisser Jura  $\delta$ , Alp (micropora).
- 69 Siphonia radiata pag. 256, Weisser Jura  $\delta$ , Spaichingen (macropora).
- 70 desgleichen pag. 256, daher, *o* Osculum, *u* concaves Stielende.
- 71 desgleichen pag. 256, Weisser Jura  $\delta$ , Oberböhringen, *o* Osculum, *x* vergrößertes Gewebe.
- 72 Siph. rad. ovalis pag. 257, Weisser Jura  $\delta$ , Heuberg.
- 73 Chemispongia Goldfussii pag. 259, daher, *u* Unterseite, *y* vergrößerte Wirtel.
- 74 desgleichen pag. 259, daher, *o* Osculum, *Q* Querschnitt durch die Mitte, *y* vergrößerte Streifen.











## Erklärung tab. 127.

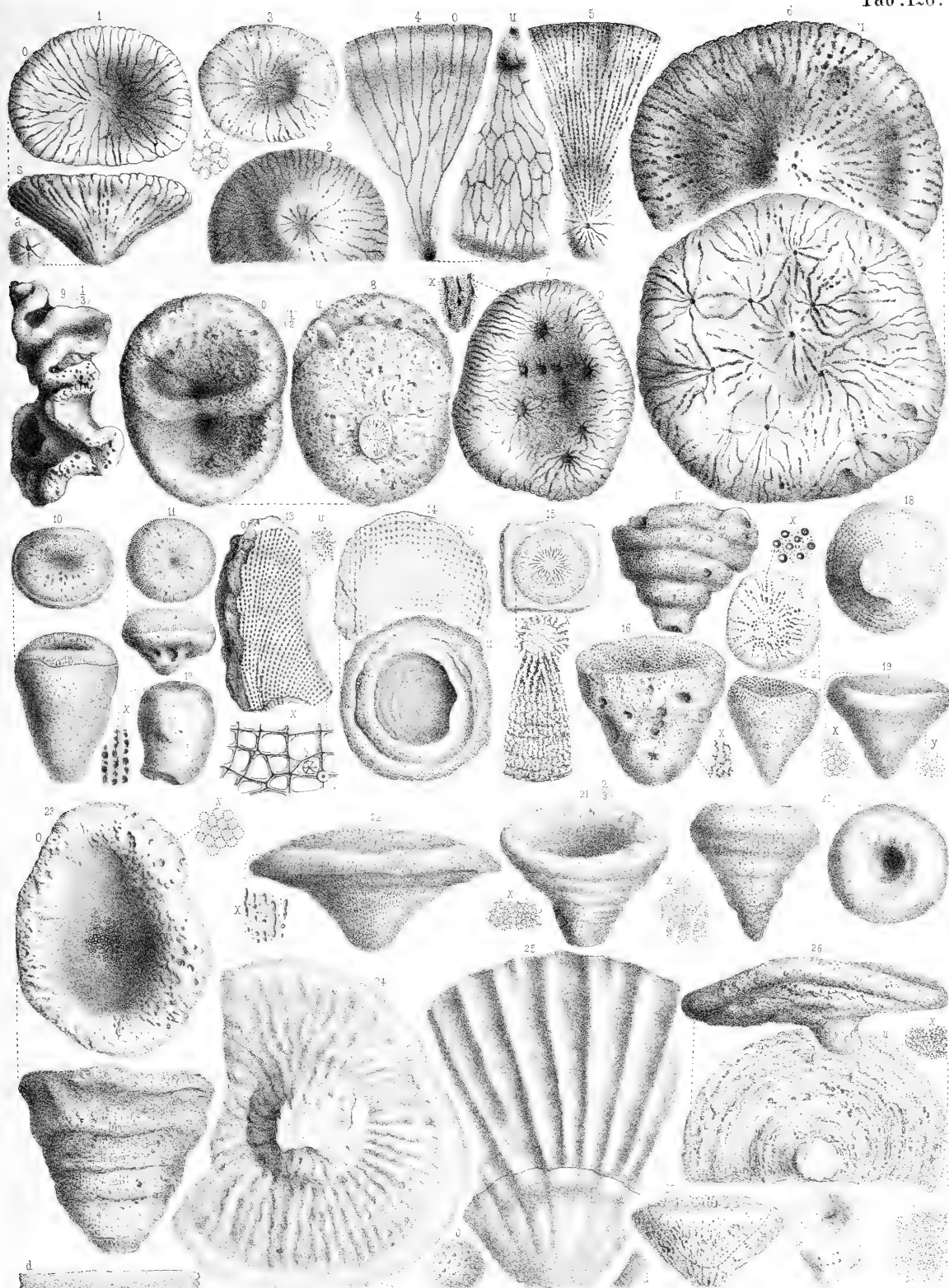
Fig.

- 1 *Cnemispongia Goldfussii turbinata* pag. 261, Weisser Jura  $\delta$ , Heuberg: *u* Unterende, *s* Schliff-  
fläche mit lichten Kalkzügen, *x* vergrössert.
- 2 desgleichen pag. 261, daher, *u* durchgebrochene Unterseite.
- 3 *Cnem. Goldf. arctesulcata* pag. 262, daher, von der Seite und von oben.
- 4 *Cnem. Goldf. latesulcata* pag. 262, daher, von oben, *k* hervorragende Kante.
- 5 desgleichen pag. 262, daher, oben künstlich abgeschnitten, *s* zerstreute Seitenlöcher in nat. Grösse.
- 6 desgleichen pag. 262, daher, sehr klein, Ober- und Seitenansicht.
- 7 *Cnemispongia Goldfussii* pag. 263, Weisser Jura  $\delta$ , Heuberg, Zwitter: *s* von der Seite mit Kante  
*k* und Brutknospe *b*; *o* schief von oben mit derselben Kante *k* und Brutknospe *b*; *g* Grenze  
zwischen Brutknospe und Mutter.
- 8 *Cnem. Goldf. costata* pag. 263, daher, von der Unterseite, *o* Osculum.
- 9 *Cnem. Goldf. angusta* pag. 264, daher, von der Oberseite.
- 10 desgleichen pag. 264, daher, ( $1/4$ ) nat. Grösse, *o* Osculum in nat. Grösse.
- 11 desgleichen pag. 264, daher, ( $1/3$ ) nat. Grösse, Oberansicht, *m* Magenöhle auf der Unterseite  
ebenfalls in ( $1/3$ ) nat. Grösse.
- 12 *Cnem. Goldf. nodosa* pag. 265, daher, *o* Osculum.
- 13 desgleichen pag. 265, daher, ( $2/3$ ) nat. Grösse, *u* Unterende.
- 14 desgleichen pag. 266, Weisser Jura  $\delta$ , Urach, ( $1/2$ ) nat. Grösse: *o* Osculum und *u* Centrum der  
untern Schlifffläche, beide in nat. Grösse; *y* vergrösserter Längsschliff.
- 15 *Cnem. Goldfuss. trinodus* pag. 267, Weisser Jura  $\delta$ , Heuberg, ( $4/5$ ) nat. Grösse.
- 16 *Cnemispongia corallina* pag. 267, Weisser Jura  $\delta$ , Sirchingen, Bruchstück von oben.
- 17 desgleichen pag. 267, daher, Magenwand in der Mitte.
- 18 desgleichen pag. 268, daher, Bruchstück von oben.
- 19 *Cnemispongia Goldfussii* (Becherform) pag. 268, Weisser Jura  $\delta$ , Heuberg, *S* ( $2/3$ ) nat. Grösse,  
*u* Sector der Unterseite und *R* Randstück, beide in natürlicher Grösse.
- 20 *Cnemispongia Goldfussii* pag. 268, daher, etwas verkleinerte Seitenansicht, *u* Unterende.
- 21 *Cnemispongia Goldfussii* (Tellerform) pag. 269, daher: *o* Oberseite in ( $1/2$ ) nat. Grösse; *u* Stück  
der Unterseite in natürlicher Grösse.
- 22 desgleichen pag. 269, daher, von oben in ( $1/2$ ) nat. Grösse.
- 23 *Cnemispongia striatopunctata* pag. 269, Weisser Jura  $\delta$ , Oberböhringen, von der Unterseite,  
*r* Randdicke.
- 24 *Cnemispongia nudipes* pag. 270, Weisser Jura  $\delta$ , Heuberg, ein Stück *o* von der Oberseite und  
*u* von der Unterseite.

## Erklärung tab. 128.

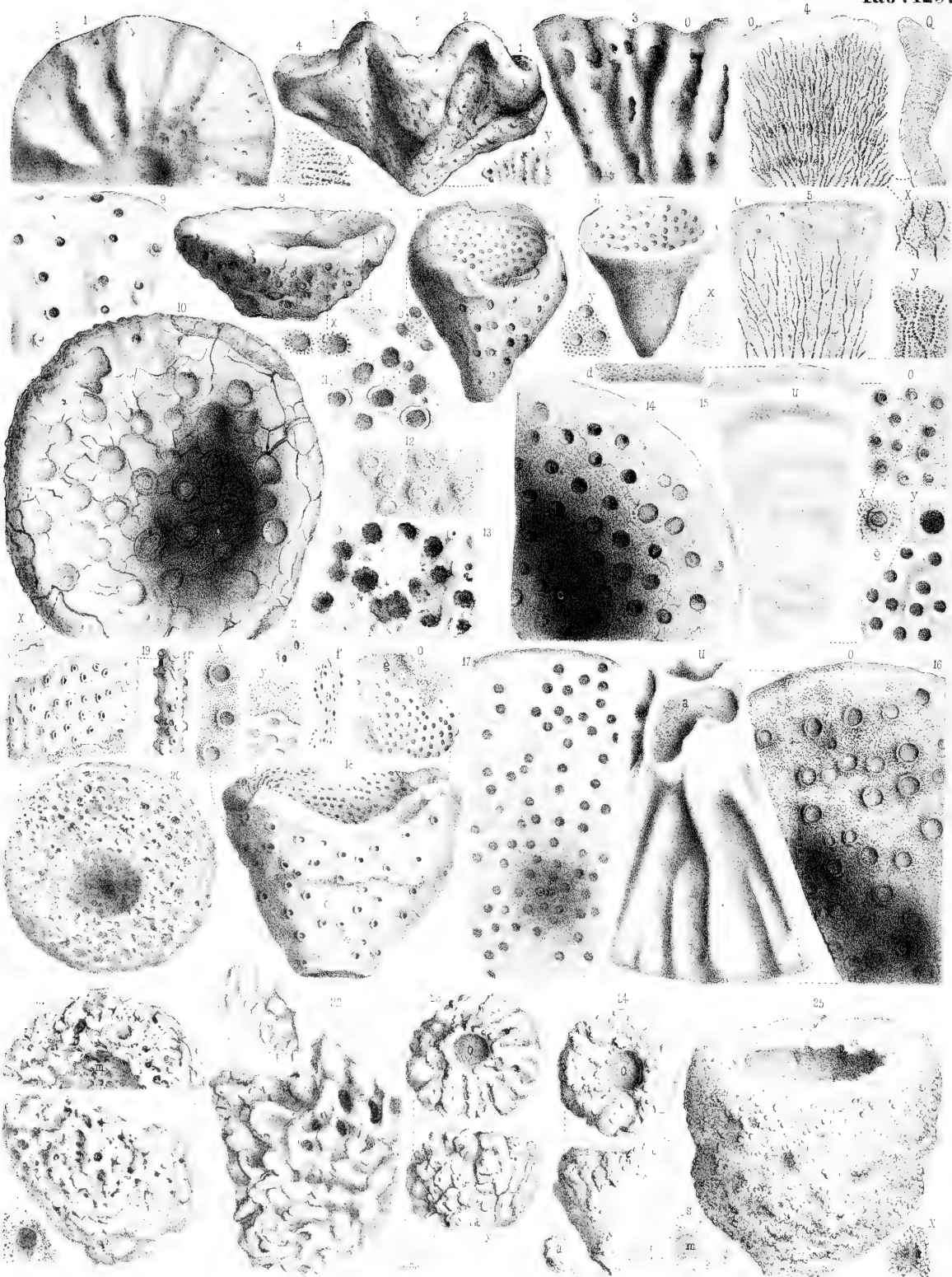
Fig.

- 1 Cnemidium rimulosum pag. 271, Weisser Jura  $\delta$ , Heuberg; *o* oben, *s* seitlich, *a* Anfangsspitze.
- 2 desgleichen pag. 271, daher, Unterseite.
- 3 desgleichen pag. 271, daher, Oberseite, *x* vergrösserte Centrallöcher (intropunctatum).
- 4 desgleichen pag. 272, daher, Sector *o* von der Oberseite und *u* von der Unterseite.
- 5 desgleichen pag. 272, daher, Sector von der Unterseite mit dem Anfangspunkte.
- 6 Cnemidium stellatum pag. 272, Weisser Jura  $\delta$ , Heuberg; *o* Oberseite, *u* Unterseite.
- 7 desgleichen pag. 273, daher, *x* vergrössertes Gewebe.
- 8 cf. Tragos Patella pag. 274, Weisser Jura  $\delta$ , Heuberg, Zwitter in ( $1/2$ ) nat. Grösse: *u* Unter-, *o* Oberseite.
- 9 cf. Tragos crispum pag. 274, daher, Randstück in ( $1/3$ ) nat. Grösse.
- 10 Cnemidium diceratinum pag. 275, Weisser Jura  $\epsilon$ , Aue.
- 11 desgleichen pag. 275, daher, kurz säulig.
- 12 desgleichen pag. 276, daher, *x* vergrösserte Rinnen.
- 13 cf. Cnemidium pag. 276, Weisser Jura  $\epsilon$ , Oerlingen: *o* Oberseite, *u* Stück der Unterseite, *x* vergrössertes Gewebe.
- 14 desgleichen pag. 277, daher: *o* Ober-, *u* Unterseite.
- 15 cf. Tragos fistulosum pag. 277, Weisser Jura  $\beta$ , Alp: angeschliffen, *x* vergrösserter Sector.
- 16 Tragos fistulosum pag. 278, Weisser Jura  $\delta$ , Spaichingen: *x* vergrösserte Schlifffläche.
16. a desgleichen pag. 279, daher: *x* vergrösserte Löcher mit Kalkaxe.
- 17 desgleichen pag. 279, Weisser Jura  $\delta$ , Thierberg, etwas verkleinert.
- 18 desgleichen pag. 279, Weisser Jura  $\delta$ , Oberböhringen, Unterseite mit angeschliffener Spitze.
- 19 Tragos peizoides pag. 280, Weisser Jura  $\delta$ , Oberböhringen: *x* innen, *y* aussen vergrössert.
- 20 desgleichen pag. 280, daher, *x* vergrösserte Schlifffläche der Seite.
- 21 desgleichen pag. 281, daher, ( $2/3$ ) nat. Grösse, *x* vergrössertes Gewebe.
- 22 Tragos fistulosum pag. 279, Weisser Jura  $\delta$ , Heuberg (tellürförmig).
- 23 Tragos peizoides pag. 281, daher, *x* vergrössertes löcheriges Gewebe von innen.
- 24 Tragos radiatum pag. 281, daher, von der convexen Unterseite: *o* Centrum der Oberseite in natürlicher Grösse, *d* Dicke des Tellers.
- 25 Tragos rad. costatum pag. 282, daher, Bruchstück von der Aussenseite, *d* Dicke.
- 26 Tragos Patella pag. 283, daher: *u* Unterseite, *o* Stück der Oberseite, *x* vergrössertes Gewebe.
- 27 desgleichen pag. 284, daher, von der Seite, kleines Exemplar.
- 28 desgleichen pag. 284, daher, kleinstes Exemplar.









## Erklärung tab. 129.

Fig.

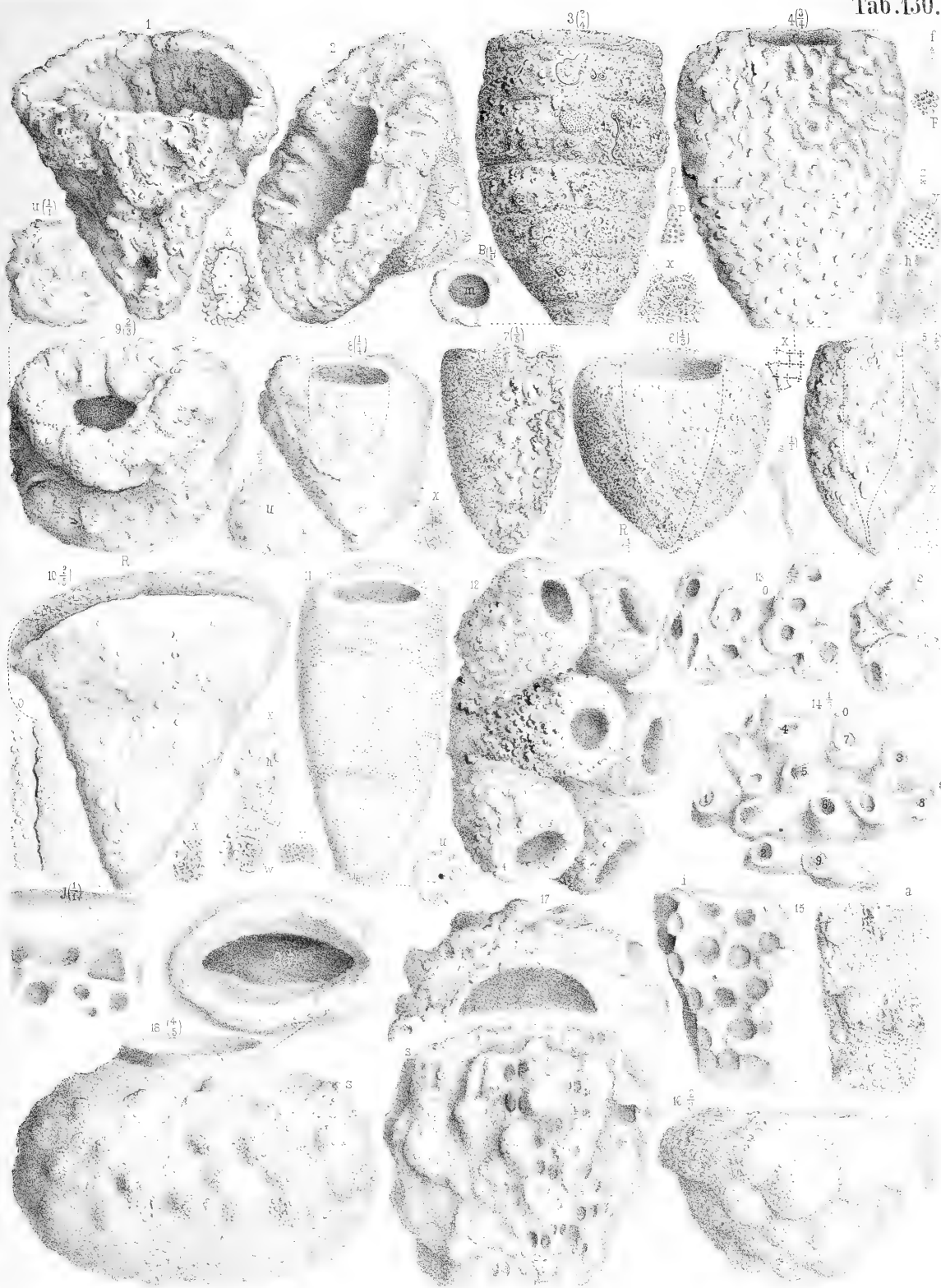
- 1 Tragos Patella pag. 284, ( $1/2$ ) nat. Grösse, Heuberg, Kieseldelta,  $x$  vergrössertes Gewebe.
- 2 desgleichen pag. 284, Seitenansicht ( $1/2$ ) nat. Grösse, Heuberg, Kieseldelta,  $y$  Oberfläche in nat. Grösse, Falten Nro. 1—4.
- 3 desgleichen pag. 285, Heuberg, Kieseldelta, faltiges Stück von der Oberseite.
- 4 Tragos granuloseum pag. 285, Weisser Jura  $\gamma$ , Stufen: Bruchstück von der Oberseite  $o$ ;  $Q$  Querschnitt;  $x$  knotige Fäden vergrössert.
- 5 desgleichen pag. 286, Kieseldelta, Heuberg: Randstück von der Oberseite,  $y$  vergrösserte Fäden.
- 6 Tragos infranudatum pag. 287, Weisser Jura  $\delta$ , Heuberg:  $x$  vergrössertes Gewebe aussen,  $y$  oben (epicyclica).
- 7 Tragos acetabulum pag. 288, Weisser Jura  $\delta$ , Heuberg:  $o$  vergrösserte Löcher der Oberseite (pericyclica).
- 8 desgleichen pag. 288, daher: vergrösserte Löcher  $x$  der Aussenseite und  $i$  der Innenseite (hypocyclica).
- 9 desgleichen pag. 288, daher, Stück der Aussenseite.
- 10 Tragos reticulatum macroporus pag. 289, Weisser Jura  $\delta$ , Heuberg:  $x$  vergrössertes Loch am Rande mit einem Ringe von Schwammtextur.
- 11 desgleichen pag. 289, daher, Stück der Oberseite.
- 12 desgleichen pag. 289, daher, Stück der Oberseite ohne Oberhaut.
- 13 desgleichen pag. 290, daher, Centralstück der Oberseite, stark verwittert.
- 14 Tragos reticulatum mesoporus pag. 290, daher: Sector von der Oberseite mit dem Centralloch  $c$ .
- 15 desgleichen pag. 291, Weisser Jura  $\delta$ , Oberböhringen:  $u$  Stück der Unterseite;  $o$  Oberseite mit vergrössertem Loch  $x$ ;  $g$  Gegenstück von  $o$  mit Vertiefungen ( $y$  vergrössert), die in der abgelösten Kalkhaut liegen, welche man seltener Weise von der Unterseite sieht.
- 16 Tragos infrajugosum pag. 292, Weisser Jura  $\delta$ , Ulm:  $o$  Oberseite mit Centralloch  $c$ ;  $u$  faltige Unterseite mit Ansatzfläche  $a$ .
- 17 Tragos rugosum microporus pag. 293, Weisser Jura  $\delta$ , Heuberg, Stück der Oberseite mit dem Centralloch  $c$ .
- 18 Tragos acetabulum pag. 294, daher:  $f$  Falten mit vergrösserten Löchern  $z$ ;  $o$  Oberseite mit vorstehendem Gewebe  $g$  bei  $y$  vergrössert;  $x$  vergrösserte Löcher der Unterseite.
- 19 Tragos tubatum pag. 295, Weisser Jura  $z$ , Oerlinger Thal, verkieselt,  $r$  Rand.
- 20 Tragos intricatum pag. 295, Weisser Jura  $\delta$ , Oberdisheim, in ( $1/5$ ) nat. Grösse von oben, die Oberflächenzeichnung aber nicht verkleinert.
- 21 Scyphia maeandrina (Dolispongia) pag. 297, Weisser Jura  $\gamma$ , Ehningen:  $m$  halbe Mündung,  $x$  vergrössertes Loch mit Umgebung.
- 22 Scyphia montosa pag. 298, verkieselt aus oberem Weissen Jura,  $I$  gereinigtes Stück der Innenseite.
- 23 desgleichen pag. 299, verkalkt aus unterm Weissen Jura:  $o$  Osculum;  $s$  Schlifffläche unten mit Magenöhle  $m$ ,  $x$  vergrösserte Schlinge.
- 24 Dolispongia pag. 300, Unterer Weisser Jura,  $o$  Osculum,  $a$  untere Ansatzfläche.
- 25 Dolispongia poculata pag. 300, Weisser Jura  $\alpha$ , Lothen: Bruchfläche  $s$  mit Magenöhle  $m$  auf der Unterseite,  $x$  vergrösserte Oberfläche von traubigem Kalk.

## Erklärung tab. 130.

Fig.

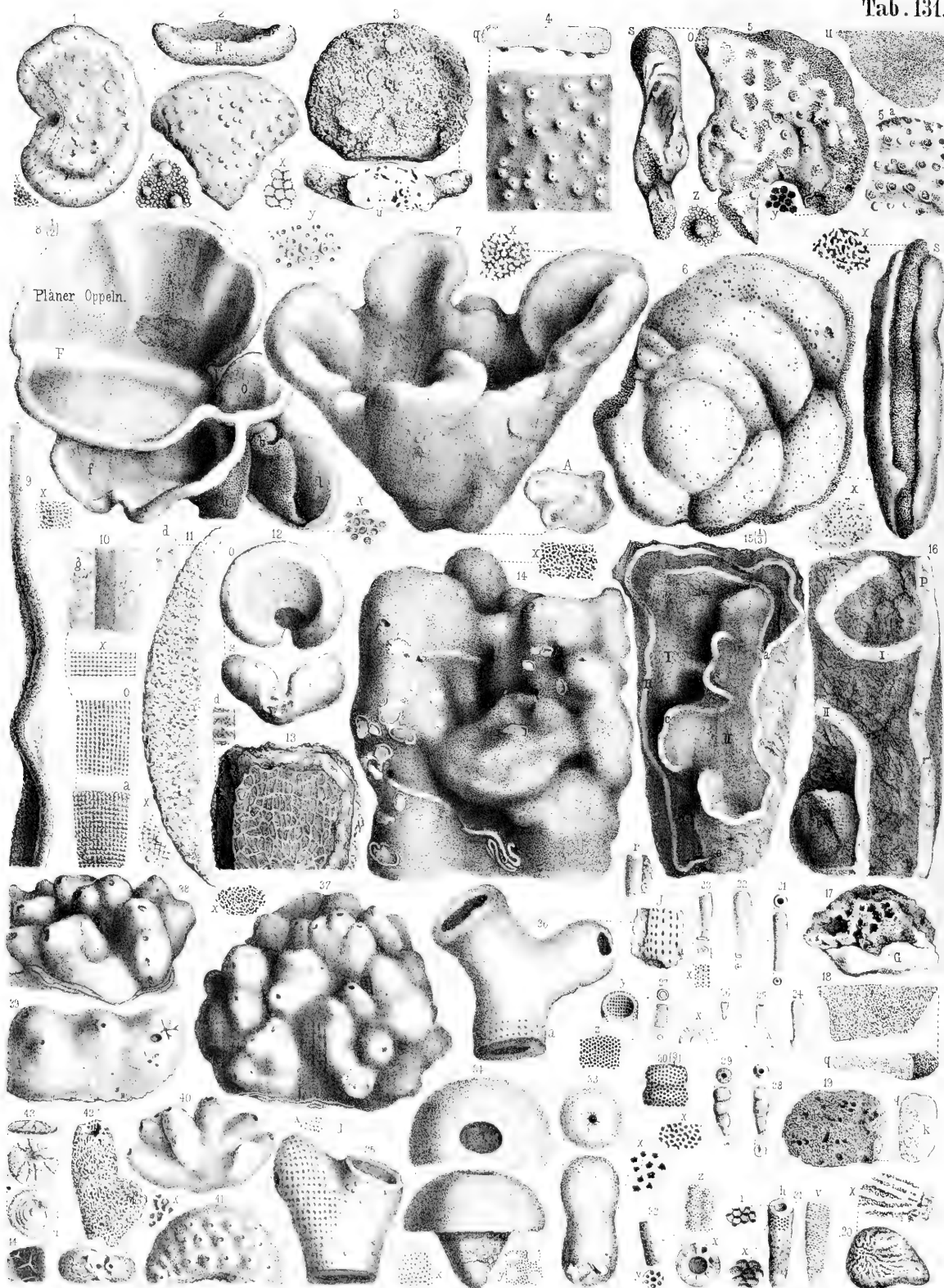
- 1 Spongites dolosus pag. 301, Weisser Jura  $\alpha$ , Grat bei Laufen (mützenförmig).
- 2 Spong. dolos. fungiformis pag. 301, Weisser Jura  $\alpha$ , Lochen:  $x$  vergrösserte glatte Kalkhaut mit Eindrücken von Kreuzen.
- 3 Spongites dolosus pag. 302,  $(\frac{3}{4})$  natürliche Grösse, daher:  $B$  untere Bruchfläche in nat. Grösse,  $x$  vergrösserte Kreuze.
- 4 Spongites bidolosus pag. 303,  $(\frac{3}{4})$  nat. Grösse, Weisser Jura  $\beta$ , Unterdigisheim:  $pP$  Pyramide der Oberfläche,  $h$  Hinterseite;  $x$  vergrössertes Gitterwerk von unten;  $y$  desgleichen von der Seite;  $z$  vergrösserter Oktaederpunkt;  $fF$  vergrösserte Gruben mit Gitter.
- 5 Spongites dolosus pag. 305,  $(\frac{1}{3})$  nat. Grösse, Weisser Jura  $\delta$ , Lochen:  $s$  Spitze in nat. Grösse;  $x$  vergrössertes Gittergewebe; die punktierte Linie bezeichnet die innere Magenöhle.
- 6 Spongites dolosus turbiniformis pag. 305,  $(\frac{1}{3})$  nat. Grösse, Weisser Jura  $\alpha$ , Lochen.
- 7 Dolispongia semicrucata pag. 306,  $(\frac{1}{5})$  nat. Grösse, Weisser Jura  $\gamma$ , Salmendingen:  $x$  vergrösserte Kreuze,  $R$  Randdicke.
- 8 desgleichen pag. 307,  $(\frac{1}{4})$  natürliche Grösse, Weisser Jura  $\gamma$ , Wasseraltingen,  $u$  untere Spitze  $(\frac{1}{2})$  nat. Grösse.
- 9 desgleichen pag. 308,  $(\frac{2}{3})$  nat. Grösse, Weisser Jura  $\alpha$ , Lochen, von oben,  $u$  halbe Unterspitze in nat. Grösse.
- 10 Dolispongia cucullata pag. 309,  $(\frac{3}{5})$  nat. Grösse, Weisser Jura  $\beta$ , Hossingen:  $o$  Stück der Mündung;  $x$  vergrösserte Kreuze.
- 11 Dolispongia semicrucata pag. 310, Weisser Jura  $\alpha$ , Lochen:  $v$  vergrössertes Gewebe am Unterande;  $u$  Unterende;  $x$  vergrösserte Oberfläche.
- 12 Dolispongia caespitosa hexamera pag. 311, Weisser Jura  $\alpha$ , Lochen, halbgewendet.
- 13 Dolispongia cumulata pag. 312, Weisser Jura  $\delta$ , Heuberg:  $o$  von oben,  $s$  von der schmalen Seite.
- 14 Scyphia geniculata pag. 313,  $\frac{1}{3}$  nat. Grösse, Weisser Jura  $\delta$ .
- 15 Baccispongia introcyclica pag. 314, Weisser Jura  $\beta$ , Hossingen: Bruchstück  $i$  innen,  $a$  aussen.
- 16 Baccispongia baccata pag. 314,  $(\frac{2}{3})$  nat. Grösse, Unterer Weisser Jura, Heuberg.
- 17 Baccispongia anaglyptica pag. 315, fast nat. Grösse, daher:  $s$  Seitenansicht, unten angeschliffen;  $o$  halbes Osculum.
- 18 Baccispongia Cidariformis pag. 316, Weisser Jura  $\alpha$ , Lochen:  $S$  Seitenansicht in  $(\frac{4}{5})$  nat. Grösse;  $o$  Osculum und  $I$  inneres Geflecht, beide in natürlicher Grösse.











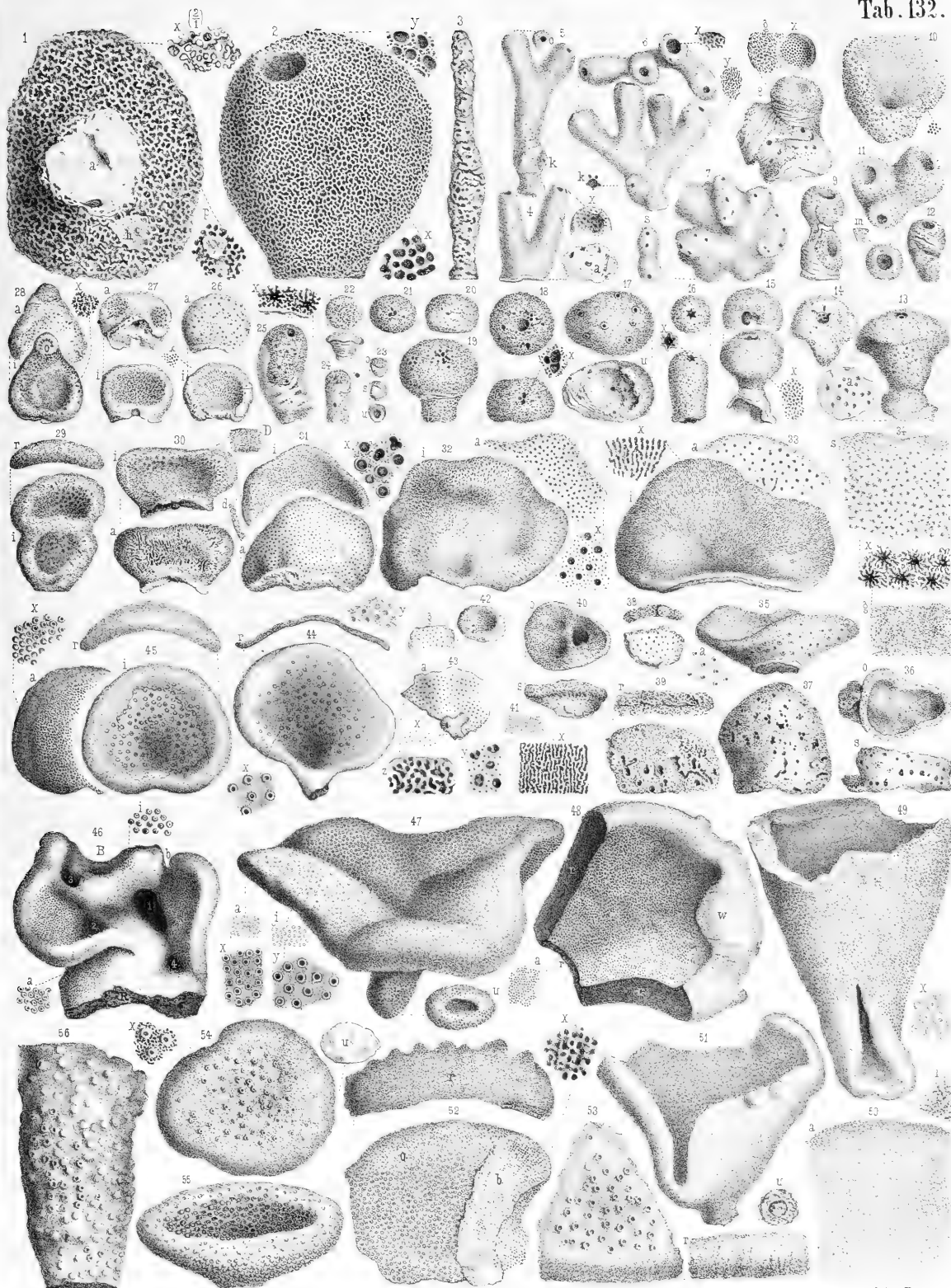
## Erklärung tab. 131.

Fig.

- 1 Spongites auriformis pag. 319, Weisser Jura  $\beta$ , Nusplingen.
- 2 Spongites triangulus pag. 319, Weisser Jura  $\alpha$ , Lochen.
- 3 Spongites semicirculus pag. 320, Weisser Jura  $\alpha$ , Hörnle.
- 4 Spongites clivus pag. 321, Weisser Jura  $\epsilon$ , Granheim,  $q$  Querschliß.
- 5 Spong. clivus. petiolatus pag. 321, Weisser Jura  $\epsilon$ , Oerlingen:  $o$  oben,  $u$  unten,  $s$  Seite,  $y$  vergrössertes Gewebe,  $z$  vergrösserte Warze. Fig. 5.  $a$  ein Stück einer grössern Platte, daher.
- 6 Plattschwamm pag. 322, mit dicker Kieselhülle, Weisser Jura  $\epsilon$ , Honau:  $s$  Seitenansicht,  $x$  vergrössertes Gewebe.
- 7 Spongites flabellum pag. 322, Weisser Jura, Kienlesberg:  $A$  untere Spitze,  $x$  vergrössertes Gewebe.
- 8 Chenendopora tenuis pag. 324, Pläner, Oppeln, ( $1/2$ ) natürlicher Grösse:  $F$  Falte des grossen Ohres,  $f$  kleiner Trichter mit der Unterrinne  $u$ ,  $o$  kleines Ohr,  $u$  unterer Schluslappen,  $x$  und  $y$  vergrösserte Löcher.
- 9 Spongites stragulus pag. 326, Mittlerer Weisser Jura, Randansicht,  $x$  vergrössertes Gewebe (Vermitesta).
- 10 Spongites strigatus pag. 326, Weisser Jura  $\alpha$ , Lochen:  $g$  im Gebirge,  $x$  vergrösserte Gitter:  $a$  Abdruck der Oberseite  $o$  (clathrtesta).
- 11 Spongites discus pag. 327, Weisser Jura  $\alpha$ , Lochen, Zug des Randes,  $d$  Dicke,  $x$  vergrössertes Gewebe.
- 12 Ohrschwamm pag. 327, Weisser Jura  $\delta$ , Messstetten:  $o$  oben,  $s$  seitlich.
- 13 Spongites vagans maculatus pag. 328, Weisser Jura  $\delta$ , Alp,  $d$  Dicke der Platte.
- 14 Spongites feralis pag. 332, Weisser Jura  $\epsilon$ , Nattheim,  $r$  Dicke am Rande rechts mit anhängendem Gestein, nicht durch den Spiegel gezeichnet.
- 15 Spongites vagans pag. 328, ( $1/2$ ) nat. Grösse, Weisser Jura  $\delta$ , Bosler.
- 16 desgleichen pag. 330, Bruchstück in nat. Grösse, Weisser Jura  $\delta$ , Nusplingen,  $x$  vergrössertes Gewebe.
- 17 Spongites saccharatus pag. 331, Weisser Jura  $\epsilon$ , Messstetten, unten mit anhängendem Gebirge  $G$ .
- 18 Spongites vagans pag. 331, Bolnerz, Salmendingen, Bruchstück,  $q$  Querbruch,  $k$  Kieselmehl.
- 19 Spongites pag. 331, daher,  $k$  Kieselmehl.
- 20 Cnemidium pag. 332, daher,  $x$  vergrösserte Rippen.
- 21 Scyphia punctata pag. 333, Weisser Jura  $\alpha$ , Böllert.
- 22 desgleichen pag. 333, daher, keulenförmig.
- 23 desgleichen pag. 334, daher, oben verbrochen mit Wurzelplatte,  $x$  vergrössertes Gewebe.
- 24 desgleichen pag. 334, daher, unten mit Auswuchs.
- 25 desgleichen pag. 334, daher,  $x$  vergrösserter Quercylinder.
- 26 desgleichen pag. 334, daher, kleinste Form.
- 27 desgleichen pag. 334, daher:  $x$  Querschliß,  $y$  Löcher innen,  $z$  Löcher, alle drei vergrössert.
- 28 Scyphia nodulosa pag. 335, Weisser Jura  $\epsilon$ , Oerlingen.
- 29 desgleichen pag. 335, daher,  $x$  vergrössertes Gewebe.
- 30 desgleichen pag. 335, daher, zwei vergrösserte Knoten.
- 31 Scyphia squamata pag. 335, Weisser Jura  $\epsilon$ , Oerlingen:  $x$  vergrösserte Schuppenflecken,  $i$  vergrösserte Zeichnung der Magenwand.
- 32 desgleichen pag. 336, daher:  $x$  oben,  $y$  unten,  $z$  aussen vergrössert.
- 33 Spongites manipulus pag. 336, Weisser Jura  $\delta$ ,  $x$  vergrösserte Löcher.
- 34 Spongites Fungulus pag. 337, unbekannten Fundorts,  $x$  Poren der Oberseite,  $y$  des Stieles, beide vergrössert.
- 35 Spongites stomachosus pag. 337, Weisser Jura  $\gamma$ , Hossingen,  $d$  Dicke der Wand,  $x$  vergrössertes Gittergewebe.
- 36 Spongites bicornis pag. 339, Brauner Jura  $\delta$ , Thalheim,  $J$  Bruchstück mit Poren von der Innenseite.
- 37 Spongites mamillatus pag. 340, Brauner Jura  $\delta$ , Stufen,  $x$  vergrössertes Gewebe.
- 38 desgleichen pag. 340, Brauner Jura  $\delta$ , Neuffen.
- 39 desgleichen pag. 341, Brauner Jura  $\delta$ , Winzingen.
- 40 Spongia clavarioides pag. 342, Oolith, Berieres.
- 41 Spongites mamillatus pag. 342, daher.
- 42 Spongites fuscus pag. 342 Brauner Jura  $\delta$ , Spaichingen,  $u$  Unterseite,  $x$  vergrössertes Gewebe.
- 43 Spongites lasicus pag. 343, Lias  $\delta$ , Erlaheim, drei Ansichten.
- 44 Vergrösserte Kieselnadeln pag. 344, Weisser Jura  $\epsilon$ , Nattheim.

## Erklärung tab. 132.

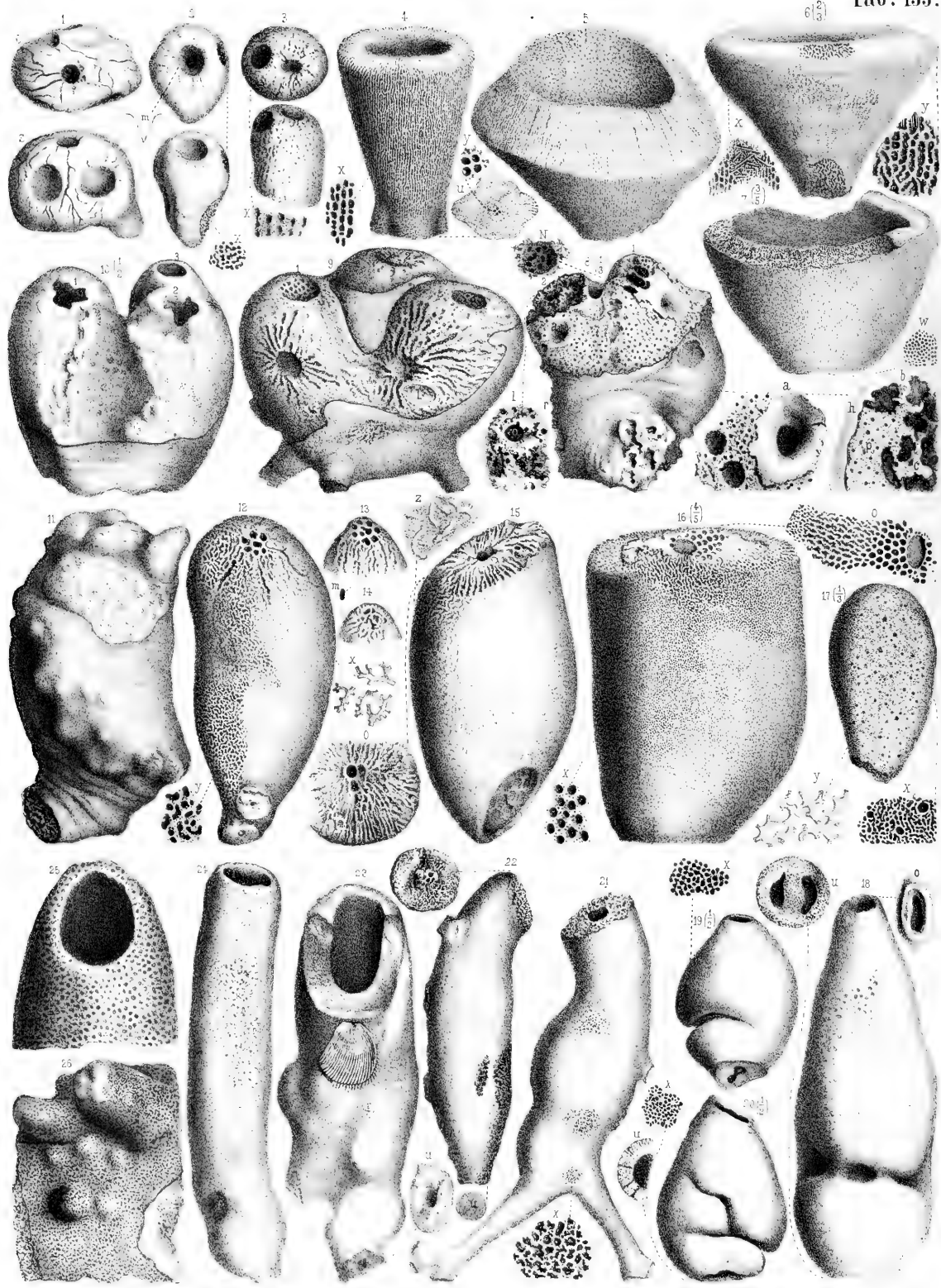
- Fig.
- 1 *Scyphia infundibuliformis* pag. 347, Chloritische Kreide, Essen, von der Unterseite, zweifach, vergrössertes Gewebe, *p* innere Knollen.
  - 2 desgleichen pag. 348, daher, *x* vergrössertes Gewebe, *y* mit Sandeindrücken.
  - 3 desgleichen pag. 349, daher, Profil eines Plattenstücks.
  - 4 *Scyphia furcata* pag. 349, daher, *a* Ansatzplatte, *x* vergrössertes Osculum.
  - 5 desgleichen pag. 350, daher, *k* Knospe, *o* Osculum.
  - 6 desgleichen pag. 350, daher, *x* vergrösserte Magenwand, *y* vergrössertes Wirrgewebe, *k* Knospenmündung.
  - 7 desgleichen pag. 351, daher, *s* Seitenrand.
  - 8 *Scyphia foraminosa* pag. 351, Chloritische Kreide, Essen, *x* vergrössertes Osculum mit Gewebe *g*.
  - 9 desgleichen pag. 352, daher, Zwillings.
  - 10 desgleichen pag. 352, daher.
  11. 12 desgleichen pag. 352, daher, *m* Durchschnitt des Magens.
  - 13 *Scyphia tetragona* pag. 352, Chloritische Kreide, Essen, *a* Ansatzfläche.
  - 14 desgleichen pag. 353, daher, von oben.
  - 15 *Siphonocella excavata* pag. 354, Hilsconglomerat, Rauthenberg, *x* vergrössertes Gewebe.
  - 16 *Scyphia clavata stellata* pag. 354, daher, *x* vergrössertes Osculum.
  - 17 *Manon tubuliferum* pag. 355, Chloritische Kreide, Essen, *u* Unterseite.
  18. 19 *Manon pulvinarium* pag. 355, daher, *x* vergrössertes Loch.
  20. 21 desgleichen pag. 356, oberste Kreide, Maastricht.
  - 22 *Manon capitatum* pag. 357, daher.
  - 23 desgleichen pag. 357, daher, Brut, *o* oben, *s* seitlich, *u* unten.
  - 24 *Manon cf. tubuliferum* pag. 357, daher.
  - 25 *Scyphia cf. tetragona* pag. 357, daher, *x* vergrösserte Sternlöcher.
  - 26 *Manon Peziza baptimalis* pag. 358, chloritische Kreide, Essen, *a* aussen, *i* innen.
  - 27 *Manon Peziza dieribratus* pag. 358, daher, *a* aussen, *i* innen.
  - 28 *Manon Peziza* pag. 359, daher, *a* aussen, *i* innen, *x* vergrössertes Gewebe.
  - 29 desgleichen pag. 359, daher, Zwitter von Innen *i*, *r* Randansicht.
  - 30 desgleichen pag. 359, daher, *a* aussen, *i* innen, *D* Dicke.
  - 31 *Manon Peziza dipunctata* pag. 360, daher, *d* Dicke, *x* vergrösserte Löcher der Aussenseite *a*.
  - 32 *Manon Peziza baptimalis* pag. 360, daher, *x* vergrösserte Löcher der Aussenseite *a*.
  - 33 *Manon Peziza mediopora* pag. 360, daher, *x* vergrössertes Gewebe der Innenseite *i*.
  - 34 *Manon Peziza stellatum* pag. 361, daher, *s* gestirnt, *g* ungestirnte Seite, *x* vergrösserte Sterne.
  - 35 *Manon Peziza macropora* pag. 361, daher, *a* Löcher der Aussenseite.
  36. 37 *Manon Peziza trilocus* pag. 361, daher.
  - 38 *Manon Peziza* pag. 362, Hilsconglomerat, Rauthenberg.
  - 39 desgleichen pag. 362, daher, *r* Randansicht.
  40. 41 desgleichen pag. 363, daher, *o* Oberseite, *s* Seitenansicht, *x* vergrössertes Gewebe.
  - 42 *Manon Peziza* pag. 363, Oberste Kreide, Maastricht.
  - 43 desgleichen pag. 363, daher, auf einem Bryozoenstamme *x*, *g* Gegenseite, *y* vergrösserte Löcher, *z* vergrössertes Gewebe.
  - 44 *Manon Peziza* pag. 364, oberer Pläner, Dörnten, *r* Randdicke, *x* Löcher der Ober- und *y* der Unterseite vergrössert.
  - 45 desgleichen pag. 365, daher, verkiest, *r* Randansicht, *x* vergrösserte Warzen der Aussenseite *a*.
  - 46 *Cheuendopora tenuis complex* pag. 365, Pläner, Oppeln, Würzchen *i* innen und *a* aussen vergrössert, Büchten *Bb*, abgebrochener Rand *R*.
  - 47 *Cheuendopora tenuis petiolata* pag. 366, daher, Löcher *x* aussen und *y* innen vergrössert, *u* Unterende.
  - 48 desgleichen pag. 367, daher, *w* Wulst, *rrr* Bruchfläche, *a* Löcher der Aussenseite.
  - 49 *Spongia convoluta* pag. 368, Oberer Pläner, Dörnten, *x* vergrösserte Warzen.
  - 50 desgleichen pag. 368, daher, *a* Aussenseite, *i* Innenseite.
  - 51 desgleichen pag. 369, Oberer Pläner, Sehlde, *u* verbrochenes Unterende.
  - 52 *Manon miliare* pag. 370, Sandstein der obren Kreideformation, Sutmerberg, *b* Bruchfläche, *r* Oberrand, *o* Oberseite, *x* vergrössertes Gewebe.
  - 53 *Spongia marginata* pag. 371, daher, Bruchstück von der Oberseite, *r* Randansicht.
  - 54 desgleichen pag. 371, daher, Scheibe von der Oberseite, *x* vergrösserte Löcher, *u* Unterende des kurzen Stieles.
  - 55 *Manon circumporosum* pag. 372, Mittlerer Pläner, Gustedt, in Brauneisen verwandelt.
  - 56 *Manon turbinatum* pag. 372, daher, (*Verrucospongia*) in Brauneisen verwandelt.











## Erklärung tab. 133.

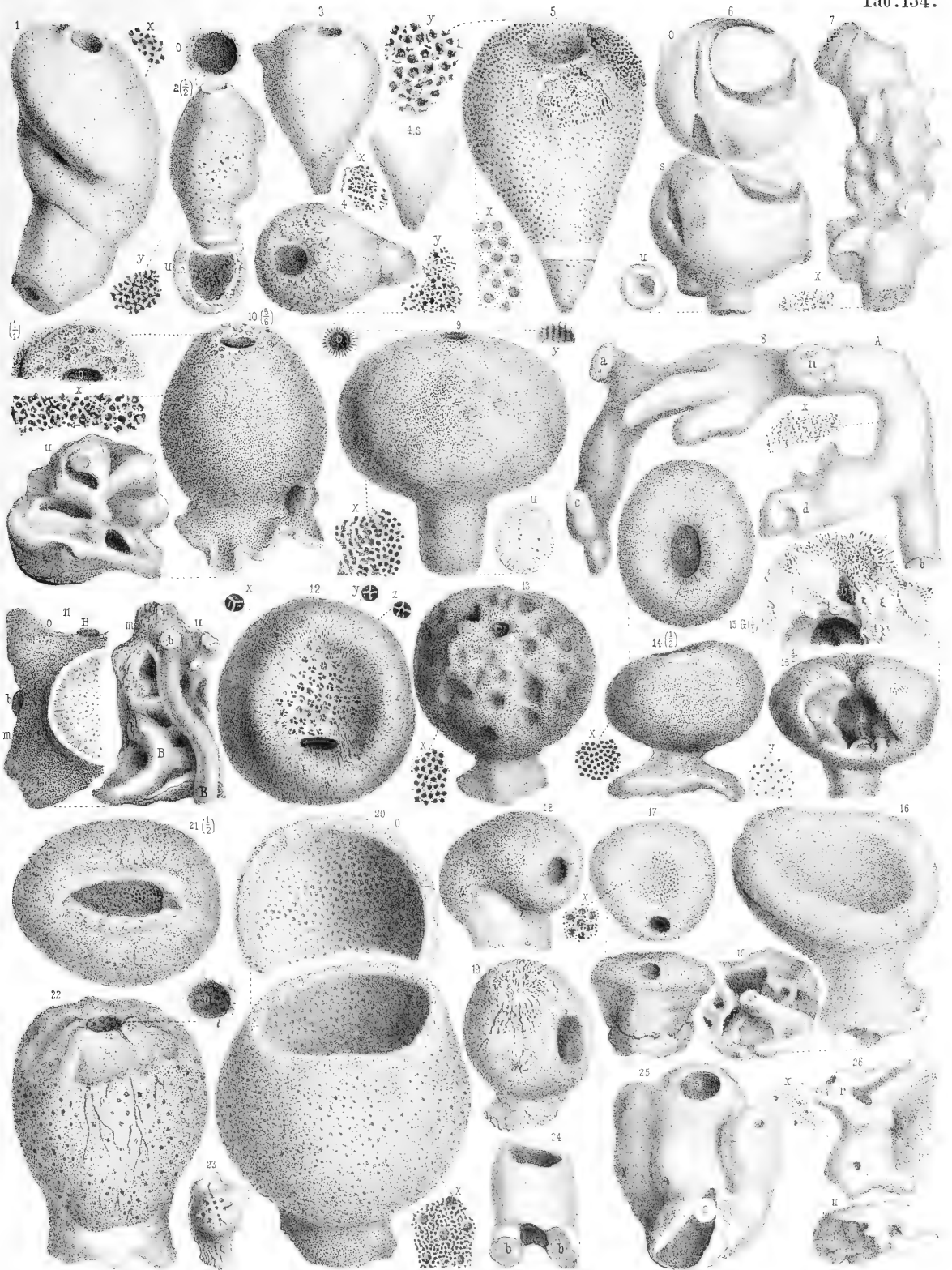
Fig.

- 1 *Spongites impressus* pag. 374, Sand der obern Kreideformation, Sutmerberg: *o* oben, *s* seitlich.
- 2 desgleichen pag. 374, daher, *x* vergrössertes Wirrgewebe, *m* Längsschnitt des Magens.
- 3 *Spongites conicus* pag. 374, daher, *x* vergrösserte Oberfläche.
- 4 *Scyphia Mantelli* pag. 375, daher, *x* vergrössertes Gewebe; *u* abgebrochene Unterseite, *y* vergrösserte Löcher darin.
- 5 *Scyphia marginata* pag. 376, daher, halbgewendet dargestellt.
- 6 *Spongites aciculatus* pag. 376, daher, *x* vergrösserte Oberfläche mit Nadeln, *y* vergrössertes Gewebe, oben mit senkrechten Nadelchen.
- 7 *Scyphia testa-florum* pag. 377, daher,  $\frac{2}{3}$  nat. Grösse, *w* Wirrgewebe der Unterseite.
- 8 *Limnorea nobilis* pag. 378, Quadratenkreide, Suderode,  $\frac{1}{3}$  nat. Grösse. Alles andere in natürlicher Grösse: *N* Nebenloch, *l* Löcher des abgebrochenen Kopfes Nro. 2; *a* glatte Grube; *b* Unterfläche.
- 9 desgleichen pag. 381, daher, unten mit Wurzeln.
- 10 desgleichen pag. 382,  $\frac{1}{2}$  nat. Grösse, Oberer Pläner, Dörnten.
- 11 desgleichen pag. 383, daher, wahrscheinlich Brutknospe.
- 12 *Spongites ocellatus* pag. 384, Quadratenkreide, Ilseburg, *y* vergrösserte Faser, *x* zerdrückte Faser unter dem Mikroskop.
- 13 desgleichen pag. 385, daher, Gipfel, *m* Centralkanal.
- 14 desgleichen pag. 385, daher, Gipfel.
- 15 *Spongites scriptus* pag. 385, daher, *o* Oberende mit Osculum, *z* vergrösserte Faser.
- 16 *Spongites cellulosus* pag. 386, daher,  $\frac{4}{5}$  nat. Grösse, aber die Textur nicht verkleinert, *x* vergrössertes Gewebe, *o* Oberende mit Osculum.
- 17 *Spongites filaris* pag. 387, Quadratenkreide, Stapelburg,  $\frac{1}{3}$  nat. Grösse, Textur nicht verkleinert: *x* vergrösserte Zeichnung; *y* Elementarfaser unter dem Mikroskop.
- 18 *Scyphia tuberosa* pag. 388, Quadratenkreide, Köhlerholz: *o* Osculum, *u* Unterende.
- 19 desgleichen pag. 390, daher,  $\frac{1}{2}$  nat. Grösse, *x* vergrössertes Gewebe.
- 20 desgleichen pag. 390, daher,  $\frac{1}{2}$  nat. Grösse: *x* vergrössertes Gewebe am Unterrande *u*.
- 21 *Spongites cylindripes* pag. 391 oberer Pläner, Dörnten, etwas verkleinert, *x* vergrössertes Gewebe.
- 22 desgleichen pag. 392, daher, *u* verbrochenes Unterende, *o* Oberende.
- 23 *Scyphia intumescens* pag. 392, daher, *u* Unterende.
- 24 desgleichen pag. 393, daher, etwas verkürzt, *f* Fistel.
- 25 desgleichen pag. 394, daher, Oberende.
- 26 desgleichen pag. 394, daher, Bruchstück eines grossen Individuums.

## Erklärung tab. 134.

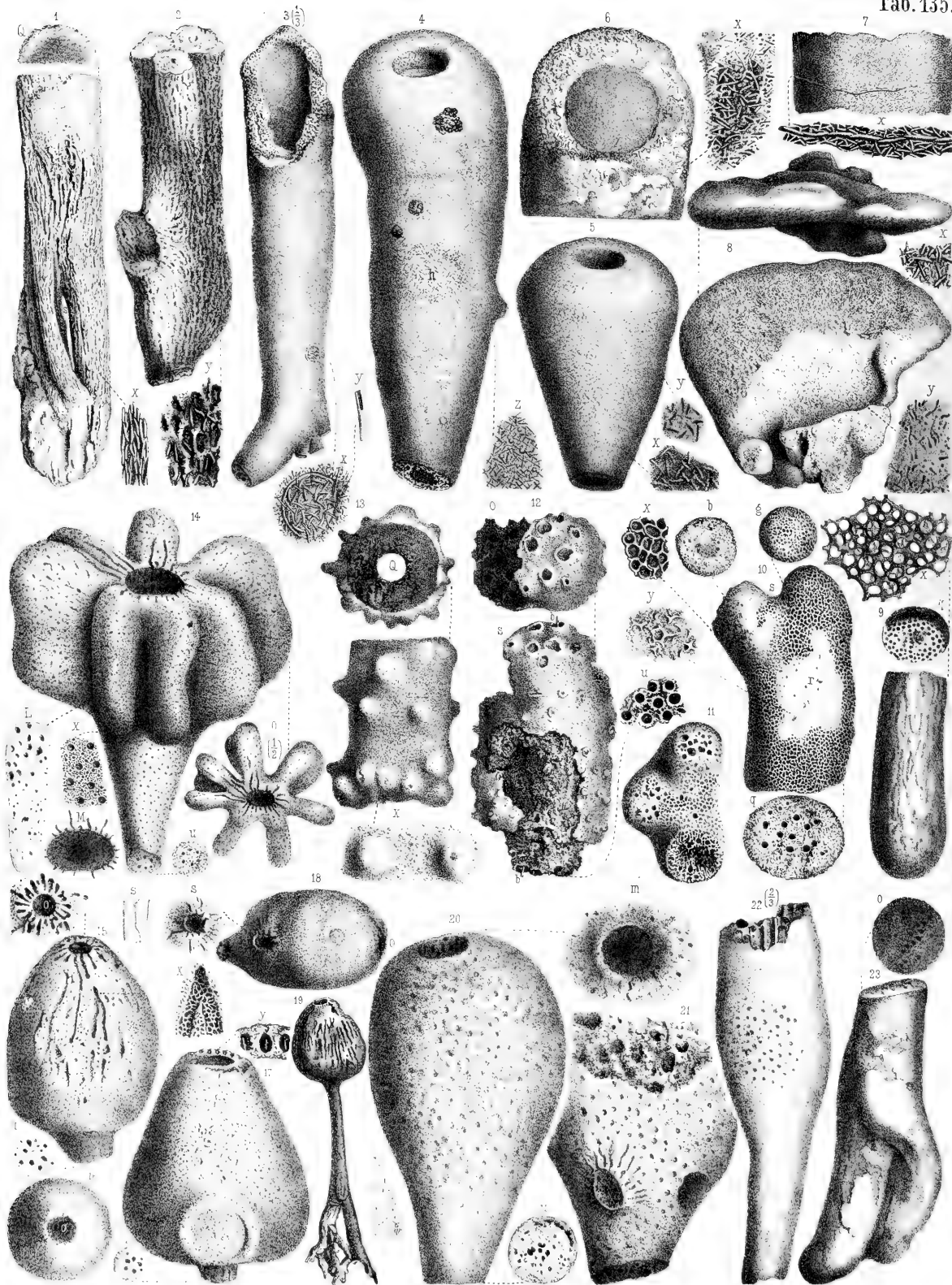
Fig.

- 1 Spongites plicatus pag. 395, Pläner, Oppeln,  $x$  vergrößerte Zeichnung der Oberfläche.
- 2 desgleichen pag. 396, daher,  $\frac{1}{2}$  nat. Grösse;  $o$  Osculum und  $u$  verbrochenes Unterende, beide in nat. Grösse,  $y$  vergrößerte Zeichnung der Oberfläche.
- 3 Spongites ficiformis pag. 396, Pläner, Dörnten,  $x$  vergrößerte Oberfläche.
- 4 desgleichen pag. 397, daher,  $y$  vergrößerte Oberfläche.
4. s desgleichen pag. 398, Pläner, Langelsheim, untere Spitze in nat. Grösse.
- 5 Spongites rapiformis pag. 398, Oberer Pläner, Dörnten,  $x$  vergrößerte Oberfläche.
- 6 Spongites globiformis pag. 399, daher,  $o$  oben,  $s$  seitlich,  $u$  unteres Stielende.
- 7 Spongia ramosa pag. 399, mittlerer Pläner, Gustedt,  $x$  vergrößerte Oberfläche.
- 8 desgleichen pag. 401, oberer Pläner, Dörnten,  $x$  vergrößerte Oberfläche.
- 9 Spumispongia punctata globosa pag. 403, oberer Sandmergel der Kreideformation, Sutmerberg:  $u$  Unterende,  $o$  Osculum,  $y$  vergrößerte Magenwand,  $x$  vergrößertes Gewebe.
- 10 Spumispongia punctata doliaris pag. 403, daher,  $\frac{5}{6}$  nat. Grösse,  $u$  Unterseite,  $o$  Osculum in nat. Grösse,  $x$  vergrößerte Oberflächenzeichnung.
- 11 Spumispongia pag. 404, daher, Wurzelstück von der Oberseite  $o$  und Unterseite  $u$ .
- 12 Spumispongia punctata pag. 405, daher, von der Oberseite,  $x$ ,  $y$ ,  $z$  vergrößerte Löcher.
- 13 Spumispongia punctata foveata pag. 406, daher, etwas verkleinert,  $x$  vergrößerte Oberfläche.
- 14 Spumispongia punctata pag. 407, daher,  $\frac{1}{2}$  nat. Grösse, die Löcher nicht verkleinert,  $o$  Oberansicht,  $x$  und  $y$  vergrößerte Oberfläche.
- 15 desgleichen pag. 407, daher,  $\frac{1}{2}$  nat. Grösse,  $G$  Stück der Oberseite in nat. Grösse.
- 16 Spumispongia auriscalpium pag. 408, daher,  $u$  Unterseite.
- 17 Spumispongia. exserta pag. 409, daher,  $x$  vergrößertes Gewebe der Oberseite.
- 18 Spumispongia punctata unciformis pag. 409, daher.
- 19 Spumispongia punctata doliaris pag. 410, daher, jung.
- 20 Spumispongia alveare pag. 410, daher,  $o$  Oberseite,  $x$  vergrößerte Zeichnung der Oberfläche.
- 21 desgleichen pag. 411, daher,  $\frac{1}{2}$  nat. Grösse.
- 22 Siphonia ficus pag. 412, daher, etwas verkleinert,  $o$  Osculum.
- 23 Siphonia cf. cervicornis pag. 412, daher, von oben abgebildet.
- 24 Antrisporgia pag. 413, daher.
- 25 desgleichen pag. 413, daher.
- 26 cf. Guettardia stellata pag. 414, daher,  $u$  Unterende,  $x$  vergrößertes Gittergewebe.











## Erklärung tab. 135.

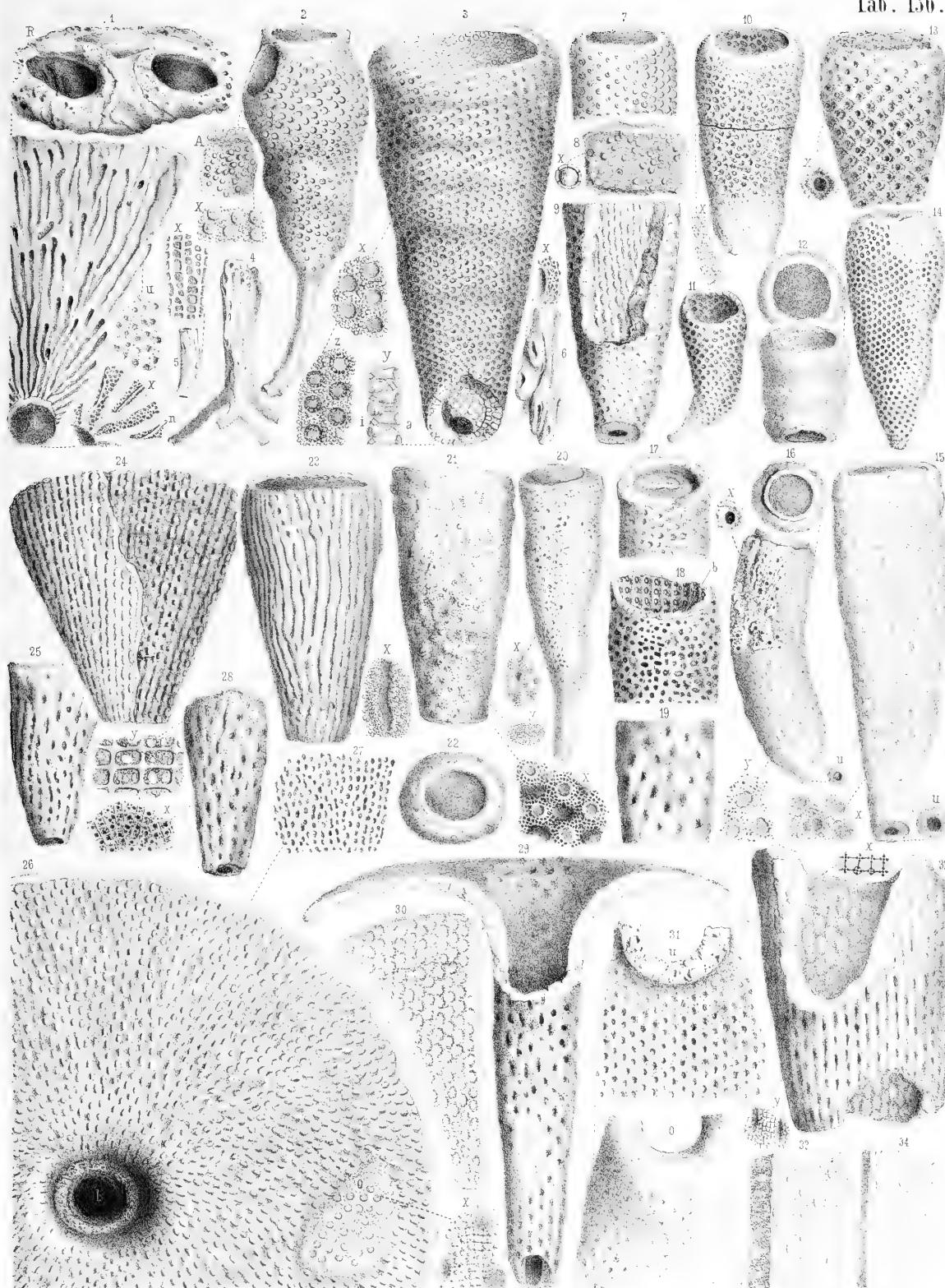
Fig.

- 1 Eulespongia pag. 414, Pläner, Quedlinburg, Wurzelstück, *x* vergrösserte Nadeln, *s* Durchbruch, *Q* Querschnitt.
- 2 desgleichen pag. 416, Oberer Pläner, Steinlah, *y* vergrössertes Stück mit einzelnen Kieselnadeln.
- 3 Eulespongia texta pag. 417,  $\frac{1}{3}$  nat. Grösse, Haverlah, *x* vergrösserte Nadeln auf einer Muschel, *y* stark vergrösserte hohle Nadel.
- 4 desgleichen pag. 418, Oberer Pläner, Schlde, *h* zusammengeschwemmte Nadeln, *z* vergrösserte Nadeln.
- 5 Eulespongia texta coniformis pag. 419, Oberer Pläner, Steinlah.
- 6 Eulespongia texta pag. 417, Oberer Pläner, Dörnten, Oberende eines grossen Cylinders, *x* vergrössertes Gewebe mit Nadeln.
- 7 desgleichen pag. 419, daher, Bruchstück mit einem erhöhten Kalkfaden, der *x* vergrössert dargestellt ist, unterlagert von zahllosen Nadeln.
- 8 Eulespongia auriformis pag. 420, Oberer Pläner, Steinlah, *x* vergrösserte Nadeln, *y* vergrösserte Eindrücke im Kalk.
- 9 Siphonia cervicornis pag. 422, Feuerstein, *q* Querschnitt, *x* stark vergrössertes Gewebe.
- 10 Polyjerea dichotoma pag. 423, Mittlerer Pläner, Salzgitter, *x* vergrössertes Gewebe, *y* vergrösserter Schorf.
- 11 desgleichen pag. 424, daher, Ansicht eines dreizackigen Gipfels von oben.
- 12 Polyjerea verrucosa pag. 425, daher, verkiest, *bb* durchgesteckte Borste, *u* unten, *o* oben.
- 13 Polyjerea pag. 426, daher, *Q* Querbruch, *x* vergrössertes Stück, verkiest.
- 14 Hallirhoa costata pag. 426, Feuerstein, natürliche Grösse, *u* Querbruch des Stieles, *o* Oberansicht zur Hälfte reducirt. *M* Mundöffnung, *L* Narbe eines abgebrochenen Lappens, *x* vergrösserte Oberflächenzeichnung.
- 15 Siphonia Websterii pag. 428, Oberer Grünsand, Blackdown, *x* vergrössertes Gabelstück einer Längsröhre, *o* Osculum, *s* vergrösserte Kieselstäbchen, *u* Querbruch des Stieles.
- 16 desgleichen pag. 430, daher, Mundansicht eines kleinen Exemplars.
- 17 Siphonia Websterii sigillata pag. 430, daher, *u* Querbruch des Stieles, *y* vergrösserte Randlöcher mit Kieselstäbchen.
- 18 desgleichen pag. 431, daher, Zwitter in schiefer Stellung mit zwei Oscula *o* und *s*.
- 19 desgleichen pag. 430, daher, Copie, stark verkleinert mit Stiel und Wurzel.
- 20 Siphonia ficus pag. 431, Pläner, Quedlinburg, *m* Ansicht des Osculum, *u* Querbruch des Stieles, *x* vergrösserte Oberhaut.
- 21 desgleichen pag. 433, daher, oben wie angeknabbert.
- 22 desgleichen pag. 433, daher,  $\frac{2}{3}$  natürlicher Grösse.
- 23 desgleichen pag. 434, daher, unteres Stielende.

## Erklärung tab. 136.

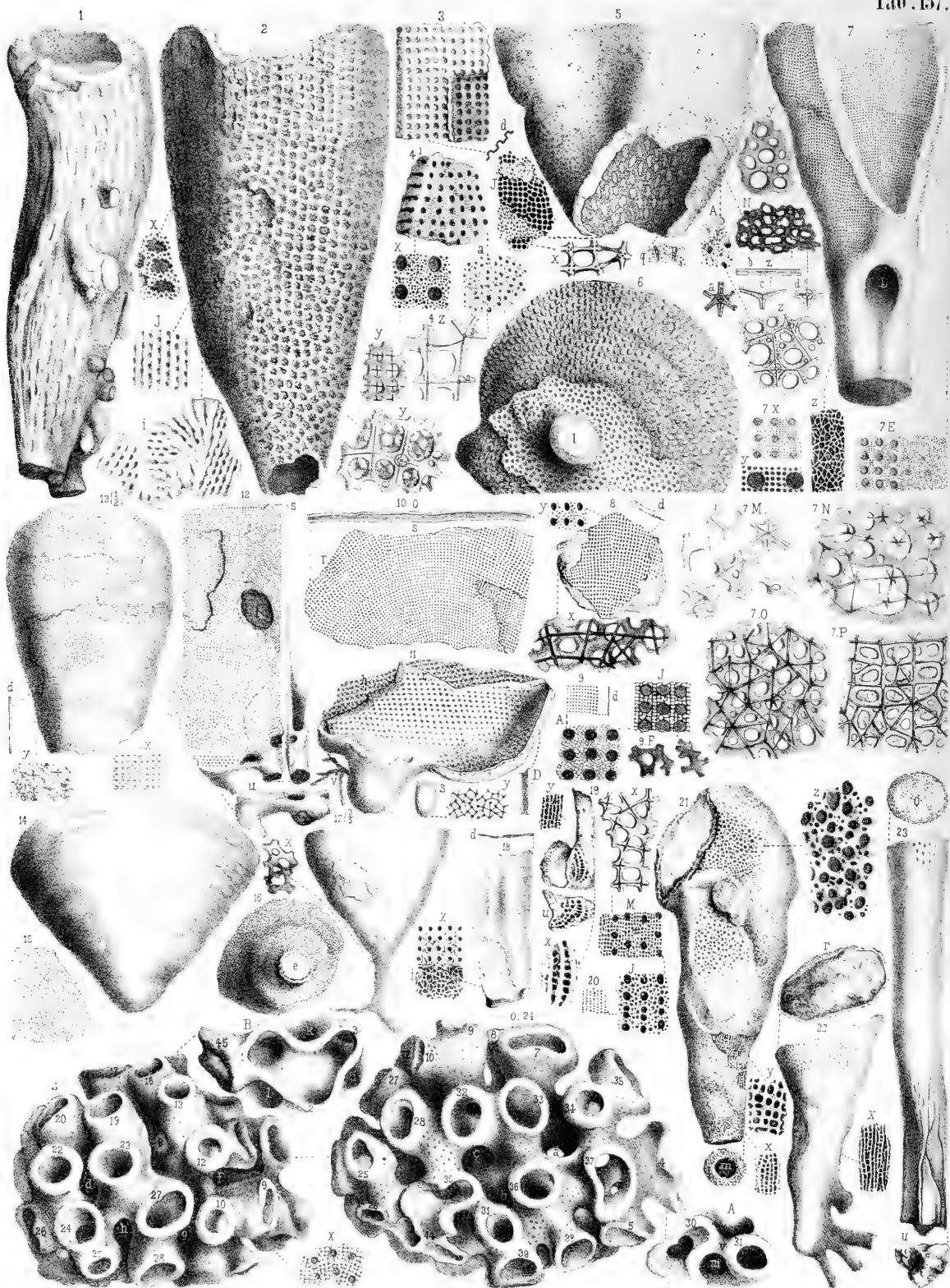
Fig.

- 1 *Siphonia acaulis* pag. 435, Greensand Blackdown, Sector einer Scheibe, *m* Magenöhle, *R* Randstück, *u* Unterseite, *x* vergrößerte Rinnen, *n* Kieselnadeln.
- 2 *Ventriculites angustatus* pag. 438, Pläner, Thale: *A* Abdruck vom Oberrande, *x* vergrößert; *l* zufälliges Loch.
- 3 desgleichen pag. 439, Pläner, daher: *x* vergrößerte Oberfläche, *y* Querschnitt der Wand vergrößert, *z* vergrößerte gezackte Löcher.
- 4 desgleichen pag. 440, Pläner, Oppeln, Wurzel.
- 5 desgleichen pag. 440, daher, Wurzelstück, *x* vergrößerte Oberflächenzeichnung.
- 6 *Radix tubulosa* pag. 441, daher, *x* vergrößerte Zeichnung der Grubenränder.
- 7 *Ventriculites angustatus* pag. 441, Pläner, Oppeln, Oberende links mit einer besondern Rinde.
- 8 desgleichen pag. 442, Pläner, Thale, Abdruck, *x* vergrößerter Zitzen.
- 9 desgleichen pag. 442, Pläner, Oppeln, innerer Kern sichtbar.
- 10 desgleichen pag. 442, daher, mit verschränkten Löchern, *x* vergrößerter Querbruch der Wand.
- 11 desgleichen pag. 442, daher, junges Exemplar.
- 12 desgleichen pag. 443, daher, Oberende eines längern Cylinders.
- 13 desgleichen pag. 443, daher, *x* vergrößertes Loch.
- 14 desgleichen pag. 443, daher, kleinlöcherig.
- 15 *Ventriculites angustatus distortus* pag. 444, Pläner, Dörnten, *n* Unterende, *x* vergrößerte Oberfläche.
- 16 desgleichen pag. 444, daher, *u* Unterende, *x* vergrößertes Trompetenloch, *y* vergrößertes Gewebe.
- 17 desgleichen pag. 445, daher, Oberende eines verdrückten Cylinders.
- 18 desgleichen pag. 445, daher, verkiest, *b* durchgesteckte Borste.
- 19 desgleichen pag. 445, daher, Bruchstück eines Cylinders cf. fig. 29.
- 20 *Ventriculites distortissimus* pag. 446, Pläner, Thale, *x* vergrößerte Pusteln.
- 21 *Ventriculites serioporus* pag. 446, Mucronatenpläner, Döllberg; *x* vergrößerte Oberfläche; *y* stark vergrößerte Gesteinspünktchen.
- 22 desgleichen pag. 447, daher, wohlerhaltene Mündung.
- 23 *Ventriculites radiatus* pag. 447, Pläner, Oppeln, *x* vergrößerte Oberfläche.
- 24 desgleichen pag. 448, daher, rechts Kern, links Schale.
- 25 desgleichen pag. 449, daher, vielleicht ein Stiel.
- 26 *Ventriculites radiatus discus* pag. 449, daher, *l* Loch, darüber Rand der Schalendicke. Auf dem Abdruck von der Unterseite liegt bei *o* noch Schwammsubstanz, *x* vergrößert.
- 27 desgleichen pag. 450, daher, Zeichnung der Unterseite des Schwammes.
- 28 *Ventriculites radiatus parapluvius* pag. 452, Pläner, Dörnten, Stielstück: *x* vergrößerte Oberfläche, *y* stark vergrößerte Oberhaut von der Unterseite.
- 29 desgleichen pag. 451, daher, etwas idealisirt.
- 30 desgleichen pag. 451, daher, Stück von der Oberseite des Schirmes.
- 31 desgleichen pag. 451, daher, Stück *u* von der Unterseite und *o* von der Oberseite.
- 32 *Ventriculites radiatus* pag. 452, Kreide, Lüneburg: *x* stark vergrößerte Oktaederknoten, *y* vergrößertes Gittergewebe.
- 33 desgleichen pag. 453, daher, Bruchstück von der Innenseite.
- 34 desgleichen pag. 454, Kreide, Rügen, Bruchstück.









# Erklärung tab. 137.

Fig.

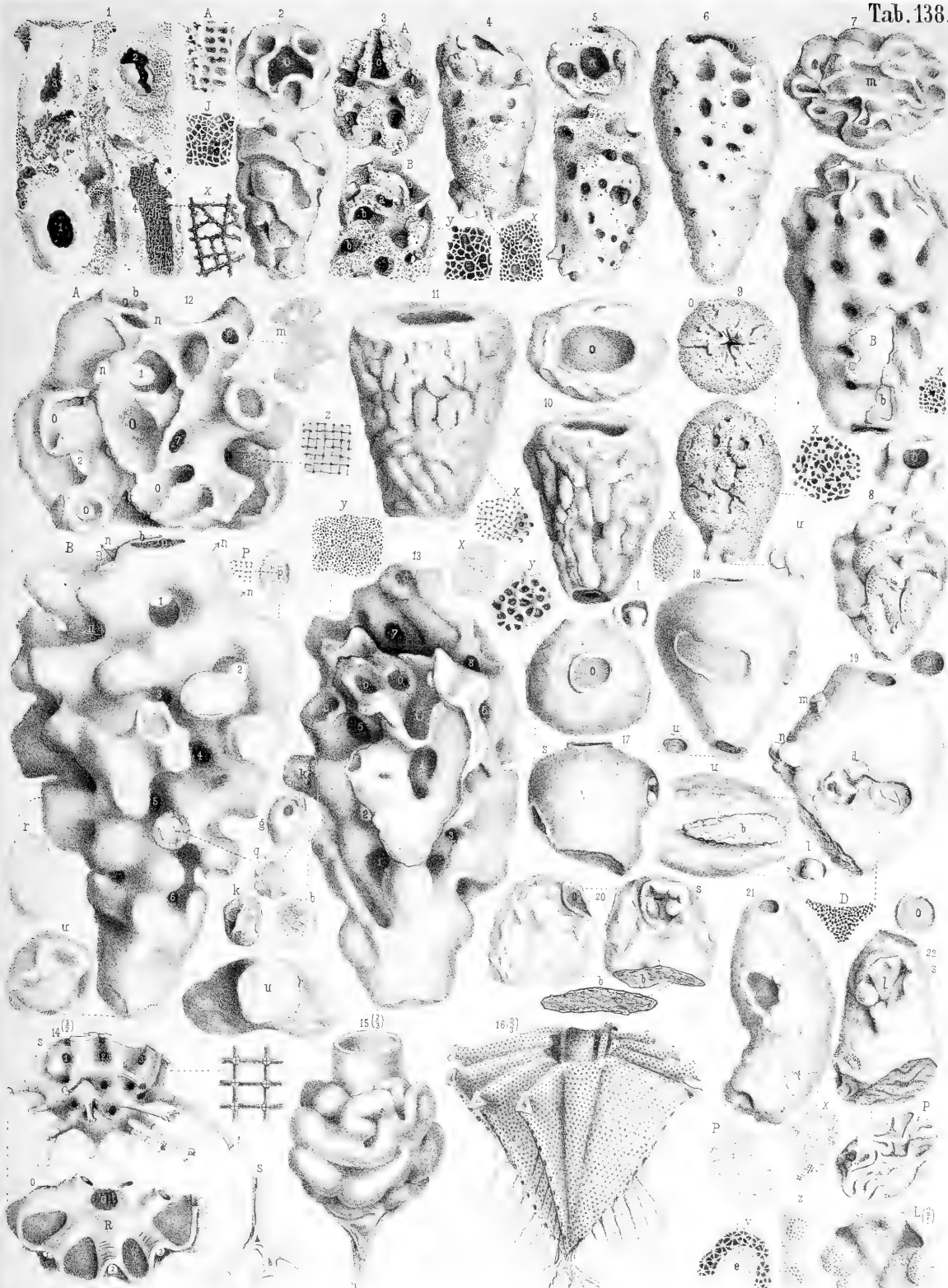
- 1 *Ventriculites multicostatus* pag. 454, Pläner, Döllberg.
- 2 *Scyphia Dechenii* pag. 454, Chloritische Kreide, Ahlten: *I* Innenseite, *i* desgleichen verzerrt; *x* vergrösserte Löcher; *y* mikroskopisches Gewebe.
- 3 *Ventriculites tessellatus* pag. 456, Mittlerer Pläner, Salzgitter, *d* diagonalen Querschnitt.
- 4 *Scyphia* cf. *tenuis* pag. 457, Unterer Pläner, Postberg, verkieselt: *i* Innenseite, *x* vergrössert, *a* Aussenseite; *y* vergrössertes Doppelgitter, *z* Oktaederknoten eines ungeschliffenen Splitters.
- 5 *Scyphia intrareticulus* pag. 458, Oberer Pläner, Ahlten, verkieselt: *q* Querbruch mit Röhren; *A* vergrösserte Oberfläche der Aussenseite, *y* mikroskopische Rindenschicht aussen; *I* vergrösserte Innenschicht mit etwas stärker vergrössertem Gittergewebe *x*; *z* mikroskopisches Gittergewebe mit Rindenschicht darunter; *N* mikroskopisches Netzwerk, *a—d* einzelne Gewebestücke.
- 6 *Ventriculites dilatatus* pag. 460, Quedlinburg, Abdruck und Schale von der Unterseite, mit einer Bruchfläche *l*.
- 7 *Coscinopora infundibuliformis* pag. 461, Oberer Pläner, Ahlten, verkieselt: *z* vergrösserte Oberfläche des Stieles; *x* vergrössertes Gitterwerk, *y* dasselbe noch stärker vergrössert, *E* vergrösserte Epidermalschicht; *M* mikroskopische Gewebetheile, *N* Querschnitt vom Kelch, *O* Epidermis von der Unterseite gesehen, *P* Querschnitt vom Stiel.
- 8 desgleichen pag. 464, Chloritische Kreideformation, Alte Mann, Bruchstück, *b* Querschnitt, *y* vergrösserte Löcher, *x* mikroskopisches Gewebe.
- 9 *Scyphia glutinata* pag. 465, Pläner, Oppeln: *d* Dicke; *A* vergrösserte Aussenseite und *I* Innenseite; *F* mikroskopische Fadenreste.
- 10 desgleichen pag. 466, daher: *o* Querschnitt, rechts schliessen die beiden Lamellen an einander; *S* Seitenansicht, *r* ganzes Randende.
- 11 desgleichen pag. 467, daher: *D* Dicke des Stockes, *S* der Zitzenfortsatz von der Seite, *y* Vergrösserung des Oberflächengewebes, *v* fremder Körper.
- 12 desgleichen pag. 467, daher: *S* Seitenansicht, *U* Unterende.
- 13 *Cylindrospongia membranacea* pag. 468, ( $\frac{1}{2}$ ) nat. Grösse, aber die Textur nicht verkleinert, Kreide, Lüneburg: *d* Dicke, *x* vergrösserter Abdruck der Innenseite; *y* mikroskopisches Bild.
- 14 *Spongites fragilis* pag. 468, Pläner, Oppeln, Kegel ohne Fadenzeichnung.
- 15 desgleichen pag. 470, daher, punktierte Zeichnung der Schale.
- 16 desgleichen pag. 470, daher, von unten, mit weggebrochener Spitze *e*.
- 17 *Ventriculites simplex* pag. 470, ( $\frac{3}{5}$ ) nat. Grösse, Upper Chalk, Sussex, *x* mikroskopisches Gewebe.
- 18 *Scyphia* cf. *glutinata* pag. 471, verkieselt, Oberer Pläner von Ahlten: *d* Blattdicke, *x* vergrösserte Oberfläche unten das innere Gewebe zeigend.
- 19 desgleichen pag. 471, daher, Stielstück, *u* von unten, *x* vergrösserte Oberflächenparthie, desgleichen *y* vom Stiele.
- 20 desgleichen pag. 472, daher, Blattstückchen von der Innenfläche, *I* vergrössert; *M* aus der Mitte, *x* mikroskopisches Gitter.
- 21 *Ventriculites quincuncialis* pag. 473, Pläner, Thale: *m* Magenöhle unten, *xyx* vergrösserte Oberfläche.
- 22 desgleichen pag. 472, daher, Wurzelende, *r* obere Ansicht, *x* vergrösserte Oberflächenzeichnung aus der Stielgegend.
- 23 Langer Stiel pag. 473, Pläner, Oppeln, verkieselt: *o* verbrochenes Oberende, *u* Unterende.
- 24 *Antrispongia dilabyrinthica* pag. 474, Gault, Folkstone: *O* Breitseite, *S* Schmalseite, *A* und *B* Bruchstücke, *x* vergrösserte Oberfläche.

## Erklärung tab. 138.

Fig.

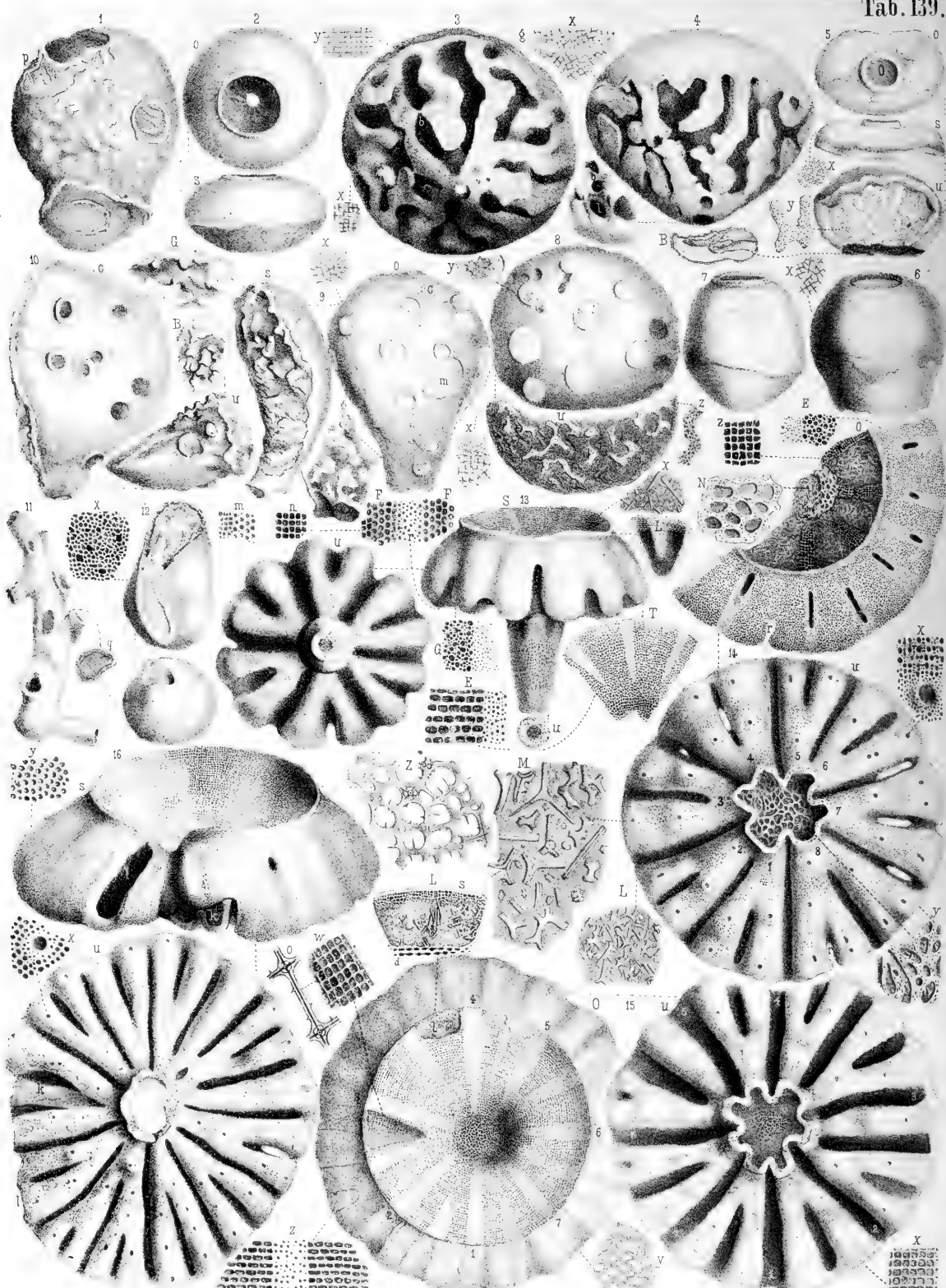
- 1 cf. *Mæandrospongia annulata* pag. 477, Ahlten, verkiegelt: *I* vergrösserte Fäden innen, *A* desgleichen aussen mit Kiesel überrindet, *x* mikroskopisches Gewebe.
- 2 *Gyrispongia subruta* pag. 480, Oberer Pläner, Dörnten, *o* Oberseite.
- 3 desgleichen pag. 480, daher, verkiegelt: *A* Oberende, *B* Seite, *y* vergrösserte Kieselfaser.
- 4 desgleichen pag. 481, daher, *x* vergrösserte Oberfläche.
- 5 desgleichen pag. 481, daher, *o* Osculum.
- 6 desgleichen pag. 481, daher, von der Seite, *o* Osculum.
- 7 *Gyrispongia crispata* pag. 482, daher: *m* Mündung von oben, *x* vergrössertes Gewebe, *Bb* Bruchstellen.
- 8 *Gyrispongia cerebialis* pag. 483, daher, verkiegelt, *o* Osculum der Oberseite.
- 9 *Gyrispongia granulosa* pag. 483, daher: *o* Oberseite, *u* verbrochene Wurzel, *x* vergrössertes Gewebe der Oberfläche.
- 10 *Ventriculites Benettii* pag. 484, Pläner, Thale: *o* Osculum, *x* vergrösserte Pusteln auf der Oberfläche.
- 11 desgleichen pag. 484, Kreide, Lüneburg, *x* vergrösserte Oberfläche.
- 12 *Gyrispongia labyrinthica* pag. 485, Pläner, Oppeln: *A* obere Hälfte der Gegenseite, *z* vergrösserte Gitter der Innenwand, *m* mikroskopische Epidermis; *B* ganze Seitenansicht, *r* Zitzen von oben, *P* vergrösserte Gitter der innern Fläche *p*; *q* und *g* abgesprengter Zitzen; *u* Unterseite.
- 13 desgleichen pag. 488, daher, von der Schmalseite, in Feuerstein verwandelt: *y* mit der Lupe vergrösserte Oberfläche (gleich fig. 12. *A. m*); *u* Unterseite, *bk* abgesprengter Zitzen.
- 14 *Becksia Soekelandi* pag. 489, Quadratenkreide, Coesfeld, verkleinerte Copie.
- 15 *Brachiolites elegans* pag. 490, Upper Chalk von England, verkleinerte Copie.
- 16 *Brachiolites angularis* pag. 490, Chalk, England, verkleinerte Copie.
- 17 *Cephalites bursa* pag. 492, Pläner, Thale: *o* oben, *s* seitlich, *l* Loch mit vorspringender Zunge, *x* Epidermis, darunter *y* mikroskopisches Gewebe.
- 18 desgleichen pag. 493, daher, seitlich, *u* untere offene Spitze.
- 19 desgleichen pag. 493, daher: *o* Osculum, *u* Unterseite zeigt eine verbrochene Stelle *b* mit Gyri, *l* Loch mit einem Täfelchen, *d* Dreieck bei *D* vergrössert.
- 20 desgleichen pag. 494, daher: *o* Osculum, *s* Gegenseite mit Loch, *b* verbrochene Unterseite, die verdrückte Dicke *x* des Beutels zeigend.
- 21 *Cephalites farctus* pag. 495, daher: *P* untere Platte mit Gyri, *y* stark vergrösserte Oberfläche voll Sterubuckel mit zarten Fäden *e* bedeckt; *x* vergrösserte Kieselfetzen bei *z* noch stärker vergrössert.
- 22 desgleichen pag. 496, daher: *o* Osculum, *P* Ansatzplatte mit Gyri, *L* vergrössertes Loch *l*.











## Erklärung tab. 139.

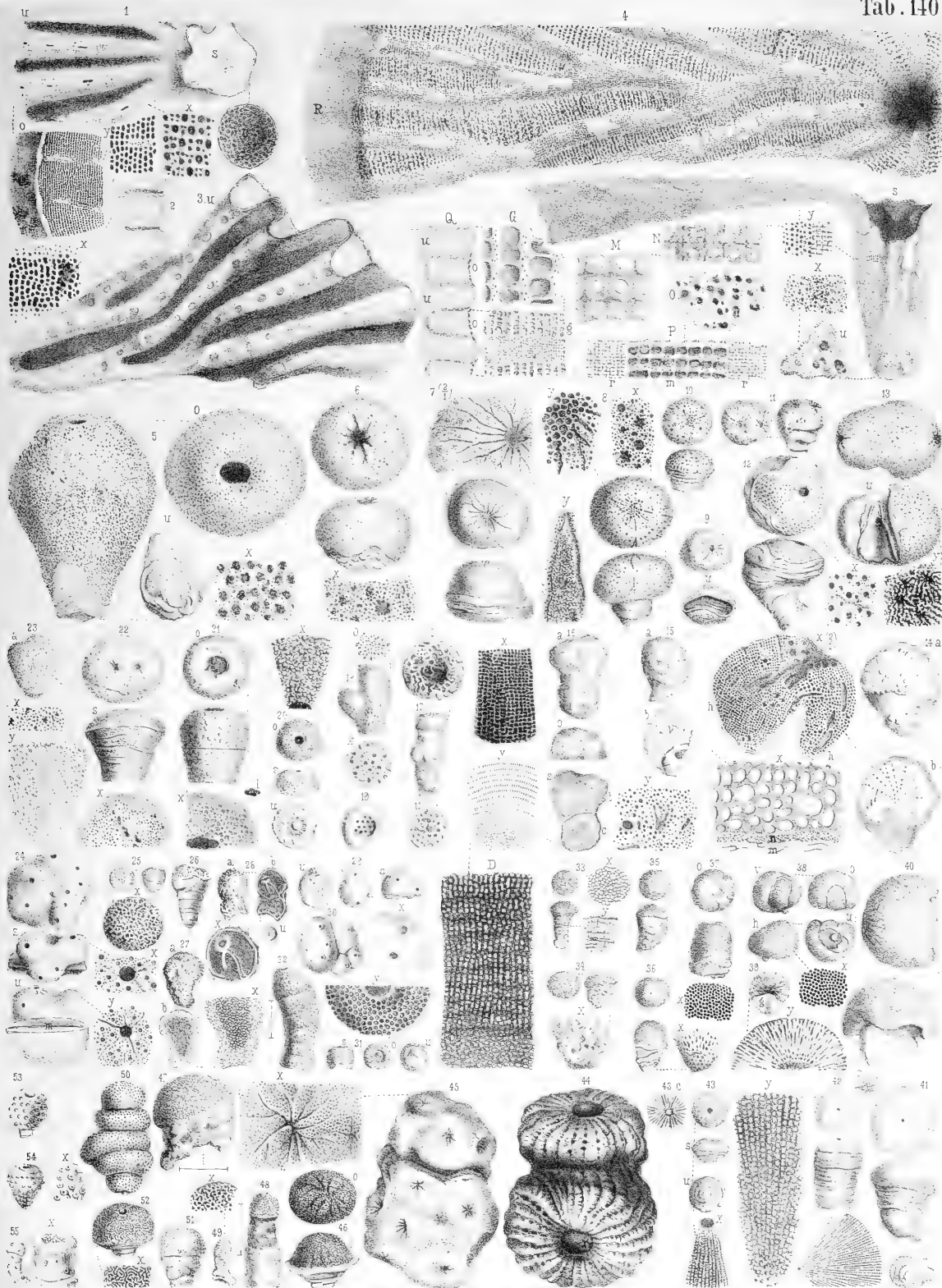
Fig.

- 1 *Cephalites bursa* pag. 497, Mittlerer Pläner, Fleischerkamp bei Salzgitter.
- 2 *Cephalites monostoma* pag. 499, Pläner, Oppeln, *o* Oberseite, der Boden des Magens durchbrochen, *s* seitlich.
- 3 desgleichen pag. 500, daher, von der Unterseite: *y* vergrößerte Gitter auf der Magenwand, *x* vergrößerte Kalkbläschen in Gittern; *b* Brücke.
- 4 desgleichen pag. 500, daher, Seitenansicht: *l* Loch und Brücke *b* von unten; *x* vergrößerte Gitter der Oberfläche unter- und oberhalb des Randes *g*.
- 5 desgleichen pag. 501, Pläner, Quedlinburg, verdrückt: *o* oben, *s* seitlich, *u* unten, *x* vergrößerte Löcher auf der Oberhaut, *y* vergrößerte Gyri, *B* Bruchseite.
- 6 desgleichen pag. 502, Pläner, Oppeln, *x* vergrößerte Gitter der Oberfläche.
- 7 desgleichen pag. 502, Pläner, Salzgitter, von der Seite.
- 8 *Cephalites polystoma* pag. 503, Pläner, Oppeln: *x* vergrößerte Oberfläche mit Epidermalpunkten und darunter liegenden Gittern; *y* vergrößertes Osculum mit Epidermalfetzen darauf; *u* Stück der Unterseite mit Resten von Gyren, *z* vergrößert.
- 9 desgleichen pag. 504, daher: *o* Oberseite mit Muschelresten *m* und Celleporen *c*; *s* seitlich; *g* Gegenseite mit Gyren; *G* Gyren am Oberende; *x* vergrößerte Oberhaut.
- 10 desgleichen pag. 505, daher: *o* Glatzenseite; *u* von unten, *B* Stück der Hinterseite.
- 11 *Cylindrospongia abbreviata* pag. 506, Pläner, Neinstedt, *q* Querschnitt.
- 12 *Bursispongia bursata* pag. 506, Oberer Kreidemergel, Ahlten, zwei Ansichten, *x* vergrößertes Gewebe.
- 13 *Cœloptychium sexlobatum* pag. 510, chloritische Kreide, Coesfeld: *U* Unterseite; *S* Seitenansicht; *G* vergrößertes Gewebe der Seite; *T* Innenseite und *E* vergrößerte Rindenschicht; *x* vergrößerte Stäbchen im Innern; *L* Loch auf der Innenseite; *FF* vergrößerte Zeichnung der Unterseite zwischen den Falten und *r* auf dem zwischenliegenden Faltenrücken; *mn* Gitter unter den verpappten Löchern.
- 14 *Cœloptychium percussum* pag. 512, chloritische Kreide, Coesfeld: *U* Unterseite: *y* vergrößerte Maschenscheidewand im Stiel; *x* vergrößerte Oberfläche um ein rundes Loch. *O* Oberseite: *N* vergrößertes Epidermalgewebe, *z* vergrößertes inneres Gitterwerk. *L* Nadel mit der Lupe vergrößert, *M* mit dem Mikroskop; *m* vergrößertes Netz auf dem Rücken, und *n* im Thale der Falte.
- 15 *Cœloptychium agaricoides* pag. 515, chloritische Kreide, Coesfeld. *U* Unterseite; *x* vergrößerte Gitter; *O* Oberseite, *y* vergrößertes Stück von der Siebplatte im Centrum, *z* vergrößertes Stück der Oberhaut von der Innenseite; *L* vergrößertes Loch *l*, *w* mit der Lupe vergrößertes Gittergewebe von der Innenwand, *o* Oktaeder mit dem Mikroskop gesehen.
- 16 *Cœloptychium decimum* pag. 517, Kreidemergel, Coesfeld: *u* Unterseite, *x* vergrößertes Osculum, *k* innerer verkrüppelter Arm; *s* Seitenansicht, *y* vergrößerte Löcher der Seite, *z* mikroskopisches Gewebe.

## Erklärung tab. 140.

Fig.

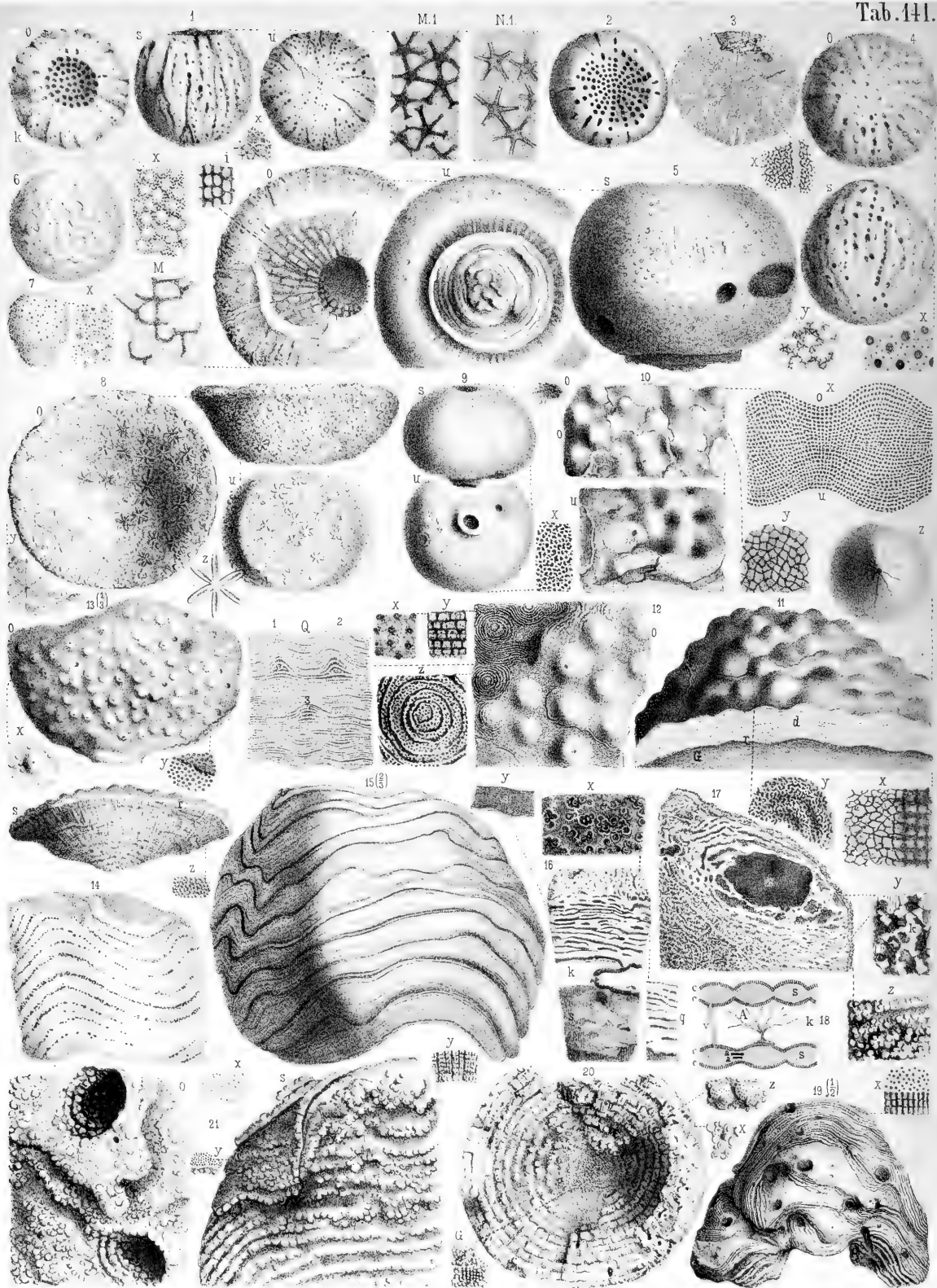
- 1 *Caeloptychium longostium* pag. 519, Pläner, Schwiechelt: *u* Unterseite, *s* Stiel, *o* Stück der Oberseite, *y* etwas vergrößerte Oberhaut, *c* Centralloch von der Oberseite.
- 2 desgleichen pag. 520, daher: *s* Seitenrand, *x* vergrößertes Gewebe der Oberseite zwischen zwei Bändern.
- 3 *Caeloptychium Seebachi* pag. 521, Weisse Kreide, Lüneburg: *u* Stück der Unterseite; *Q* Querbruch im Kalke *u* unten, *o* oben; *g* mit *o* correspondierende Oberseite, *G* vergrößertes Gitter *g*.
- 4 desgleichen pag. 522, daher, Sector der Oberseite mit Centralloch, *h* Seitenrand; *S* Querdurchschnitt von einem Stück, um die Kürze des Stieles zu zeigen, *u* gelöchertes Unterende desselben mit dem vergrößerten Gewebe *x*; *y* vergrößertes Gewebe; *M* Mikroskopische Gitter des Stieles und *N* Horizontalschnitt der Scheibe; *O* Stückchen vergrößerte Epidermis von der Oberseite; *P* vergrößerte Epidermis mehr gegen den Rand hin.
- 5 *Spongites penetratus* pag. 525, St. Cassian; *o* von oben, *u* von unten, *x* vergrößerte Oberfläche.
- 6 *Scyphia capitata* pag. 526, St. Cassian: Ober- und Seitenansicht, *x* vergrößerte Oberflächenzeichnung.
- 7 *Tragos astroites* pag. 527, St. Cassian: *y* vergrößerte Rinnen.
- 8 *Tragos astr. fungiformis* pag. 528, St. Cassian; *x* vergrößerte Oberfläche, *y* vergrößerter Gipfel.
- 9 *Tragos astroites* pag. 529, St. Cassian: *u* Ansicht von unten.
- 10 desgleichen pag. 529, daher, zwei Ansichten.
- 11 desgleichen pag. 529, daher, Zwitter.
- 12 desgleichen pag. 530, daher, mit langem Stiel, *x* vergrößerte Oberfläche.
- 13 desgleichen pag. 530, daher: *u* Unterseite mit Muschel, *y* vergrößerte Oberfläche.
- 14 desgleichen pag. 530, daher, incrustirt: *a* Aussen, *b* Schnittfläche zeigt den lichten Schwamm; *x* Gegenseite der Schnittfläche doppelt vergrößert.
- 15 desgleichen pag. 532, daher: *a* Aussenseite; *b* Schnittfläche, *y* ein Stück davon mit der Lupe gesehen; *x* stark vergrößertes Stück derselben, woran *m* Muschel und *u* Hüllsubstanz bezeichnet.
- 16 *Incrustirter Schwamm* pag. 532, daher: *a* aussen, *o* oben, *s* Schnittfläche; *x* vergrößertes Gewebe von *b*, *y* desgleichen von *c*, *D* dasselbe stark vergrößert.
- 17 desgleichen pag. 533, daher: vergrößertes Unter- *u* und Oberende *o*.
- 18 desgleichen pag. 534, daher: *o* geschliffenes Oberende, *x* Unterende etwas vergrößert.
- 19 *Scyphia gracilis* pag. 534, daher, Oberseite, Copie.
- 20 *Incrustirter Schwamm* pag. 534, daher: *o* oben, *s* seitlich, *u* unten, *x* Sector der vergrößerten Oberseite.
- 21 *Scyphia* pag. 535, daher, in der Mitte durchgeschnitten, *l* Loch in nat. Grösse, *x* vergrößerte Schnittfläche am geschliffenen Unterende.
- 22 *Spongites binastroites* pag. 536, daher, *x* vergrößerte Textur auf der untern Schlifffläche.
- 23 *Scyphia* pag. 536, daher: *a* Aussenseite, *x* vergrößerte Oberfläche, *y* vergrößerter Längsschliff.
- 24 *Cnemidium concinnum* pag. 537, daher, drei verschiedene Ansichten, *x* und *y* Vergrößerungen.
- 25 *Tragos milleporatum* pag. 538, daher, *x* vergrößerter Kopf.
- 26 desgleichen pag. 538, daher, Copie.
- 27 Schwamm pag. 538, daher: *a* aussen, *b* Schlifffläche, ein Stück derselben bei *x* vergrößert.
- 28 Schwamm pag. 538, daher: *a* aussen, *b* Schlifffläche, *u* unten, *s* obere Zelle vergrößert.
- 29 *Manon submarginatum* pag. 539, daher, *u* *os* drei Ansichten, *x* vergrößertes Stück.
- 30 *Verrucospongia* pag. 540, daher, Copie.
- 31 *Scyphia Manon* pag. 540, daher, drei Ansichten, *y* Hälfte der vergrößerten Oberseite.
- 32 desgleichen pag. 540, daher, Copie.
- 33 *Achilleum milleporatum* pag. 541, daher, *x* Kopf und *y* Hülle vergrößert.
34. 35 desgleichen pag. 543, daher, *x* vergrößerter Stiel.
- 36 desgleichen pag. 543, daher, *x* vergrößertes Stielstück.
- 37 desgleichen pag. 544, daher, *o* Oberseite, *x* vergrößerte Zellen.
- 38 desgleichen pag. 544, daher, vier Ansichten, *x* vergrößerte Zellen.
- 39 desgleichen pag. 544, daher, Schlifffläche, *g* Gebirge, *y* Vergrößerung.
- 40 desgleichen pag. 545, daher, zwei Ansichten.
- 41 *Montlivaltia gracilis* pag. 545, St. Cassian, *C* vergrößertes Centrum mit runden Knötchen.
- 42 desgleichen pag. 546, daher: *x* vergrößerter Querschnitt, *y* mikroskopisch vergrößert.
- 43 *Montlivaltia boletiformis* pag. 547, daher, *x* vergrößertes Kopfstück; *C* vergrößertes Centrum, Copie nach Laube.
- 44 *Eudea rosa* pag. 547, daher, von oben, Copie.
- 45 *Stellispongia variabilis* pag. 547, daher, von oben, *x* vergrößerte Rinnen, Copie.
- 46 *Calamopora Cnemidium* pag. 548, daher, zwei Ansichten, Copie.
- 47 *Achilleum granulosum* pag. 548, daher, von der Seite, Copie.
- 48 *Achilleum milleporatum* pag. 549, daher, vergrößert, Copie.
- 49 *Spongites* pag. 549, daher, von der Seite, *x* vergrößertes Köpfchen.
- 50 *Manon pertusum* pag. 549, daher, von der Seite, Copie.
- 51 *Colospongia pertusa* pag. 549, daher, Copie.
- 52 *Scyphia hieroglyphica* pag. 549, daher, von der Seite, *x* vergrößertes Gewebe, Copie.
- 53 *Scyphia polymorpha* pag. 550, daher, von der Seite, Copie.
- 54 *Verrucospongia polymorpha* pag. 550, daher, *x* vergrößerte Würzchen, Copie.
- 55 *Verrucospongia armata* pag. 550, daher *x* vergrößertes Oberende, Copie.











## Erklärung tab. 141.

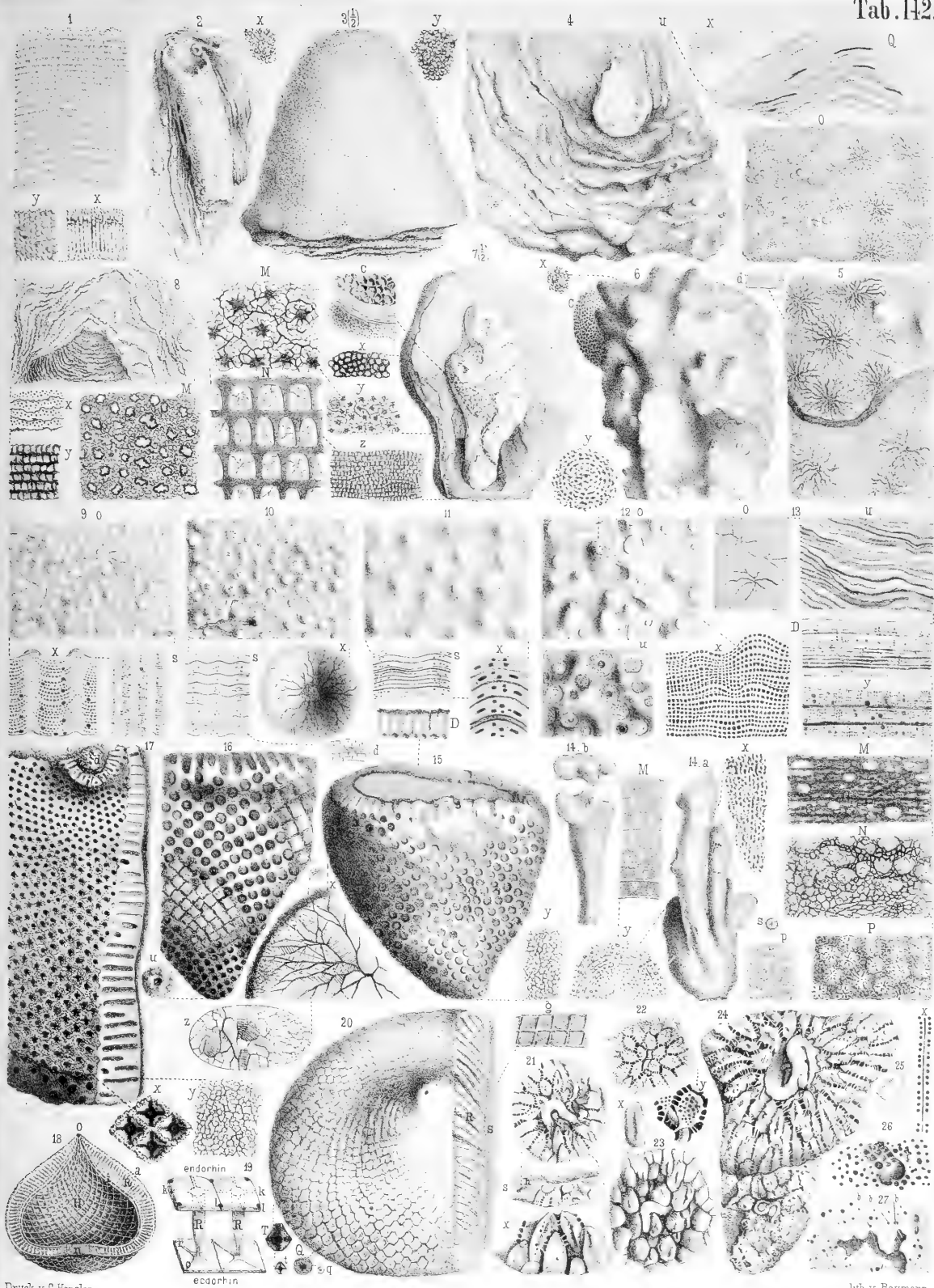
Fig.

- 1 *Siphonia præmorsa* pag. 551, Geschiebe, Ostsee: *o* oben, *s* seitlich, *u* unten; *x* vergrössertes Gewebe, *M* und *N* mikroskopische Schliffe.
- 2 desgleichen pag. 554, Märkisches Geschiebe, Oberseite.
- 3 desgleichen, pag. 554, Kröplin, Längsschnitt, *x* vergrössertes Gewebe neben einem Kanal.
- 4 *Siphonia juglans* pag. 555, Gerdeshagen: *o* oben, *s* seitlich, *x* vergrösserte Schlifffläche.
- 5 *Aulocopium aurantium* pag. 555, Vaginatenskalk, Sadewitz: *s* seitlich, *u* unten, *o* oben; *i* Zeichnung der Magenwand; *M* mikroskopischer Schliff.
- 6 *Astylospongia mæandrina* pag. 557, Gothland, *k* Schlifffläche bei *x* vergrössert.
- 7 *Achilleum cerasus* pag. 557, Gothland, *x* vergrösserte Oberfläche.
- 8 *Astræospongia memiscus* pag. 557, Niagaragruppe, Tennessee: *o* oben, *u* unten; *z* vergrösserter Stern, *y* Stück Schlifffläche.
- 9 *Tragos capitatum* pag. 558, Devon, Bensberg: *s* seitlich, *u* unten; *o* oberes Loch, *x* vergrössertes Gewebe.
- 10 *Stromatopora verrucosa* pag. 560, Eifelerkalk, Bensberg, Bruchstück: *o* oben, *u* unten; *y* Gewebefäden vergrössert; *x* Querschliff vergrössert.
- 11 desgleichen pag. 561, Devon, Wesselberger Höhle: von der Seite, unten bei *d* Dicke der Schichten, und *G* Gebirge, *z* vergrösserter Zitzen, *x* Dünnschliff senkrecht gegen die Schichten, desgleichen *y* schief gegen einen Zitzen.
- 12 desgleichen pag. 562, Devon, Gerolstein, Oberseite von einem grossen Bruchstück: *Q* Querbruch, vergrösserte Oberseite *x*, Querbruch *y*, verwiterte Oberfläche *z*.
- 13 *Stromatopora verruculosa* pag. 564, Devon, Oberstein, ( $\frac{1}{3}$ ) natürliche Grösse, aber Zeichnungen nicht verkleinert: *o* oben, *s* seitlich, *x* vergrösserter Zitzen, *y* vergrösserte Randparthie, *z* vergrösserte Oberhaut.
- 14 *Stromatopora concentrica* pag. 565, Eifel, Bruchstück von der Seite, *x* vergrösserte Oberfläche.
- 15 desgleichen pag. 565, skandinavisches Geschiebe von Obernigk,  $\frac{2}{3}$  nat. Grösse.
- 16 *Eozoon canadense* pag. 566, Canada: Schlifffläche eines Bruchstückes, *k* Kalkspath, *s* Serpentin; *q* Querbruch; *x* das Oberende der Schlifffläche vergrössert; *y* vergrösserte Serpentinsehnur, unten mit Chrysotil.
- 17 desgleichen pag. 567, daher, grösseres Bruchstück rechts oben mit wohl erhaltener Grenzfläche, *y* mikroskopischer Dünnschliff; *z* vergrösserte Randschicht.
- 18 desgleichen pag. 569, verkleinerte Copie nach Carpenter: *k* Kalk, *S* Serpentin, *cccc* Chrysotil, *v* Verbindungskanäle, *A* Astsystem, *aa* Durchbruchstellen für Verbindungskanäle.
- 19 *Chatetes polyporus* pag. 570, ( $\frac{1}{2}$ ) nat. Grösse, verkieselt, wahrscheinlich jurassisch, *x* vergrössertes Stück der Oberfläche.
- 20 desgleichen pag. 571, Oberer Weisser Jura, gelber Kiesel: *x* vergrösserte Silifikationsknoten, *y* vergrössertes Gewebe der Bruchfläche, *z* vergrösserte Wülste punktirt, *G* vergrössertes Gewebe im Centrum.
- 21 desgleichen pag. 572, verkieseltes Bruchstück eines grössern Knollen aus Weissem Jura *s*, *S* Seite, *O* Oberseite, *y* vergrösserte Zwischenhaut.

## Erklärung tab. 142.

Fig.

- 1 *Chaetetes polyporus* pag. 573, Weisser Jura  $\epsilon$ , Giengen, Bruchstück von der Seite: vergrösserte Säulchen  $x$  von der Seite,  $y$  von oben.
- 2 desgleichen pag. 573, Weisser Jura  $\epsilon$ , Nattheim, von der Unterseite auf *Serpula* haftend,  $x$  vergrösserte Oberfläche.
- 3 *Chaetetes polyp. mitraformis* pag. 574, daher, ( $1/2$ ) nat. Grösse,  $y$  vergrösserte Körner.
- 4 *Stromatopora striatella* fig. 4 pag. 574, Gothländerkalk, Wisby, Unterseite:  $U$  oben angeschliffen  $Q$ ,  $O$  Oberseite,  $x$  vergrössertes Gewebe.
- 5 desgleichen pag. 575, daher, drei Lagen übereinander,  $d$  Dicke.
- 6 *Stromatopora verruculosa* pag. 576, Eifelerkalk, Gerolstein,  $x$  vergrösserte Oberfläche.
- 7 *Stromatopora textilis* pag. 577, Helderberggruppe, Sandusky:  $C$  vergrösserte Kieselrinde des *Cystiphyllum*. Vom Kalkschwamme zeigt  $x$  das vergrösserte Gewebe der Oberfläche,  $y$  einen Dünnschliff bei  $M$  mikroskopisch vergrössert;  $z$  Vertikalschnitt unter der Lupe,  $N$  im Mikroskop.
- 8 *Stromatopora minuta* pag. 579, Niagara group, Point Detour: vergrösserte Blättchen  $x$  mit der Lupe,  $M$  mit dem Mikroskop,  $y$  vergrösserte Schichtenränder.
- 9 *Stromatopora Wortheni* pag. 580, Helderberggruppe, Sandusky, Oberseite:  $S$  Querschliff,  $x$  vergrössert mit zwei senkrechten Stäbchen.
- 10 *Stromatopora pustulifera* pag. 581, Hamiltongruppe, Michigan:  $S$  Seitenansicht  $d$  vergrössert,  $x$  vergrösserte Grube der Unterseite mit Radialfurchen.
- 11 *Stromatopora monticulifera* pag. 582, daher:  $S$  Seitenschliff,  $x$  vergrössert.
- 12 *Stromatopora consors* pag. 582, Hamiltongruppe, Iowa:  $o$  oben,  $u$  unten;  $x$  vergrösserter Querschliff,  $y$  vergrösserte Bruchfläche eines Zitzens.
- 13 *Stromatopora planulata* pag. 583, Hamiltongruppe, Rockford:  $O$  Oberseite,  $U$  Unterseite,  $D$  Dicke der Platte,  $y$  mit der Lupe und  $M$  mit dem Mikroskop;  $N$  mikroskopischer Horizontalschliff. Ein anderer Längsschliff  $p$  mit der Lupe vergrössert,  $s$  ein Loch mit Stern,  $P$  mikroskopisch.
- 14 *Stromatopora caspitosa* pag. 584, Hamiltongruppe, Michigan:  $a$  grösseres,  $b$  kleineres Stück in natürlicher Grösse,  $x$  vergrösserte Oberfläche,  $y$  vergrösserter Längsschliff einer Spitze,  $M$  mikroskopisch.
- 15 *Receptaculites scyphioides* pag. 587, Devon, Ober-Kunzendorf:  $D$  Wanddicke,  $x$  stark vergrösserte Kalkspathzwillinge in den Röhren,  $z$  desgleichen.
- 16 desgleichen pag. 588, daher, Bruchstück eines grossen Schwammes,  $u$  untere Spitze.
- 17 *Receptaculites Jowensis* pag. 589, Galena Limestone, Dubuque, von der Aussenseite sichtbar,  $x$  vergrösserte Rhomben,  $y$  vergrösserter Dünnschliff.
- 18 *Receptaculites* pag. 590, Copie, ideales Bild des Stockes.
- 19 desgleichen pag. 590, Copie, ideales Bild der Säulen und Wände.
- 20 *Receptaculites Neptuni* pag. 590, Devon, Chimay:  $R$  Röhren,  $S$  Schlamm,  $g$  Gegenseite,  $qQ$  Querschnitt einer Säule,  $tT$  Schuppen der Aussenseite von innen gesehen.
- 21 *Pleurodictyum problematicum* pag. 593, Grauwacke, Niederlahnstein:  $s$  Seitenansicht,  $x$  vergrössertes Randstück.
- 22 *Pleurodictyum* pag. 595, Grauwacke, Eifel,  $y$  vergrössertes Stück an der *Serpula* mit zwei Stacheln.
- 23 *Pleurodictyum* pag. 595, Grauwacke, Singhofen,  $x$  einzelne Säule vergrössert.
- 24 *Pleurodictyum problematicum* pag. 596, Grauwacke, Ems.
- 25 *Vioa Michelini* pag. 598, Lias  $\alpha$ , Tübingen,  $x$  vergrösserter Zug.
- 26 *Cliona Parisiensis* pag. 597, Eocen, Paris, auf *Cerithium giganteum*.
- 27 *Cliona Cerithii* pag. 597, Eocen, Paris, auf *Cerithium giganteum*.











## Erklärung tab. 143.

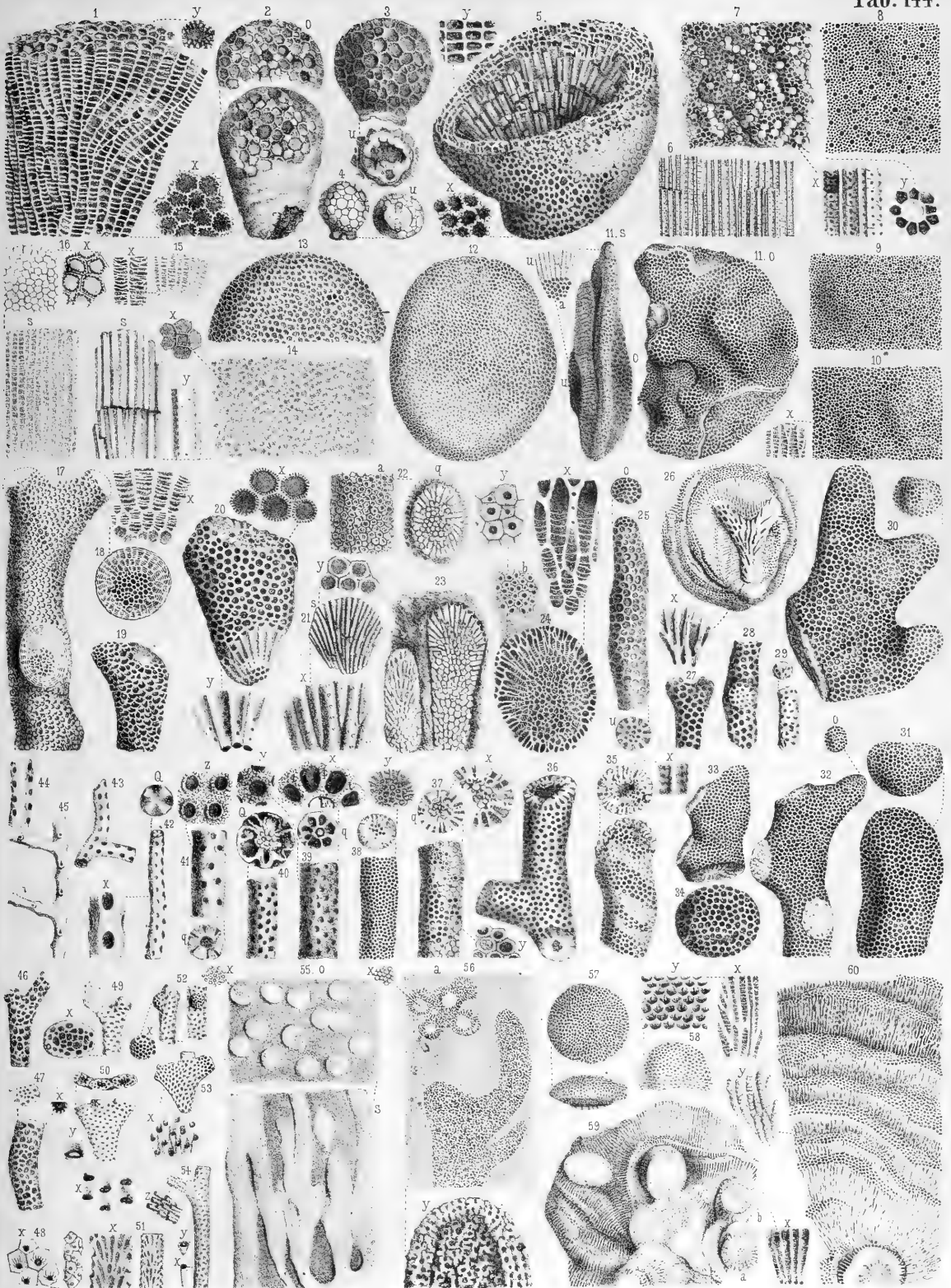
Fig.

- 1 Favosites favosus pag. 6, Point Detour, Niagaragruppe: *s* Röhre von der Seite, *x* vergrößerte Zelle.
- 2 desgleichen pag. 6, daher, grossporig, Copie.
- 3 desgleichen pag. 7, daher, kleinporig.
- 4 Favosites Niagarensis pag. 7, Vaginatenkalk, Esthland, *q* Querschnitt.
- 5 Favosites venustus pag. 8, Niagaragruppe, Point Detour: *o* Oberseite, *x* vergrößert; *q* Seitenansicht, *y* vergrößert.
- 6 Favosites Hisingeri pag. 8, Gothland, Mittleres Uebergangsgebirge: *u* Sector von unten; *o* oben; *q* Querschnitt, *x* vergrößert.
- 7 desgleichen pag. 9, daher: *x* und *y* vergrößerte Zellenmündungen, *z* vergrößerte Zellen auf der Unterseite, *c* und *d* vergrößerte Sternlöcher.
- 8 Favosites spongilla pag. 9, Niagaragruppe, Waldron.
- 9 Favosites interpunctus pag. 10, Dudleykalk: *u* Unterseite, *x* und *y* vergrößerte Zellen.
- 10 Favosites stellifer pag. 10, daher: *x* vergrößerte Oberfläche mit Stern.
- 11 Favosites microporus pag. 11, Niagaragruppe, Waldron, *x* und *y* vergrößerte Zellen; 11. *a* gestielt.
12. 13 desgleichen pag. 11, daher, kleinere Exemplare.
- 14 Hexaporites fungiformis pag. 12, Vaginatenkalk, Paulowsk: *x* vergrößertes Sechseck.
- 15 Favosites Petropolitanus pag. 12, daher: *u* Unterseite, *x* vergrößerte Zellenmündungen.
- 16 desgleichen pag. 12, daher, *u* Unterseite, *x* vergrößerte Zellenmündungen.
- 17 desgleichen pag. 12, daher, *u* Unterseite, *x* vergrößert.
- 18 desgleichen pag. 13, daher: *x* und *y* vergrößerte Zellen.
- 19 desgleichen pag. 13, daher, *z* vergrößerte Zellenmündungen.
- 20 desgleichen pag. 13, daher, Zwitter: *u* Unterseite.
- 21 Favosites Petr. heterocellatus pag. 13, daher, *u* Unterseite, *x* und *z* vergrößerte Zellen.
- 22 Favosites Petropolitanus pag. 14, Satow, *y* vergrößerte Oberfläche.
- 23 desgleichen pag. 14, daher, *x* und *z* vergrößerte Löcher.
- 24 Favosites Panderi pag. 15, Vaginatenkalk, Paulowsk: *o* Oberseite, *x* vergrößerte Seite.
- 25 Favosites fibroglobus pag. 16, Eifelerkalk: *m* Muschel, *x* vergrößerte Zellen.
26. 27 desgleichen pag. 15, daher: *u* Unterseite, *x* vergrößerte Zellen.
28. 29 desgleichen pag. 16, daher, auf Muscheln sitzend.
- 30 Calamopora fibrosa pag. 16, Devon, Senecafall, *x* vergrößerte Röhren.
- 31 cf. Calamopora pag. 17, Steinkern aus der Grauwacke von Ginetz.
32. 33 Favosites Gothlandicus pag. 17, Scandinavisches Geschiebe, Raake.
- 34 desgleichen pag. 18, Scandinavisches Geschiebe, Satow, vergrößerte Kieselzellen.
- 35 Favosites Gothlandicus pag. 18, Dudleykalk, *x* vergrößerte Zellen.
- 36 Favosites polymorphus pag. 18, Eifelerkalk, Gerolstein: *x* und *y* vergrößerte Zellen, *s* Schlifffläche.
- 37 Favosites tuberosus pag. 19, Corniferous Limestone, Port Colborne, *x* und *z* vergrößerte Zellen.
- 38 Favosites epidermatus pag. 20, daher, *y* vergrößerte Zellenwand von innen.
- 39 Favosites Goldfussii pag. 20, Eifelerkalk, Gerolstein, *u* unten, *x* und *M* vergrößerte Zelle.
40. 41 desgleichen pag. 20, daher, Längs- und Querschliffe.
- 42 Favosites bimuratus pag. 21, Devon, Bensberg, *x* und *y* vergrößerte Zellen.
43. 44 desgleichen pag. 22, daher, *z* *NMP* vergrößerte Zellen.
- 45 Favosites Hamiltonensis pag. 23, (1/4) nat. Grösse, Hamiltongruppe, Little Traverse Bay, *y* vergrößerte Zellen.
- 46 Favosites Goldfussii pag. 23, Devon, Rittberg, *x* vergrößerte Schlifffläche.
- 47 Favositenkerne pag. 24, daher, *y* vergrößert.
- 48 Favosites crenatus pag. 24, daher, Kerne: *o* Oberseite *x* vergrößert, *BSZ* vergrößerte Kerne.
- 49 Favosites crinitus pag. 25, daher: *x* vergrößertes Härchen, *M* Mikroskopisch.
- 50 Favosites basalticus pag. 25, Ohiofülle, *o* Oberseite, *x* und *y* vergrößert.
- 51 Favosites Emmonsii pag. 26, Helderberggruppe, Charlestone Landing: *o* oben, *x* und *y* vergrößerte Zellen.

## Erklärung tab. 144.

Fig.

- 1 Favosites hemisphaericus pag. 27, Devon, Ohiofälle, *x* und *y* vergrößerte Zellen.
- 2 Favosites pyriformis pag. 27, Niagaragruppe, Waldron, *o* oben.
- 3 desgleichen pag. 28, daher, *u* Unterende.
- 4 desgleichen pag. 28, daher, verkalkt, *u* Unterende.
- 5 Favosites turbatus pag. 28, Corniferous Limestone, Port Colborne, *x* und *y* vergrößerte Zellen.
- 6 desgleichen pag. 29, Devon, Sandusky, verkalktes Bruchstück.
- 7 Favosites Emmonsii pag. 29, verkieselt, Nordamerika, *x* und *y* vergrößerte Zellen.
- 8 Favosites Canadensis pag. 29, Corniferous Limestone, Port Colborne.
- 9 Favosites placenta pag. 30, Hamiltongruppe, Widder, Copie.
- 10 Favosites elegantula pag. 31, Gothland, *x* vergrößerter Längsbruch.
- 11 Favosites placenta pag. 30, Hamiltongruppe, Widder: *o* oben, *s* seitlich, *u* unten, *a* Anfangsspitze.
- 12 Favosites cf. placenta pag. 31, Silur, Beraun, von oben.
- 13 Favosites Forbesi pag. 32, daher, obere Hälfte.
- 14 Favosites Gothlandicus pag. 32, daher, *x* und *y* vergrößerte Zellen, *s* Längsbruch.
- 15 Favosites cf. Gothlandicus pag. 32, Silur, Conjeprus, Längsschliff, *x* vergrößert.
- 16 Favosites basalticus pag. 32, Devon, Gratz: *s* Seitenbruch, *x* vergrößerte Zellen.
- 17 18 Favosites cristatus pag. 34, Gothland: 18 Querschliff, *x* vergrößert.
- 19 Favosites cervicornis pag. 35, Devon, Bensberg.
- 20 desgleichen pag. 35, daher, *x* vergrößerte Zellen, *y* vergrößertes Unterende.
- 21 desgleichen pag. 36, daher, Bruchstück von der Seite, *x* und *y* vergrößert.
- 22 desgleichen pag. 36, daher: *a* Aussenseite, *q* Querbruch.
- 23 Favosites cristatus pag. 36, Devon, Winterberg.
- 24 Favosites cervicornis pag. 37, Devon, Derbyshire, *x* und *y* vergrößerte Zellen.
- 25 Favosites gracilis pag. 37, Eifelerkalk: *u* unten, *o* oben.
- 26 desgleichen pag. 37, daher, *x* vergrößert, mit Calamopora Spongites.
- 27—29 desgleichen pag. 38, daher, dünne Zweige.
- 30 Favosites cervicornis pag. 38, daher, dreizweigig.
- 31 desgleichen pag. 38, daher, fingerförmig.
- 32 desgleichen pag. 39, daher, vielzweigig.
- 33 desgleichen pag. 39, daher, kleinporig.
- 34 35 Favosites radiformis pag. 39, Helderbergkalk, Ohiofälle, *x* vergrößert.
- 36 37 Favosites limitaris pag. 40, Corniferous Limestone, Port Colborne, *x* und *y* vergrößerte Zellen.
- 38 desgleichen pag. 40, Devon, Eifel, *y* vergrößerter Querschnitt.
- 39 Trachypora ornata pag. 40, Hamiltongruppe, Darien: *q* Querbruch *x* vergrößert, *y* vergrößerte Oberfläche.
- 40 desgleichen pag. 41, daher, *Q* vergrößerter Querbruch.
- 41 desgleichen pag. 41, daher: *q* Querschliff, *z* vergrößerte Oberfläche.
- 42—44 Dendropora elegantula pag. 42, Hamiltongruppe, Widder, *x* und *Q* vergrößert.
- 45 Dendropora explicita pag. 41, Devon, Ferques, Copie.
- 46 47 Striatopora Linnaea pag. 43, Hamiltongruppe, Widder, *x* vergrößerte Zellenmündung.
- 48 Striatopora flexuosa pag. 43, Niagarakalk, *x* Zellen vergrößert, Copie.
- 49 Cladopora Römeri pag. 43, Hamiltongruppe, Widder, *x* vergrößerter Querschliff.
- 50 desgleichen pag. 44, daher, dreizackig, *x* und *y* vergrößert.
- 51 desgleichen pag. 44, daher, Längsschliff, *x* vergrößert.
- 52 desgleichen pag. 44, daher, *x* vergrößerte Knospe in der Gipfelansicht.
- 53 desgleichen pag. 44, daher, *x* vergrößerte Poren.
- 54 desgleichen pag. 45, daher, *xyx* vergrößerte Zellen.
- 55 cf. Millepora repens pag. 45, Silurisches Geschiebe, Satow: *s* seitlich, *o* oben *x* vergrößert.
- 56 Favosites perplexus pag. 46, Kerne aus dem Drift von Ann Arbor, *x* und *y* vergrößert.
- 57 58 Alveolites suborbicularis pag. 46, Devon, Eifel: *x* und *y* vergrößerte Zellen.
- 59 desgleichen pag. 48, daher, *x* vergrößerte Streifen der Hüllmasse.
- 60 desgleichen pag. 48, Devon, Refrath, Stück der Unterseite: *y* vergrößerte Zellenkerne.









## Erklärung tab. 145.

Fig.

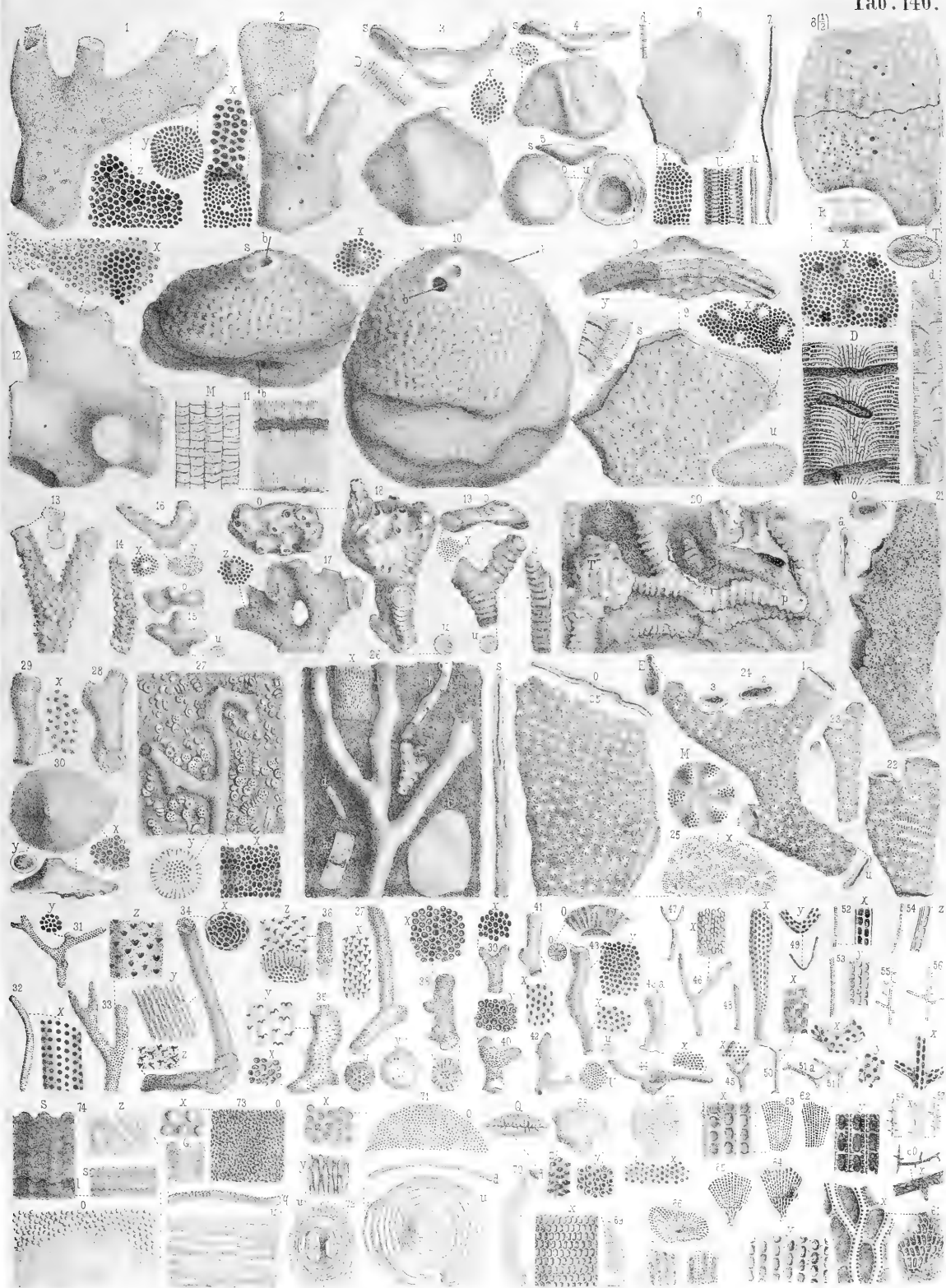
- 1 Alveolites spongiosus pag. 49, Eifelerkalk,  $\frac{1}{2}$  nat. Grösse, aber die Zellen nicht verkleinert,  $x$  vergrösserter Zellenlauf der Unterseite.
- 2 Alveolites crispatus pag. 49, Devon, Paffrath,  $Q$  Querbruch,  $z$  vergrösserte Zellen,  $x$  vergrösserte Oberfläche.
- 3 desgleichen pag. 50, daher, zitzenförmig auf Stromatopora sitzend.
- 4 Alveolites ramosus pag. 50, Devon, Gerolstein, Unterende eines langen Zweiges.
- 5 Alveolites Goldfussii pag. 50, Hamiltongruppe, Widder:  $u$  unten;  $o$  oben,  $x$  vergrössert;  $y$  vergrösserte Röhren mit Querscheidewänden.
- 6 Alveolites laminatus pag. 51, Niagaragruppe, Point Detour, verkieselte Oberseite.
- 7 Alveolites crassus pag. 51, daher:  $s$  seitlich,  $x$  vergrössert;  $o$  oben,  $y$  vergrösserte Zellen unten.
- 8 Alveolites Fisheri pag. 52, Hamiltongruppe, Widder,  $x$  vergrösserte Zellen.
- 9 desgleichen pag. 52, daher,  $y$  vergrösserte Zellen,  $z$  vergrösserter Querschnitt.
- 10 Calamopora spongites Berannensis pag. 52, Silur, Beraun:  $x$  vergrösserte Poren,  $T$  noch stärker vergrössert;  $Q$  Querschliff unten  $m$  mit Heliolites megastoma,  $y$  vergrösserte Maschen.
- 11 Tetradium fibratum pag. 53, Cincinnati-Gruppe, Madison,  $xyz$  vergrösserte Röhren.
- 12 Protaræa vetusta pag. 54, Trentonkalk, Cincinnati, auf Leptæna alternata:  $D$  Dicke,  $x$  vergrösserte Zellen.
- 13 desgleichen pag. 54, Hudsonsrivergruppe, auf Pleurotomaria subconica:  $i$  Innenseite,  $y$  vergrösserte Zellen.
- 14 Agaricia Swinderniana pag. 55, Gothland:  $o$  oben,  $u$  unten,  $xyz$  vergrösserte Zellen;  $dD$ ,  $eE$ ,  $B$  vergrösserte Theile.
- 15 Favosites radiatus pag. 57, Hamiltongruppe, New-York, Copie.
- 16 Alveolites stellifer pag. 57, Niagaragruppe, Point Detour,  $x$  und  $y$  vergrösserte Zellen.
- 17—22 Bolboporites mitralis pag. 58, Vaginatenkalk, Petersburg.
- 23 desgleichen pag. 59, daher, vergrösserte Oberfläche.
- 24 Dania Saxonica pag. 60, Harsleben?  $o$  oben,  $s$  seitlich,  $u$  unten,  $xyw$  vergrösserte Zellentheile.
- 25 Favosites maximus pag. 61, Silur, Holmestrand, verschiedene Ansichten von Zellen.
- 26 Michelinia favosa pag. 61, Bergkalk, Tournay, drei Ansichten,  $x$  vergrösserte Zelle;  $y$  vergrösserter Stachel.
- 27 desgleichen pag. 62, daher, Seitenansicht;  $c$  Copie einer Zelle.
- 28 Michelinia megastoma pag. 63, Bergkalk, Kendal,  $u$  unten,  $x$  vergrösserte Zellenstücke,  $C$  Copie einer Zelle mit Querwändchen.
- 29 Michelinia convexa pag. 64, Corniferous Limestone, Port Colborne, drei Ansichten  $ous$ ,  $x$  vergrösserte Zellen.
- 30 Michelinia cylindrica pag. 65, Devonian, Ohiofälle:  $o$  oben,  $s$  seitlich,  $x$  vergrösserte Zellenwand von innen.
- 31 Favosites explanatus pag. 66, daher:  $o$  oben,  $z$  vergrössert;  $s$  seitlich,  $x$  vergrössert;  $u$  unten,  $y$  vergrössert.
- 32 Chætetes radians pag. 68, Bergkalk, Moskau:  $s$  seitlich,  $o$  oben;  $q$  Querbruch,  $Q$  vergrössert;  $xy$  vergrösserte Röhren.
- 33 Chætetes dilatatus pag. 68, daher,  $x$  vergrösserte Parthie.
- 34 Chætetes humilis pag. 69, Devon, Sandusky:  $q$  Querbruch,  $Q$  vergrössert;  $y$  vergrösserte Röhren.
- 35 Chætetes capilliformis pag. 70, Coralrag, Châtel-Censoir:  $o$  Oberfläche,  $O$  vergrössert;  $x$  vergrösserte Röhren.

## Erklärung tab. 146.

Fig.

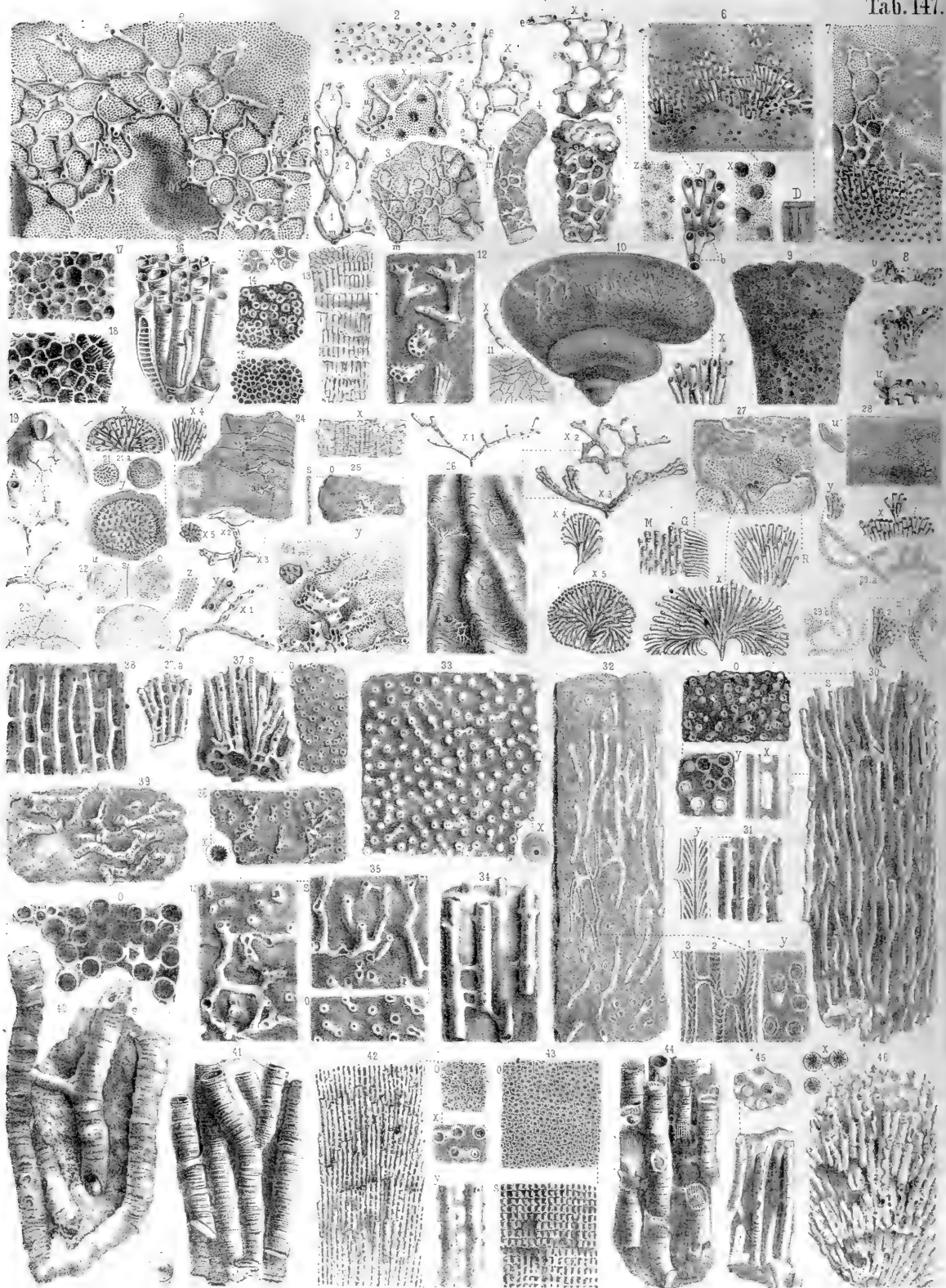
- 1 *Chaetetes Lycoperdon* pag. 71, Cincinnatigruppe, *y* vergrößerte Astbruchfläche, *z* vergrößerte Oberfläche.
- 2 desgleichen pag. 71, daher, *x* vergrößerte Oberfläche, oben mit Alveoliten bedeckt.
- 3 *Chaetetes frondosus* pag. 71, Cincinnatigruppe, Madison: *x* vergrößerter Buckel, *D* vergrößerte Dicke.
4. 5 desgleichen pag. 72, daher, *x* vergrößertes Röhrenloch.
6. 7 *Chaetetes pavonia* pag. 73, daher, *d* Dicke, *x* vergrößerte Oberfläche, *u* Querbruch, *U* derselbe vergrößert.
- 8 *Chaetetes frondosus* pag. 73, daher, ( $\frac{1}{2}$ ) natürliche Grösse, aber die Poren nicht verkleinert: *R* Randdicke; *d* Dicke, *D* dieselbe vergrößert; *x* vergrößerte Oberfläche; *T* vergrößerter Stiel.
- 9 *Ch. frond. limatus* pag. 74, Cincinnati: *x* und *y* vergrößert, *u* abgebrochenes Unterende.
- 10 *Chaetetes mammulatus* pag. 75, Cincinnatigruppe, Indiana: *o* oben, *s* seitlich, *x* vergrößerte Warze, *b* Borsten.
- 11 desgleichen pag. 76, daher, Querschnitt einer grossen Platte, *M* vergrößert.
- 12 desgleichen pag. 76, Cincinnati, *x* vergrößerte Oberfläche.
13. 14 *Chaetetes ramosus* pag. 77, daher, *x* vergrößerter Buckel mit Callus.
15. 16 desgleichen pag. 77, daher, glattere Varietäten, *y* vergrößertes Unterende.
17. 18 desgleichen pag. 77, daher, *z* vergrößerte Warze, *o* Oberende, *u* Anfang.
- 19 *Chaetetes rugosus* pag. 78, daher: drei Ansichten: *u* unten, *x* vergrößerte Poren.
- 20 desgleichen pag. 78, daher, Stück eines grossen Stockes: *A* Aulopora arachnoidea, *T* Schmarotzer.
- 21—25 *Chaetetes constellatus* pag. 79, daher, verschiedene Formen, *x* und *M* vergrößerte Sterne.
- 26 *Chaetetes laviramus* pag. 81, daher: *x* vergrößerte Zellen, *a—e* verschiedene Fetzen.
- 27 *Chaetetes Fletscheri* pag. 83, Hudsonsriegruppe, Cincinnati: *x* vergrößerte Form, *y* vergrößerter Querschnitt.
28. 29 *Chaetetes Goldfussii* pag. 83, Devon, Eifel, *x* vergrößerte Poren.
- 30 *Chaetetes radiceformis* pag. 83, Devon, Kerpen: *x* vergrößerte Zellen, *y* vergrößerter Stielbruch.
31. 32 *Chaetetes seriatoporoides* pag. 84, Dudley, *x* und *y* vergrößerte Poren.
- 33 *Chaetetes interpuncta* pag. 84, Dudley, *z* vergrößertes Zweigstück.
- 34—36 *Chaetetes apicalis* pag. 85, Dudley, *x y z* vergrößerte Theile.
- 37 *Chaetetes sagittatus* pag. 86, Dudley: *u* unten, *x* und *y* vergrößerte Theile.
- 38—40 *Chaetetes cyclosus* pag. 87, Dudley, *x* und *y* vergrößerte Zellen.
41. 42 *Chaetetes nudus* pag. 87, Dudley, *x* vergrößerte Zellen.
- 43 *Chaetetes anguiformis* pag. 88, Dudley: *o O* oben, *u U* unten, *x* und *y* vergrößerte Poren; 43. *a* Wurzelstück.
44. 45 *Chaetetes bovicornis* pag. 88, Dudley, *x* vergrößerte Zellen.
46. 47 *Ceripora affinis* pag. 89, Dudley, *x* vergrößerte Zellen.
- 48 *Chaetetes clavatus* pag. 90, Dudley, *x* vierfach vergrößert.
49. 50 *Ceripora granulosa* pag. 90, Dudley, *x* und *y* vergrößerte Zellen.
- 51 *Ceripora oculata* pag. 90, Dudley: 51. *a* abgerieben, *x* und *y* vergrößerte Zellen.
- 52—56 *Glauconome disticha* pag. 91, Dudley, einfache und verzweigte Äste in verschiedenen Lagen.
57. 58 *Glauconome* pag. 92, Dudley, von der Unterseite?
- 60 *Axe von Rindenkorallen?* pag. 92, Dudley.
- 61 *Fenestella antiqua* pag. 92, Dudley, *x* vergrößerte Oberseite.
62. 63 *Fenestella prisca* pag. 92, Dudley: *x* vergrößerte Unter- und *y* Oberseite.
- 64—66 *Fenestella millepunctata* pag. 93, Dudley, *x* und *y* vergrößerte Zellen.
67. 68 *Cellepora fava* pag. 93, Dudley, *x y z* vergrößerte Zellen der Oberseite.
69. 70 *Escharopora recta* pag. 94, Trentonkalk, Cincinnati, *Q* und *x* vergrößert.
- 71 *Lichenalia concentrica* pag. 95, Niagaragruppe, Waldron: *u* unten, *o* oben; *x* vergrößerte Zellen; *d* Dicke.
- 72 desgleichen pag. 96, daher, Unterseite *u*, *y* vergrößerte durchscheinende Zellen.
- 73 *Labechia conferta* pag. 96, Gothländerkalk: *o* oben, *x* vergrößerte Warzen; *u* unten, *q* Querschliff, *Q* vergrößert.
- 74 desgleichen pag. 97, daher: *o* oben; *s* seitlich, *S* vergrößert; *z* Unterseite vergrößert.











## Erklärung tab. 147.

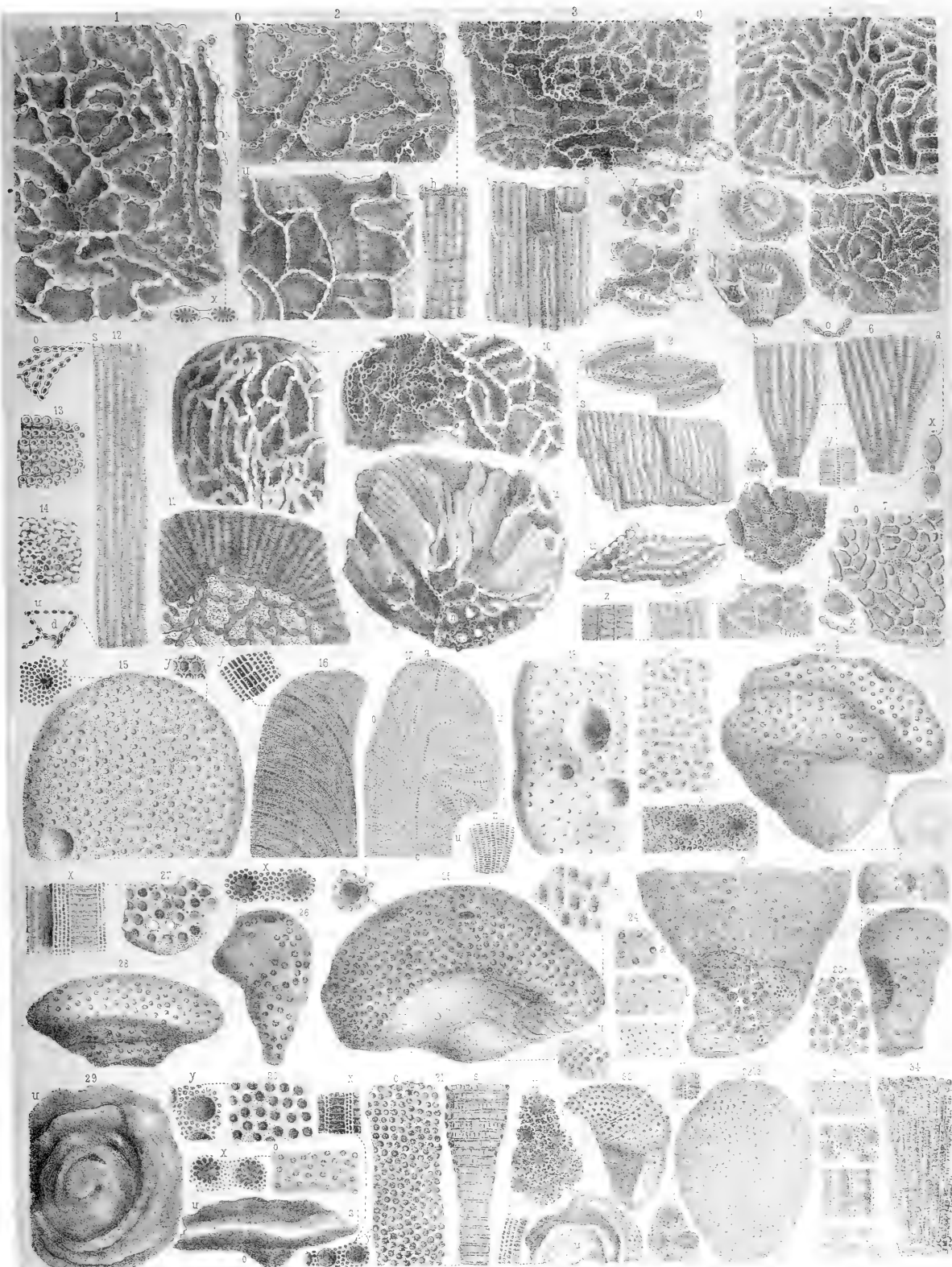
Fig.

- 1 Aulopora serpens pag. 98, Devon, Bensberg auf Calamopora spongites, *M* Mutterzelle, *e* Endzellen.
- 2 Aulopora serpens. gracilis pag. 100, daher, auf Astraea porosa, *m* Mutterzellen; *x* vergrößert.
- 3 Aulopora serpens. minor pag. 101, daher, auf Calamopora spongites, *x* drei Maschen vergrößert.
- 4 desgleichen pag. 101, daher, auf Cyathophyllum caespitosum, *x* ein Stück vergrößert.
- 5 Aulopora serpens pag. 101, daher, *x* vergrößert, auf Cyathophyllum oben bedeckt von Stromatopora.
- 6 Aulopora serpens. associata pag. 102, daher, Dicke, von Stromatopora (*x* vergrößert) bedeckt; *y* vergrößerte Zellen mit Blindzellen *b*, *z* vergrößerte Astraea porosa.
- 7 Aulopora serpens. acervata pag. 102, daher, auf Stromatopora.
- 8 Aulopora conglomerata pag. 103, daher, von drei Seiten.
- 9 Aulopora emergens pag. 103, Devon, Rittberg auf Cyathophyllum.
- 10 Aulopora spicata minor pag. 103, daher, auf Euomphalus cameratus, *x* vergrößerte Zellen.
- 11 Aulopora arachnoidea pag. 104, Trentonkalk, Copie.
- 12 Quenstedtia umbellifera pag. 104, Corniferous Limestone, Port Colborne, Copie.
- 13—15 Cannopora junciformis pag. 105, Clintongruppe, Ontario, *x* und *y* vergrößerte Zellen, Copie.
- 16 Fletcheria tubifera pag. 105, Silur, Gothland, Copie.
- 17 Columnaria alveolata pag. 106, Trenton group, Huronsee, Copie.
- 18 Columnaria stellata pag. 106, Niagara group, Point Detour, Copie.
- 19 Aulopora dichotoma pag. 107, Weisser Jura  $\gamma$ , Weissenstein, auf Terebratulula bisulfarcinata, *x* vergrößert, *a* Mutterzelle (*A* vergrößert).
- 20 Aulopora intermedia pag. 108, Weisser Jura  $\alpha$ , Böllert, *y* vergrößert.
- 21 Cellepora orbiculata pag. 108, daher, *x* und *y* vergrößert.
- 22 Cellepora orbic. ornati pag. 109, Ornatenthon, Pfullingen, von drei Seiten.
- 23 Cellepora orbiculata pag. 109, Weisser Jura  $\gamma$ , Gosbach, *z* vergrößerte Zellen.
- 24 Aulopora divaricata pag. 109, Hilsthon, Rautenberg auf Austerschalen:  $x_1 x_2 x_3$  vergrößert;  $x_4$  flabelliformis ( $x_1$  vergrößert);  $x_5$  polystoma ( $x_5$  vergrößert); *y* stark vergrößert.
- 25 Aulopora crassa pag. 110, daher, auf Chaetetes lammula: *s* Dicke, *y* vergrößerte Oberseite, *x* vergrößerte Unterseite.
- 26 Auloporen des Braunen Jura  $\delta$  pag. 111, Aalen, auf Ostrea cristagalli,  $x_1 x_2 x_3 x_4 x_5$  verschiedene vergrößerte Gestalten von dichotoma, compressa etc.
- 27 Aulopora flabellulata pag. 112, Brauner Jura  $\delta$ , Dettingen, auf Ostrea eduliformis, *x* *RMG* vergrößerte Parthieen.
- 28 Aulopora liasica pag. 113, Lias  $\delta$ , Heiningen, auf Belemnites: *x* vergrößerte Zellenparthie, *u* vergrößerte Zellenbasis.
- 29 desgleichen pag. 113, auf Ammonites Jurensis, *a b* zwei Stück, *y* und *z* vergrößerte Zellen.
- 30 Syringopora reticulata pag. 114, Bergkalk, St. Louis: *o* Oberseite, *x* und *y* vergrößerte Zellen.
- 31 Syringopora ramulosa pag. 116, Bergkalk, Olne, *y* vergrößertes Innere, Copie.
- 32 Syringopora cf. reticulata pag. 116, Bergkalk, *x* und *y* vergrößerte Röhren.
- 33 Syringopora perelegans pag. 117, Corniferous Limestone, Westcanada, verkieselte Oberseite, *x* vergrößerte Zelle.
- 34 Syringopora verticillata pag. 117, Niagara group, Drummond's Island, Copie.
- 35 desgleichen pag. 118, daher, verkieselt im Dolomit.
- 36—38 Syringopora bifurcata pag. 119, Gothländerkalk: *o* Oberseite, *s* seitlich halbgewendet, *x* vergrößerte Zelle; 38 Copie.
- 39 desgleichen pag. 120, Dudleykalk, Copie.
- 40 Syringopora nobilis pag. 118, Corniferous Limestone, aus dem Drift von Ann Arbor: *o* oben, *s* seitlich, Copie.
- 41 Syringopora abdita pag. 119, Devon, Nehou, Copie.
- 42 Syringopora Hisingeri pag. 120, Corniferous Limestone, im Drift bei Ann Arbor: *o* oben *x* und *y* vergrößert.
- 43 Syringopora tabulata pag. 120, Devon, Sandusky, verkalkt, *o* oben, *s* seitlich.
- 44 Lithostrotion Harmodites pag. 121, Bergkalk, Nordamerika, Copie.
- 45 Syringopora multicaulis pag. 122, Niagarakalk, Lockport, Copie.
- 46 Syringopora Glockeri pag. 122, Karpathensandstein, Klein-Bistriz.

## Erklärung tab. 148.

Fig.

- 1 *Catenipora catenulata* pag. 126, Niagara group, Point Detour,  $x$  vergrösserte Zellen, erstes Calibre.
- 2 desgleichen pag. 127, daher,  $o$  oben,  $u$  unten,  $h$  seitliche Höhe: zweites Calibre.
- 3 desgleichen pag. 128, daher:  $o$  oben, und  $u$  Stück von unten durch den Spiegel gezeichnet,  $s$  seitlich,  $x$  vergrösserte Parthie; drittes Calibre.
- 4 desgleichen (escharoides) pag. 129, daher,  $c$  eine topfförmige Vertiefung;  $r$  und  $s$  Ansichten eines umhüllten Cyathophyllen (*Streptelasma*); viertes Calibre.
- 5 desgleichen pag. 130, daher, Oberseite, fünftes Calibre.
- 6 *Catenipora catenulata* pag. 130, Gothländerkalk, Bruchstücke eines grossen Stockes:  $o$  oben,  $x$  vergrössert;  $y$  vergrösserter Längsschliff.
- 7 desgleichen pag. 131, daher,  $o$  oben,  $u$  unten,  $x$  vergrössert, kleines Calibre.
- 8 desgleichen pag. 131, daher:  $o$  oben,  $x$  vergrösserte Zelle;  $u$  unten,  $y$  vergrösserte Seite;  $z$  vergrösserter Dünnschliff.
- 9 *Catenipora catenulata* pag. 132, Norddeutsches Geschiebe (Lyckholmschichten):  $o$  oben,  $s$  seitlich;  $u$  unten durch den Spiegel.
- 10 desgleichen (*globata*) pag. 133, aus der Sandgrube von Parchwitz:  $u$  unten,  $o$  Stück von oben,  $s$  seitlich.
- 11 desgleichen pag. 134, Geschiebe von Satow von unten.
- 12 *Catenipora catenulata* pag. 134, Silurisch, Beraun:  $s$  seitlich,  $o$  oben,  $u$  unten.
- 13 *Catenipora agglomerata* pag. 135, Niagaragruppe, Copie.
- 14 *Catenipora compacta* pag. 135, daher, Copie.
- 15 *Heliolites porosa* pag. 138, Eifelerkalk, Bensberg:  $x$  vergrösserte Sternzelle,  $y$  stark vergrössertes Zwischengewebe.
16. 17 desgleichen pag. 139, daher, Querbrüche.
- 18 desgleichen pag. 139, daher, Bruchstück mit Trichtern.
- 19 *Heliolites porosa* pag. 140, daher, mit grössern Zellen,  $x$  vergrössert.
- 20 *Heliolites porosa* pag. 140, daher, auf *Cyathophyllum turbinatum* ( $1/2$ ) nat. Grösse, aber die Zellen nicht verkleinert.
- 21 *Heliolites porosa* pag. 141, Devon, Rittberg,  $o$  oben.
- 22 desgleichen pag. 141, daher, auf *Battersbyia* sitzend.
- 23 *Battersbyia inaequalis* pag. 141, Devon, Teignmouth, Copie.
- 24 *Heliolites porosa* pag. 142, Devon, dreierlei Calibre  $a b c$ , Copie.
- 25 *Heliolites interstincta* pag. 142, Gothländerkalk:  $u$  untere Spitze,  $g$  verwitterte Gegenseite,  $l$  Trichter von oben.
- 26 desgleichen pag. 143, daher, stark abgerollt,  $x$  vergrösserte Zellen.
- 27 *Heliolites megastoma* pag. 143, Geschiebe von Satow,  $x$  vergrösserte Seitenansicht.
- 28 *Heliolites interstincta* pag. 143, Geschiebe von Sadewitz, vollständiger Stock von der Seite.
- 29 *Heliolites cf. Murchisoni* pag. 144, Silur, Beraun:  $u$  unten,  $o$  oben,  $s$  seitlich;  $x$  vergrösserte Zellen.
- 30 *Heliolites megastoma* pag. 144, daher,  $y$  vergrösserte Zelle.
- 31 desgleichen pag. 145, daher:  $o$  oben,  $s$  seitlich;  $x$  und  $y$  vergrösserte Zellen.
- 32 *Plasmopora scita* pag. 145, Mittleres Uebergangsgebirge, Gothland:  $o$  oben,  $u$  unten,  $x$  und  $y$  vergrösserte Parthieen.
- 33 *Plasmopora Beraunensis* pag. 146, Silur, Beraun, Oberseite eines grossen Stockes, ( $1/3$ ) nat. Grösse, aber die Zellen nicht verkleinert;  $x$  und  $y$  vergrösserte Zellen.
- 34 desgleichen pag. 146, daher,  $o$  oben,  $x$  vergrössert:  $y$  und  $q$  vergrössert.











## Erklärung tab. 149.

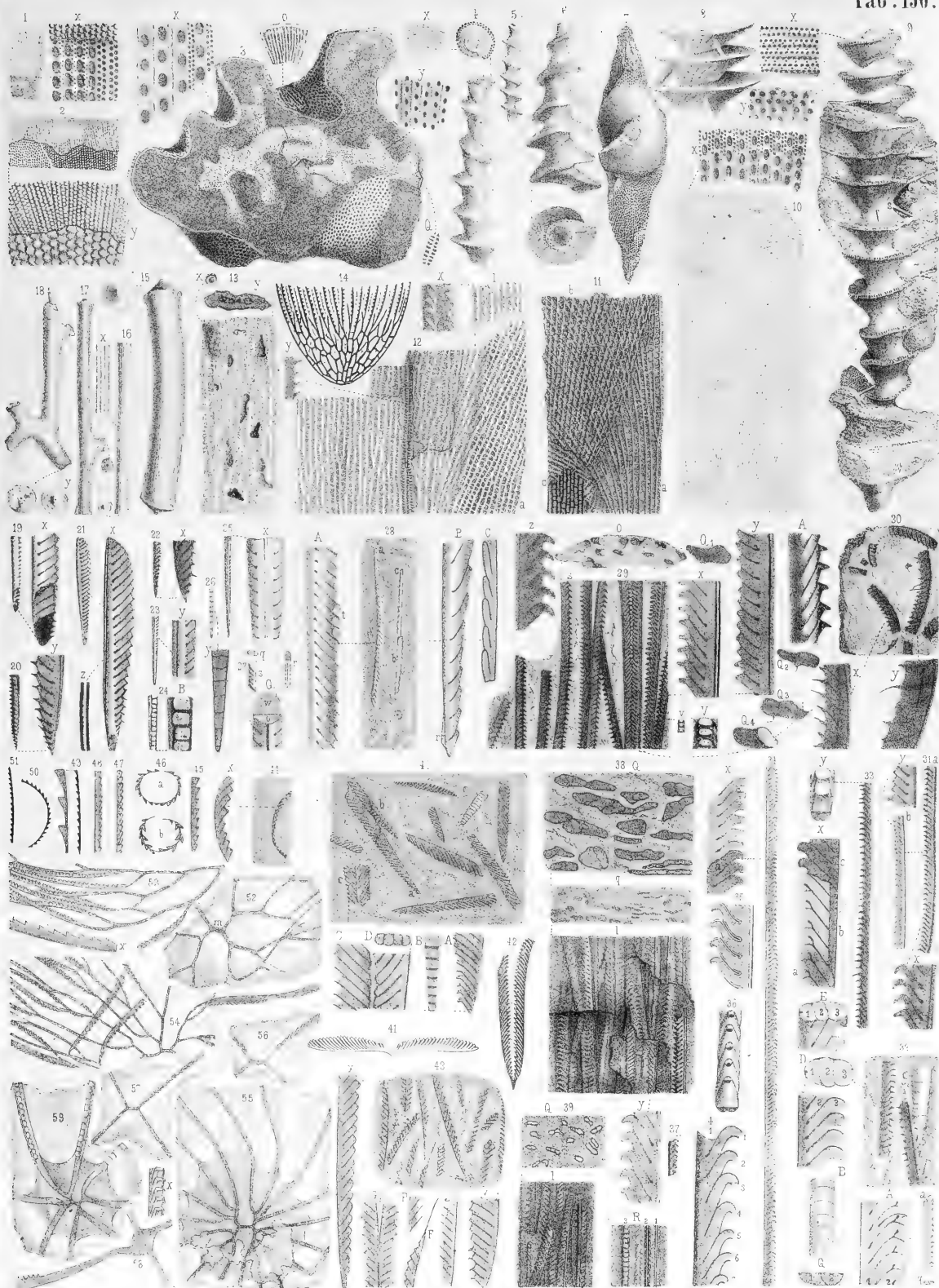
Fig.

- 1 Plasmopora follis pag. 147, Niagara gruppe, Tennessee,  $x$  vergrößert.
- 2 Heliolites Grayi pag. 147, Silur, Gothland:  $o$  oben,  $s$  seitlich,  $x$  vergrößerte Zellen.
- 3 desgleichen pag. 148, daher:  $a$  und  $b$  Querschliffe,  $z$  vergrößert.
- 4 desgleichen pag. 149, daher:  $x$  und  $y$  vergrößerte Parthien.
- 5 Heliolites macrostylus pag. 149, Niagara group, Point Detour:  $o$  oben,  $s$  seitlich.
- 6 desgleichen pag. 150, daher, verwitterte Seitenansicht (Lyellia Americana).
- 7 Lyellia papillata pag. 150, daher:  $o$  oben,  $s$  seitlich; vergrößerte Zellen  $x$  von oben und  $y$  von unten.
- 8 desgleichen pag. 151, daher, kleiner Stock von der Unterseite.
- 9 Lyellia parvituba pag. 151, daher, Oberseite, Copie.
- 10 Calapocia Huronica pag. 151, Hudsonriver group, Drummonds Island,  $x$  vergrößerte Zellen.
- 11 Plasmopora petaliformis pag. 152, Dudleykalk, vergrößerter Schliff, Copie.
- 12 Propora tabulata pag. 152, daher, vergrößerter Schliff, Copie.
- 13 Fistulipora minor pag. 152, Bergkalk, Derbyshire, Copie.
- 14 Heliopora bipartita pag. 154, Tertiär, Berchtesgaden,  $x$  vergrößerte Zellen,  $z$  desgleichen mit Axe.
- 15 desgleichen pag. 154, daher:  $o$  Querbruch,  $x$  vergrößert;  $y$  vergrößerte Oberfläche.
16. 17 Heliopora bipart. seriata pag. 155, daher,  $x$  vergrößerte Zelle.
- 18 Heliopora bipart. micropora pag. 154, daher: vergrößerte Zellen  $x$  auf der Oberseite,  $y$  unten.
- 19 Heliopora bipart. sparsipora pag. 156, daher: vergrößerte Oberfläche  $x$  und vergrößerter Querbruch  $y$ .
- 20 Keratophytes dubius pag. 159, Zechsteindolomit, Glücksbrunn, Copie.
- 21 Keratophytes virgulaceus pag. 161, Zechsteindolomit, Humbleton, von der Aussenseite,  $y$  vergrößerter Zweig;  $x$  Abdruck der Innenseite.
- 22 desgleichen pag. 161, daher, Innenseite  $i$  und Abdruck  $a$  der äussern,  $x$  vergrößert.
- 23 desgleichen pag. 162, daher, Zellenkerne im Gestein, 1. 2. 3 vergrößert,  $i$  innen,  $a$  aussen.
- 24 Synocladia virgulacea pag. 162, daher, vergrößert, Copie.
- 25 desgleichen pag. 162, Zechstein, Tunstall hill:  $x y z$  vergrößerte Zellen.
- 26 Keratophytes anceps pag. 163, Zechsteindolomit, Glücksbrunn, Copie.
- 27 desgleichen pag. 163, Rössen,  $a-c$  vergrößert;  $d$  und  $e$  vergrößerter retiformis pag. 165.
- 28 Keratophytes retiformis pag. 164, Zechsteindolomit, Humbleton,  $x$  vergrößert,  $y$  vergrößerte Zellenkerne.
- 29 Fenestella Ehrenbergi pag. 165, Zechsteindolomit, Glücksbrunn,  $u$  von unten projicirt.
- 30 Keratophytes anceps pag. 166, Humbleton,  $a b$  vergrößert; retiformis  $c d$  vergrößert.
- 31 Gorgonia ripisteria pag. 166, Bergkalk, Visé,  $x$  vergrößerte Masche.
- 32 desgleichen pag. 167, Bergkalk, Ratingen,  $y$  vergrößert.
- 33 Gorgonia infundibuliformis pag. 167, Bergkalk, Irland,  $z$  vergrößerter abgekratzter Stab.
- 34 Fenestella plebeja pag. 167, Bergkalk, Glasgow,  $x$  vergrößert.
- 35 Fenestella Martis pag. 168, Bergkalk, Moskau,  $x$  vergrößert.
- 36 Fenestella Veneris pag. 168, daher.
- 37 Polypora dendroides pag. 168, Bergkalk, Ayrshire,  $x A B$  Vergrößerungen.
- 38 Glaucome pulcherrima pag. 169, Bergkalk, Glasgow,  $x$  vergrößert.
- 39 Polypora dendroides pag. 169, daher, mit Keratophytes anceps,  $y$  vergrößert.
- 40 Glaucome gracilis pag. 169, Bergkalk, Ayrshire.
- 41 Retepora antiqua pag. 169, Devon, Eifel,  $x$  vergrößerte Zellen von der Gegenseite, verkalkt.
- 42 Gorgonia infundibuliformis pag. 170, Devonische Grauwacke, Lüdenscheld;  $o$  und  $u$  vergrößerte Parthien.
- 43 Gorgonia prisca pag. 170, Grauwacke, Hof, Abdruck und Schale.
- 44 desgleichen pag. 170, Devonischer Kalk, Rittberg.
- 45 Gorgonia prisca pag. 171, Obersilur, Litten, Abdruck im weissen Kalkstein.
- 46 desgleichen pag. 171, daher, von der Seite:  $R$  vergrößerte Rinde  $r$ .
- 47 Gorgonia ripisteria pag. 171, daher, Bruchstück eines Trichters.
- 48 desgleichen pag. 172, daher, Randstück.
- 49 Gorgonia antiqua pag. 172, daher,  $x$  vergrößertes Stück mit Thierrest.
- 50 desgleichen pag. 172, daher, mit wohl erhaltenen Maschen.
- 51 Gorgonia sp. ind. pag. 172, daher,  $x$  vergrößert:  $h H$  Haut,  $a A$  Abdruck.

# Erklärung tab. 150.

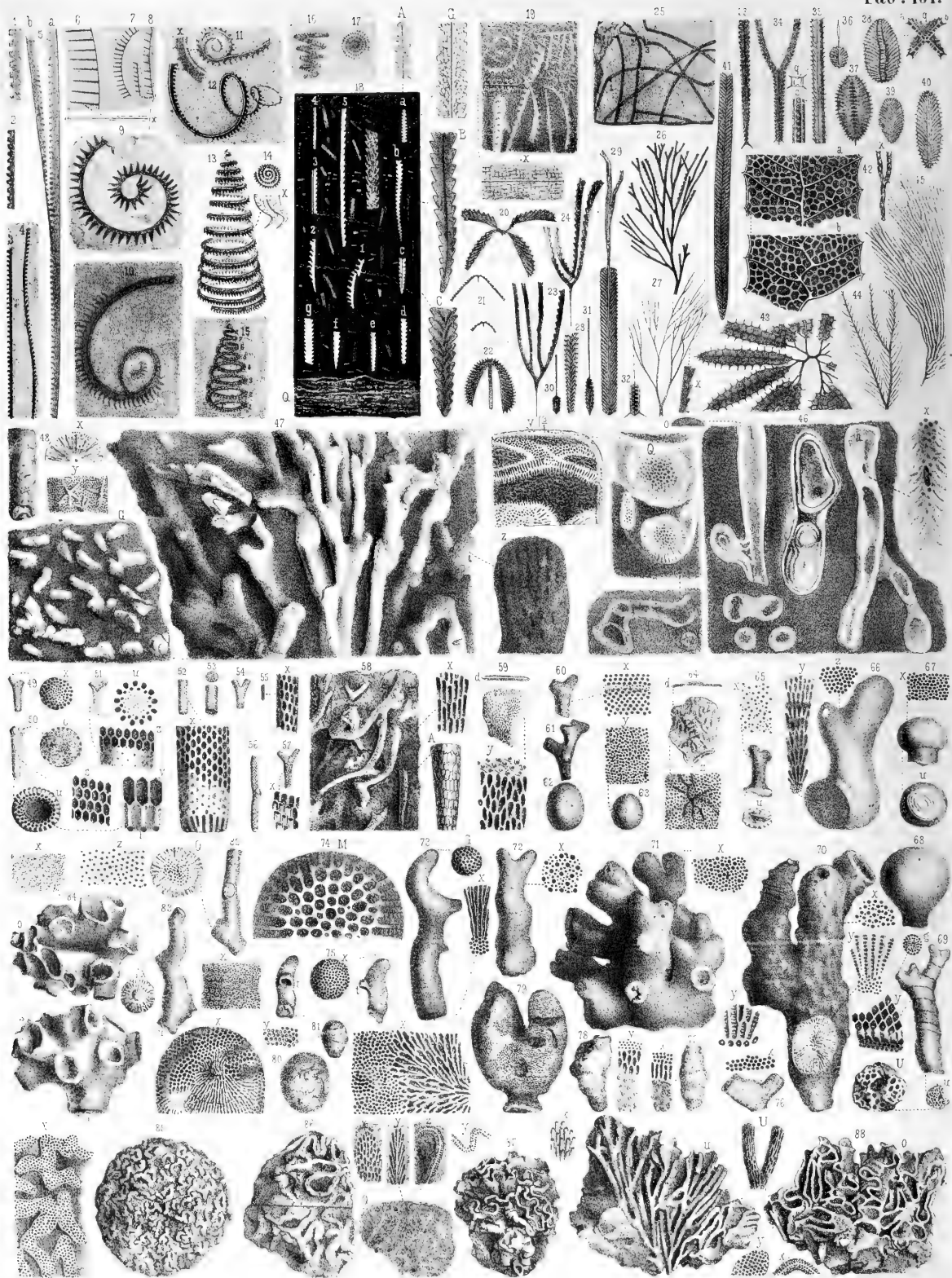
Fig.

- 1 Keratophytes retiformis pag. 173, Silur, Conjeprus,  $x$  vergrößert.
- 2 Keratophytes ret. disparilis pag. 173, Grauwacke, Lüdenscheid,  $y$  vergrößert.
- 3 Fenestella incongruens pag. 173, Helderberggruppe, Sandusky:  $x$  vergrößerte Porenlage,  $o$  vergrößerte Aussenseite.  $S$  Stictopora crispata,  $Q$  vergrößerter Querschnitt,  $y$  vergrößerte Oberfläche.
- 4—6 Retepora Archimedes pag. 174, Bergkalk, Warsaw, Axen,  $x$  vergrößerte Spirallinien auf der Spindel.
- 7 desgleichen pag. 176, daher, Spindelende mit Gitternetz.
- 8 desgleichen pag. 175, daher, Kalkstützen der Spindel, Copie.
- 9 desgleichen pag. 176, daher, grosse Spindel mit Gitter und Kalkstützen  $s$ ;  $x$  und  $y$  vergrößerte Fläche der Ober- und Unterseite.
- 10 desgleichen pag. 177, daher, Stück eines grossen Gitters,  $x$  vergrößert.
- 11 Gorgonia flabelliformis pag. 179, Alaunschiefer, Norwegen,  $abc$  verschiedene Lagen.
- 12 desgleichen pag. 180, daher: drei Lagen  $abc$ ,  $d$  Graptolithenzähne,  $x$  und  $y$  vergrößert.
- 13 desgleichen pag. 180, daher, mit Löchern voll Mulm,  $x$  und  $y$  vergrößert.
- 14 Dictyonema flabelliforme pag. 180, ideales Bild, Nordisches Geschiebe, Copie.
- 15—18 Isis Melitensis pag. 181, Messina, alte Meeresablagerungen.
19. 20 Graptolithus serratus pag. 189, Geschiebe, Berlin.
21. 22 desgleichen pag. 189, Geschiebe, Sorau,  $z$  vergrößerte Axe.
23. 24 desgleichen pag. 190, daher, vom Rücken  $y$  und Bauch  $B$  her vergrößert.
25. 26 desgleichen pag. 190, Geschiebe, Berlin, vom Rücken,  $x$  und  $y$  vergrößert.
- 27 desgleichen pag. 191, daher:  $s$  Seite,  $r$  Rücken,  $q$  Querbruch  $Q$  vergrößert,  $w$  Wand;  $o$  Öffnung.
- 28 desgleichen 191, daher,  $ABC$  vergrößert, unten kleine Orthoceriten.
- 29 Graptolithus Ludensis pag. 192, Geschiebe, Malchin:  $s$  seitlich,  $o$  oberer Querschliff,  $Q_1$ — $Q_4$  vergrößert;  $v$  ( $V$  vergrößerte) Bauchseite;  $xyzA$  vergrößerte Stäbchen.
- 30 Grapt. Ludensis arcuatus pag. 194, Geschiebe, Sorau,  $x$  und  $y$  Vergrößerungen.
- 31 Graptolithus Ludensis pag. 194, daher,  $x$  und  $y$  vergrößert.
- 32 desgleichen pag. 194, Dudleykalk:  $a$  ( $A$  vergrößerter) Längsschliff;  $Q$  vergrößerter Querschnitt;  $B$  vergrößerter Schliff von der Bauchseite;  $C$  vergrößerte Seitenansicht mit Querschnitt  $D$ ;  $E$  Querschnitt halb gewendet.
- 33 Graptolithus priodon pag. 196, Silur, Prag:  $x$  vergrößert,  $y$  von der Bauchseite vergrößert.
- 34 desgleichen pag. 196, daher, gedrückt,  $x$  vergrößert.
35. 36 desgleichen pag. 197, daher, Copien.
- 37 desgleichen pag. 197, daher, vierfach vergrößert.
- 38 desgleichen pag. 197, daher:  $y$  vergrößert,  $q$  ( $Q$  vergrößerter) Querschnitt,  $l$  Längsbruch.
- 39 desgleichen pag. 198, daher:  $Q$  Querbruch,  $l$  Längsbruch,  $R$  Rücken.
- 40 Graptolithus colonus pag. 198, Silurisch, Prag:  $ABCD$  Vergrößerungen von  $abc$ .
- 41 Graptolithus pennatulus pag. 199, Canada, Copie.
- 42 Graptolithus Murchisoni pag. 199, Dudley, Copie.
- 43 Graptolithus colonus pag. 200, Geschiebe, Münsterberg:  $xyzFGP$  vergrößerte Theile.
- 44 Graptolithus scalaris pag. 201, Geschiebe, Ostsee,  $x$  vergrößert.
- 45 desgleichen pag. 201, ideales Bild.
- 46 Graptolithus scalaris pag. 201,  $a b$ , Linne'sche Originale.
- 47 Prionotus sagittarius pag. 202, Alaunschiefer, Schweden, Copie nach Hisinger.
- 48 Monograpsus sagittarius pag. 202, Silur, Langenstriegis, Copie nach Geinitz.
- 49 Monograpsus Nilssoni pag. 202, Silur, Ronneburg, Copie nach Geinitz.
50. 51 desgleichen pag. 202, Silur, Conjeprus, Copie nach Barrande.
52. 53 Graptolithus rigidus pag. 202, Quebecgruppe, Canada, Copie.
- 54 Graptolithus flexilis pag. 202, daher, Copie eines Zweiges.
- 55 Dichograptus Logani pag. 203, daher, Centrum mit Scheibe, Copie.
56. 57 Graptolithus quadribrachiatas pag. 203, daher, Centrum, Copie.
- 58 Graptolithus crucifer pag. 203, daher, Copie.
- 59 Graptolithus octobrachiatas pag. 203, daher, Copie.











## Erklärung tab. 151.

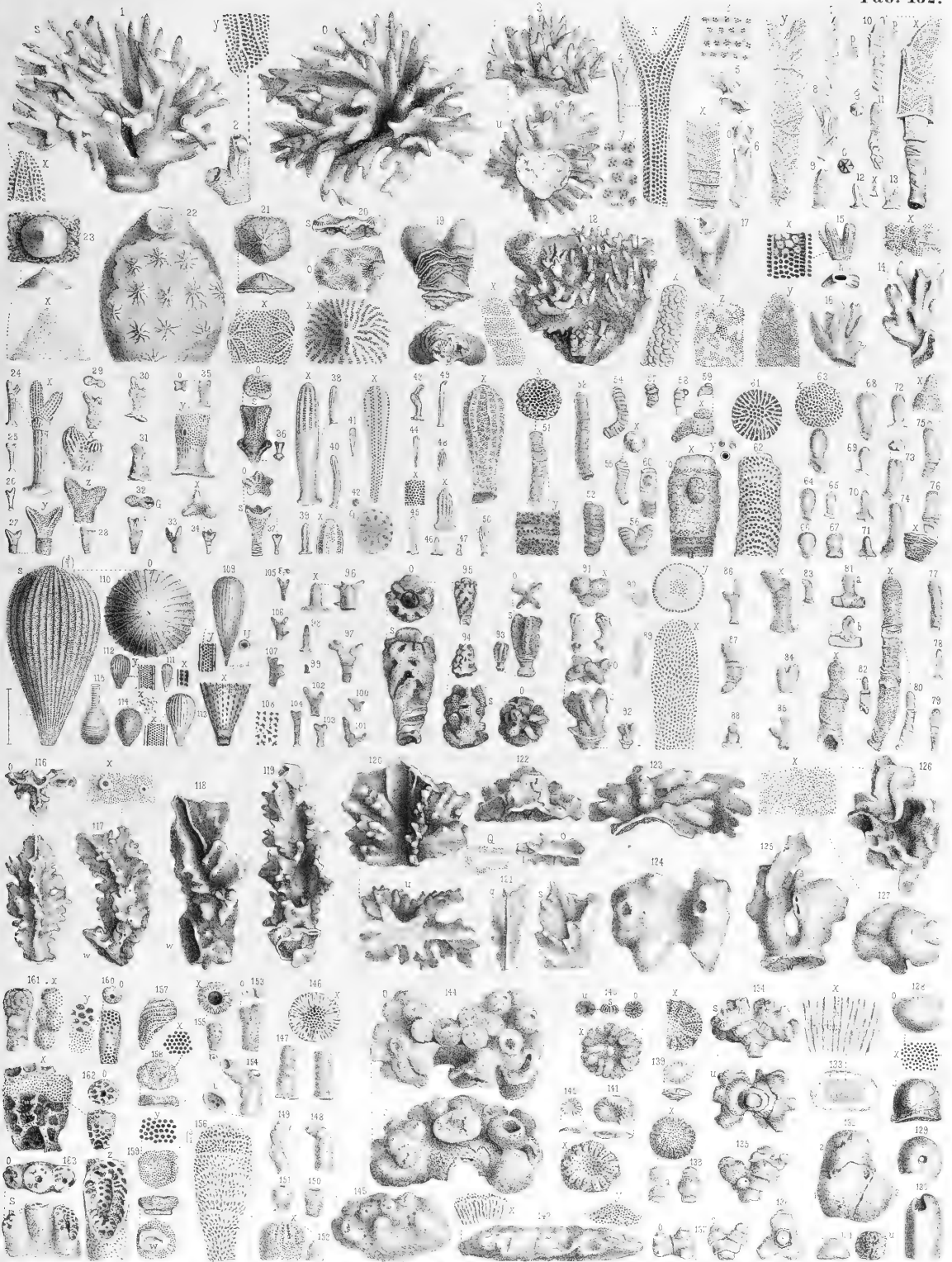
Fig.

- 1 Graptolithus tenuis pag. 204, ideales Bild.
- 2 Graptol. colonus pag. 204, Silur, Böhmen, Copie.
3. 4 Graptol. Becki pag. 204, daher, Copie.
- 5 Graptolithus tenuis pag. 205, daher, zwei convergirende Stämme.
- 6—8 Rastrites pag. 205, daher: 6 Linnæi, 7 peregrinus, 8 fugax;  $x$  vergrößerter Zahn.
- 9 Graptol. convolutus pag. 206, Silur, Furudal, Copie.
- 10 desgleichen pag. 206, Silur, Beraun im schwarzen Schiefer.
11. 12 Graptolithus Proteus pag. 207, daher: 11 Original, 12 Copie.
13. 14 Graptolithus turriculatus pag. 207, Beraun,  $x$  vergrößerte Zacken, Copie.
- 15—17 desgleichen pag. 208, daher, Originale.
- 18 Graptolithen pag. 208 vom Voigtlande: Monograptus triangulatus Nro. 1; millipeda Nro. 2; Nilssoni Nro. 5; Digraptus palmeus  $a A$ ; pristis  $b B$  etc.
- 19 Graptolithen pag. 210, Thonschiefer, Hof.
- 20 Didymograptus bryonoides pag. 211, Canada, Copie.
- 21 Cladograptus Forchhammeri pag. 211, Bornholm, Copie.
- 22 Graptolithus Bigsbyi pag. 211, Canada, Copie.
23. 24 Graptolithus fruticosus pag. 212, Canada, Copie.
- 25 Graptolithus flaccidus pag. 211, Utica Slate, 1. 2. 3 Würzelchen. Copie.
- 26 Dendrograptus Hallianus pag. 212, Potsdamsandstein, Wisconsin, Copie.
- 27 Dendrograptus fruticosus pag. 212, Canada,  $x$  vergrößerte Zellen, Copie.
- 28 Prionotus pristis pag. 212, Dalearnien, Copie.
- 29 Graptolithus palmeus pag. 213, Beraun, Copie.
30. 31 Diplograptus palmeus pag. 213, Thonschiefer, Voigtland, Copie.
- 32 Climacograptus antennarius pag. 213, Canada, Copie.
- 33 Graptolithus bicornis pag. 213, Cincinnati group, Copie.
- 34 Graptolithus ramosus pag. 214, Utica Slate, Albany, Copie.
- 35 Diplograptus quadrimucronatus pag. 214, daher;  $q$  Querschnitt,  $s$  seitlich, Copie.
- 36 Phyllograptus ovatus pag. 214, Böhmen, Copie.
- 37 Phyllograptus typus pag. 214, Canada, Copie.
- 38 Phyllograptus ilicifolius pag. 215, Canada,  $q$  Querschnitt, Copie.
- 39 Phyllograptus Anna pag. 215, Canada, Copie.
- 40 Phyllograptus angustifolius pag. 215, Canada, Copie.
- 41 Retiolites ensiformis pag. 215, Canada, Copie.
- 42 Retiolites venosus pag. 216, Canada, von zwei Seiten  $a b$ , Copie.
- 43 Retiograptus eucharis pag. 216, Utica Slate, Lake St. John, Copie.
- 44 Ptilograptus plumosus pag. 217, Canada, Copie.
- 45 Callograptus Salteri pag. 218, Canada,  $x$  vergrößerte Zellen, Copie.
46. 47 Ceriopora flammata pag. 221, Lias  $x$ , Göppingen, verschiedene Ansichten:  $x y Q$  vergrößert.
- 48 Ceriopora Cidariformis pag. 222, daher,  $x$  und  $y$  vergrößert.
- 49—55 Collapora straminea pag. 223, Brauner Jura  $\gamma$ , Jungingen,  $x y z s o u$  vergrößert.
- 56 desgleichen pag. 225, Brauner Jura  $\gamma$ , Gingen.
57. 58 Spiropora elegans pag. 225, daher,  $x$  und  $y$  vergrößerte Zweige.
- 59 Collapora escharoides pag. 225, daher,  $d$  Dicke,  $y$  vergrößert.
- 60—64 Ceriopora Gingensis pag. 225, daher,  $x y z$  vergrößert.
- 65 Heteropora Gingensis pag. 226, daher,  $u$  Wurzel,  $x$  vergrößert.
- 66 Ceriopora conifera pag. 227, Oolith, Chamboy,  $y z$  vergrößert.
67. 68 Ceriopora fuculina pag. 227, Oolith, Berrières.
- 69 Terebellaria ramosissima pag. 227, daher;  $g, y, U$  vergrößert.
- 70 Heteropora pustulosa pag. 228, daher,  $x y$  vergrößert.
- 71 Heteropora pyriformis pag. 228, Oolith, Ranville,  $x$  vergrößert.
- 72—76 Heteropora ramosa pag. 229 Brauner Jura  $\delta$ , Egg,  $x y M$  vergrößert.
77. 78 Terebellaria pag. 230, daher,  $x$  und  $y$  vergrößert.
- 79—81 cf. Terebellaria pag. 230, daher,  $x$  und  $y$  vergrößert.
82. 83 Heteropora diversipunctata pag. 231, Hilsconglomerat, Rauthenberg,  $x Q z$  vergrößert.
- 84 Ceriopora cavernosa pag. 231, Neocom, Verrières,  $x$  vergrößerte Löcher.
- 85 Ceriopora cristagalli pag. 232, daher,  $x$  vergrößert.
- 86 cf. Diastopora Michelinii pag. 233, Brauner Jura  $\delta$ , Hummel, durchschnitten:  $Q$  Querschnitt,  $x y z$  Vergrößerungen.
- 87 Diastopora Michelinii pag. 233, Oolith, Ranville,  $x$  und  $y$  vergrößert.
- 88 Apsendesia Dianthus pag. 233, daher:  $u U$  unten,  $o$  oben,  $x$  und  $y$  vergrößerte Zeichnung.

# Erklärung tab. 152.

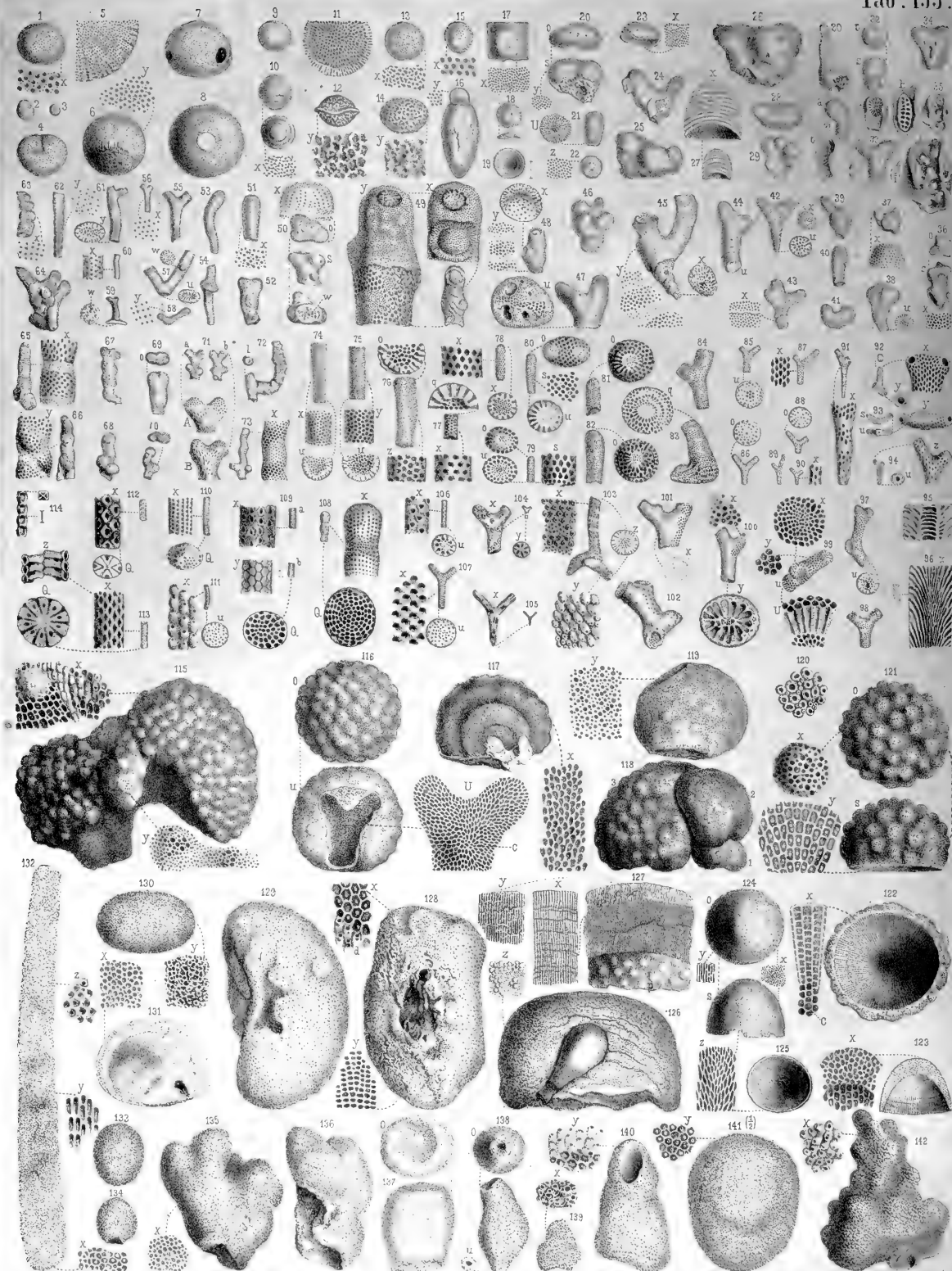
Fig.

1. 2 Ceriopora angulosa cellata pag. 234, Weisser Jura  $\epsilon$ , Steinenfeld,  $x$  und  $y$  vergrößerte Stücke.
- 3 desgleichen pag. 235, Weisser Jura  $\epsilon$ , Nattheim, seitlich  $s$  und unten  $u$ .
- 4 desgleichen pag. 235, Weisser Jura  $\epsilon$ , Schnaitheim,  $x$  vergrößert,  $y$  einzelne Zellen stark vergrößert.
- 5 desgleichen pag. 235, Weisser Jura  $\epsilon$ , Oerlinger Thal,  $z$  stark vergrößerte Zellen.
- 6—13 Ceriopora angulosa porata pag. 236, Weisser Jura  $\epsilon$ , Oerlinger Thal,  $x$  und  $y$  vergrößert.
- 14 desgleichen pag. 236, Weisser Jura  $\epsilon$ , Nattheim.
- 15 Ceriop. angul. cellata pag. 237, Weisser Jura  $\epsilon$ , Nattheim,  $x$  vergrößert,  $h$  hohle Bruchfläche.
16. 17 Ceriop. angul. porata pag. 237, daher,  $y$  und  $z$  vergrößerte Stücke.
- 18 Ceriopora pag. 237 mit Serpula  $s$ , daher,  $x$  vergrößertes Zweigstück.
- 19 Ceriopora pag. 237, Weisser Jura  $\epsilon$ , Sirchingen,  $x$  vergrößertes Stück.
20. 21 Ceriopora radiata pag. 238, Weisser Jura  $\epsilon$ , Nattheim,  $x$  vergrößerter Hügel.
- 22 Ceriopora interradiata pag. 239, Weisser Jura  $\epsilon$ , Dietingen, auf Terebratula,  $x$  vergrößert.
- 23 Ceriopora eradiata pag. 239, Weisser Jura  $\epsilon$ , Oerlinger Thal,  $x$  vergrößerte Spitze.
- 24—37 Ceriopora striata pag. 240, Weisser Jura  $\alpha$ , Lochen, Böllert etc.  $xyz$   $Gos$  vergrößert.
- 38—40 desgleichen pag. 241, daher, spießige Formen,  $x$  vergrößert.
41. 42 desgleichen pag. 242, daher, Längsschliff  $x$  und Querschliff  $Q$  vergrößert.
- 43—49 desgleichen pag. 242, daher,  $x$  vergrößert.
- 50 Ceriop. striata cellata pag. 243, Weisser Jura  $\gamma$ , Pfullingen.
- 51—59 Ceriopora radiformis pag. 243, Weisser Jura  $\alpha$ , Lochen, Böllert etc.,  $x$  und  $y$  vergrößert.
- 60 desgleichen pag. 244, daher, mit Pechkohle in den Zellen,  $x$  vergrößert.
61. 62 desgleichen pag. 243, daher, vergrößerter Quer- und Längsschnitt.
- 63—72 Ceriopora clavata (claviceps) pag. 245, daher,  $x$  vergrößert.
73. 74 Ceriop. clavata trisulcus pag. 246, daher.
- 75—88 Ceriopora clavata pag. 246, daher,  $x$  vergrößert.
89. 90 desgleichen pag. 247, daher, Längs-  $x$  und Querschnitt  $y$  vergrößert.
- 91—95 Gekräuselte Cerioporen pag. 248, Weisser Jura  $\alpha\beta$ , Lochen, Böllert etc.,  $osx$  vergrößert.
- 96—108 Ceriopora compacta pag. 249, daher, 108 Dünnschliff.
109. 110 Conodictyum striatum pag. 250, daher,  $xyu$   $os$  vergrößert.
- 111 Conodictyum striat. paucipora pag. 252, Weisser Jura  $\alpha$ , Hörnle,  $x$  vergrößerte Löcher zwischen zwei Rippen.
- 112 Conodictyum striat. multipora pag. 252, Weisser Jura  $\alpha$ , Lochen,  $y$  vergrößert.
- 113 Conodictyum striat. cariniferum pag. 252, Weisser Jura  $\gamma$ , Euingen.
- 114 Conodictyum bursiforme pag. 252, Weisser Jura  $\alpha$ , Schafberg; 115 Copie.
- 116—122 Ceriop. polymorpha pag. 253, (Alipora) Tourtia, Essen:  $x$  vergrößerte Oberfläche,  $Q$  Dünnschliff.
- 123 Ceriopora polym. incrustans pag. 254, daher.
124. 125 Ceriopora polym. lobata pag. 254, daher.
126. 127 Ceriopora polymorpha pag. 255, Oberer Quader, Salzberg,  $x$  vergrößerte Oberfläche.
- 128—132 Ceriopora micropora pag. 255, Tourtia, Essen,  $x$  vergrößerte Poren.
- 133 desgleichen pag. 256, daher, Schnittfläche,  $x$  Vergrößerung im Centrum.
- 134—138 Ceriopora stellata cumolata pag. 256, daher,  $x$  vergrößert.
- 139 Ceriopora stellata pag. 257, Obere Kreide, Maastricht,  $x$  vergrößert.
- 140 Ceriopora diadema pag. 257, daher,  $x$  vergrößert.
141. 142 Ceriopora stellata pag. 258, Weisse Kreide, Rügen,  $x$  vergrößert.
- 143—145 Ceriopora stellata botryoides pag. 258, Tourtia, Essen,  $x$  und  $y$  vergrößerte Zellen.
- 146—155 Ceriopora stellata cylindroides pag. 259, daher,  $xxx$  vergrößert.
- 156 desgleichen pag. 260, daher, dreifach vergrößerter Längsschliff.
- 157—159 Ceriopora spongites pag. 260, daher,  $x$  und  $y$  vergrößerte Zellen.
- 160—163 Ceriopora cribrrosa pag. 261, daher,  $xyz$  vergrößert.









# Erklärung tab. 153.

Fig.

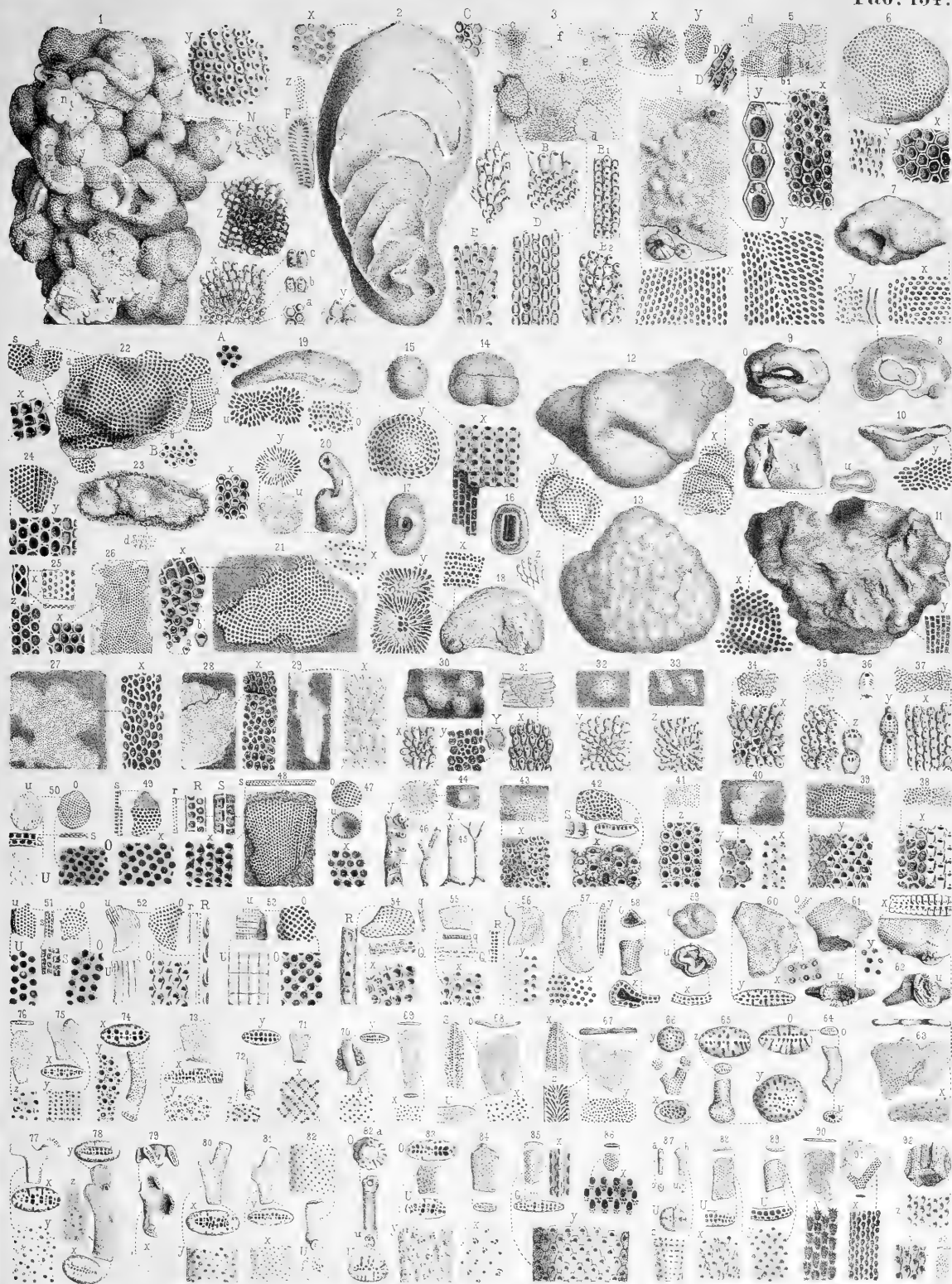
- 1—4 *Ceriopora nuciformis* pag. 262, Weisse Kreide, Rügen,  $x$  vergrößert.  
5 desgleichen pag. 262, daher, vergrößerter Sector eines Durchschnitts.
6. 7 desgleichen pag. 262, Lüneburg,  $y$  vergrößerte Oberfläche.
- 8 desgleichen pag. 263, aus dem Diluvialkies von St. Acheul, mit Loch.
- 9—12 *Ceriopora cf. nuciformis* pag. 263, Pläner, Quedlinburg; 11,  $x$  und  $y$  vergrößert.
13. 14 *Achilleum globosum* pag. 264, Weisse Kreide, Rügen,  $x$  und  $y$  vergrößert.
- 15 *Asterienassel* pag. 264, Weisser Jura  $x$ , Birmensdorf.
- 16 cf. *Ceriopora* pag. 265, Geschiebe, Mecklenburg,  $y$  vergrößerte Oberfläche.
- 17 *Achilleum parasiticum* 265, Kreide, Rügen, auf *Belemnites*,  $x$  vergrößert.
18. 19 *Orbitulites Creplinii* pag. 265, daher,  $x$  vergrößerte Oberfläche.
- 20—24 *Ceriopora polytaxis* pag. 265, Oberster Kreidesand, Maastricht;  $xyz$   $U$  vergrößert.
- 25—29 *Nullipora strata* pag. 265, daher,  $x$  vergrößert.
- 30—32 desgleichen pag. 267, daher, überzogene Sternkorallen.
33. 34 desgleichen pag. 267, Weisse Kreide, Rügen,  $B$  vergrößert, unwickelt *Eschara*.
- 35 *Nullipora labyrinthica* pag. 267, daher,  $x$  vergrößert.
36. 37 Verkrüppelte *Cerioporen* und überzogene *Asterienasseln* pag. 267, daher,  $x$  vergrößert.
- 38—46 *Ceriopora tenera* pag. 268, Oberster Kreidesand, Maastricht, verschiedene Formen.
- 47—49 desgleichen pag. 269, daher, verschiedene Species durcheinander gewachsen.
- 50 *Stellipora Bosquetiana* pag. 270, daher, oben  $o$ , seitlich  $s$ , unten  $u$ ,  $x$  vergrößerter Kopf.
- 51—64 *Heteropora crassa* pag. 270, daher, verschiedene Formen.
- 65—70 *Plethopora verrucosa* pag. 271, daher,  $x$  und  $y$  vergrößert.
- 71 *Plethopora truncata* pag. 272, daher,  $A$  und  $B$  vergrößert.
- 72 *Plethopora* pag. 272, daher, unten ein Schlauch  $l$ .
- 73 *Ceriopora spiralis* pag. 272, daher,  $x$  vergrößert.
- 74—76 *Ceriopora milleporacea* pag. 273, daher,  $u$  unten,  $o$  oben,  $xyz$  vergrößert.
- 77 desgleichen pag. 273, Weisse Kreide, Rügen,  $q$  Querbruch und  $x$  vergrößert.
- 78 *Ceriopora gracilis* pag. 274, daher,  $x$  vergrößertes Unterende.
- 79—86 desgleichen pag. 274, Oberster Kreidesand, Maastricht, verschiedene Abänderungen.
- 87—91 *Escharites distans* pag. 276, daher,  $o$  und  $x$  vergrößert.
- 92 *Cavaria biceps* pag. 276, daher,  $x$  vergrößertes Kopfe,  $y$  vergrößerter Querbruch.
- 93 *Cavaria arcuata* pag. 276, daher,  $s$  seitlich,  $u$  unten,  $y$  vergrößert von oben.
- 94 *Cavaria ramosa* pag. 276, daher,  $u$  unten,  $s$  seitlich vergrößert.
- 95 *Cavaria micropora* pag. 277, daher, Längsschliff, Copie nach Hagenow.
- 96 *Ceriopora gracilis* pag. 277, daher, Längsschliff,  $x$  vergrößert.
- 97—99 *Ceriopora variabilis* pag. 277, Mitteltertiär, Astrupp,  $xyu$   $U$  vergrößert.
- 100—102 *Ceriopora milleporacea* pag. 278, daher,  $xxxy$  vergrößert.
- 103 *Pustulipora madreporacea* pag. 278, Oberer Kreidesand, Maastricht,  $xyz$  vergrößert.
- 104 *Pustulipora rustica* pag. 279, daher,  $x$  und  $y$  vergrößert.
- 105 *Pustulipora geminata* pag. 279, daher,  $x$  vergrößert.
- 106 *Pustulipora trigonopora* pag. 279, Weisse Kreide, Rügen,  $u$  und  $x$  vergrößert.
- 107 *Pustulipora dubia* pag. 279, Oberer Kreidesand, Maastricht,  $u$  und  $x$  vergrößert.
- 108 *Ceriopora articulata* pag. 279, Weisse Kreide, Rügen,  $x$  und  $Q$  vergrößert.
- 109 *Ceriopora velata* pag. 280, daher,  $a$  offen,  $b$  verhüllt,  $xy$   $Q$  vergrößert.
- 110 *Ceriopora striatopunctata* pag. 281, daher,  $x$  und  $Q$  vergrößert.
- 111 *Heteropora dichotoma* pag. 281, Oberer Kreidesand, Maastricht,  $x$  und  $u$  vergrößert.
- 112 *Glaucanome matrona* pag. 282, Weisse Kreide, Rügen,  $x$  und  $Q$  vergrößert.
- 113 *Glaucanome trigona* pag. 282, daher,  $xz$   $Q$  vergrößert.
- 114 *Glaucanome tetragona* pag. 282, Mitteltertiär, Astrupp.
- 115 *Cellepora polythele* pag. 284, Neogen, Voitelesbrunn,  $x$  und  $y$  vergrößert.
- 116 desgleichen pag. 285, daher,  $o$  oben,  $U$  vergrößerte Unterseite  $u$ .
- 117 desgleichen pag. 285, daher, durchgesägtes Köpfchen,  $x$  vergrößert.
- 118 desgleichen pag. 285, Neogen, Selowitz, 1. 2. 3 drei Köpfe.
- 119 cf. *Spongites sphaeralis* pag. 285, aus einer alten Sammlung,  $y$  vergrößerte Schlifffläche.
- 120 Pusteln von *C. polythele* pag. 284, copirt nach Reuss.
- 121—123 *Thelopora mitra* pag. 286, Molasse, Oberschwaben,  $xy$  vergrößert.
124. 125 *Ceriopora cucullus* pag. 287, daher,  $xyz$  vergrößert.
- 126 *Chætetes polyporus* pag. 288, Molasse, Ursendorf, mit *Fistulana*.
- 127 desgleichen pag. 288, daher, Bruchfläche,  $p$  Pusteln,  $xy$  vergrößert.
- 128 *Cellepora globularis* pag. 289, Leithakalk, Edenburg,  $x$  und  $y$  vergrößert.
- 129 desgleichen pag. 290, Molasse, Enzkofen, von der Seite.
- 130 desgleichen pag. 291, daher, von oben,  $y$  vergrößert.
- 131 desgleichen pag. 291, daher, Durchschnitt,  $x$  vergrößert.
- 132 *Cellepora glob. explanata* pag. 291, Molasse, Pfullendorf, Querbruch,  $xyz$  vergrößert.
133. 134 *Cellep. glob. sphaerica* pag. 291, Molasse, Ursendorf.
- 135 *Cellep. glob. digitata* pag. 291, Molasse, Enzkofen,  $x$  vergrößert.
- 136 *Cellep. glob. tuberosa* pag. 292, Molasse, Oelkofen,  $w$  Ansatz.
- 137 *Cellep. glob. scyphiformis* pag. 292, daher,  $o$  Oberseite.
- 138 *Cellep. glob. fusiformis* pag. 292, daher,  $o$  Oberseite,  $u$  unteres Loch.
- 139 *Cellepora cf. globularis* pag. 292, Tegel, Sebranitz,  $x$  vergrößert.
- 140 *Cellepora pumicosa* pag. 292, lebt im Mittelmeer,  $y$  vergrößert.
- 141 *Cellepora globularis* pag. 293, Mitteltertiär, Astrupp, ( $1/2$ ) nat. Grösse,  $y$  vergrößert.
- 142 *Cellepora conglomerata* pag. 293, Mitteltertiär, Doberg,  $x$  vergrößert.

# Erklärung tab. 154.

Fig.

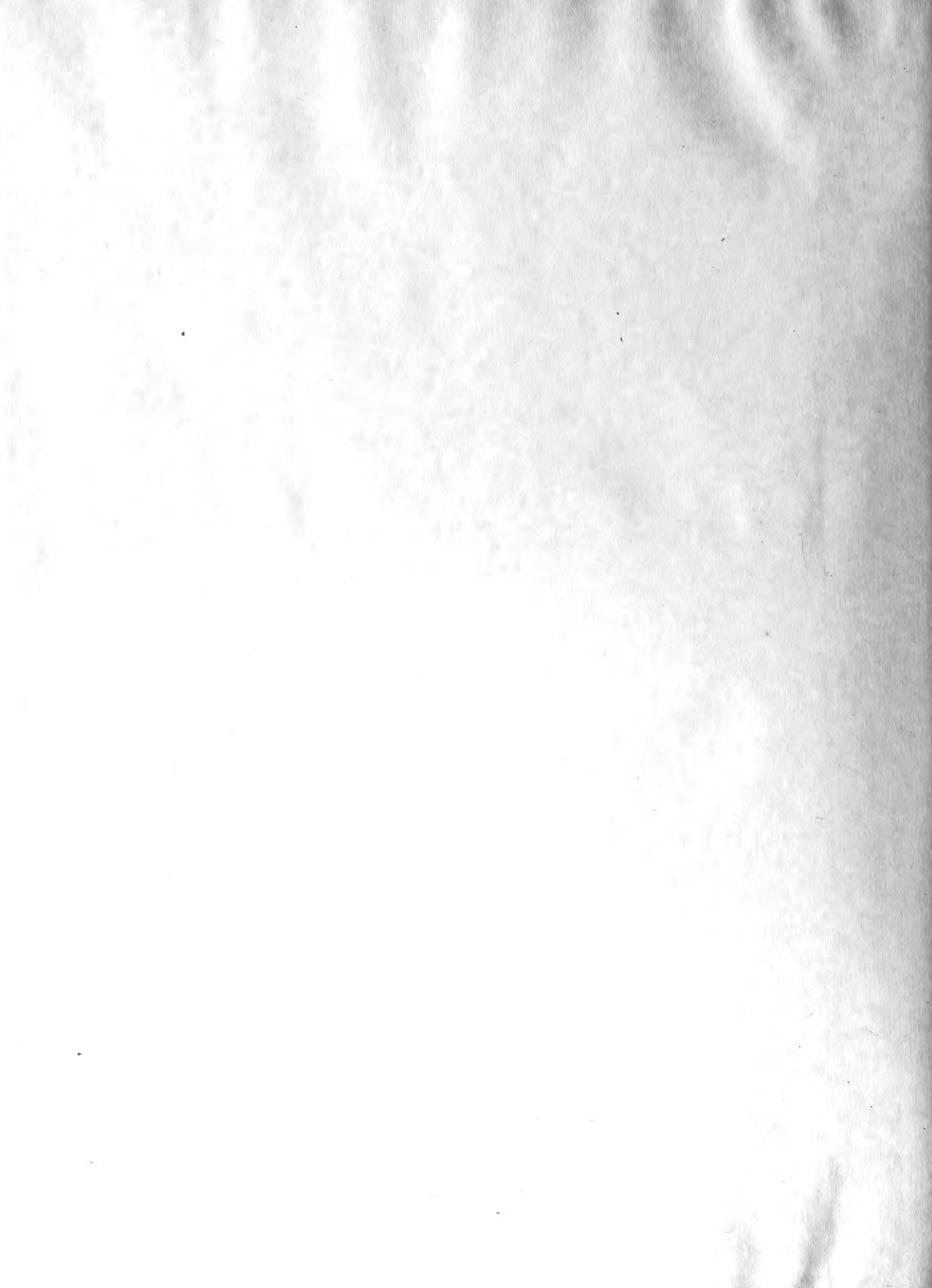
- 1 *Cellepora annulata* pag. 294 Mitteltertiär, Doberg, *w* und *n* (*N*) Nullipora, *y* vergrößert. Das vergrößerte *z* bezeichnet eine andere Parthie, dagegen gleicht das vergrößerte *x* mit seinen Nebenfiguren *a b c* der *Cellep. pustulosa*.
- 2 *Celleporenknollen* pag. 295, daher, *x* vergrößertes Innere, *y* vergrößerte Zellen von *Cellepora arrecta*, *F* abgebrochenes Stückchen.
- 3 Schalenstück von *Clypeaster Kleinii* pag. 296, daher: *a A*, *b B* *Cellep. pustulosa*; *B<sub>1</sub> B<sub>2</sub>* Vergrößerungen von *b<sub>1</sub> b<sub>2</sub>* in fig. 5; *d D* *gracilis*; *e E* *arcuata*; *f* Nullipora; *x* und *y* *Defrancia socialis*.
- 4 *Membranipora reticulum* pag. 298, Subappenninenformation, Asti, auf Venus und Balanus, *x y* vergrößert.
- 5 *Membranipora tuberculata* pag. 299, Mitteltertiär, Doberg: *x* und *y* vergrößert, *d D* *Cellep. gracilis*; *b<sub>1</sub>* und *b<sub>2</sub>* sind fig. 3 *B<sub>1</sub>* und *B<sub>2</sub>* vergrößert.
- 6 *Membranipora cognata* pag. 300, Upper Greensand, Chardstock, *x* vergrößert; *y C. cognata*.
- 7—11 *Ceriopora tuberosa* pag. 300, Neocom, Verrières, *x* und *y* vergrößert.
- 12 *Ceriopora cf. mamillosa* pag. 302, jüngere Kreide, Sutnerberg, *x* vergrößert.
- 13 *Ceriopora mamillosa* pag. 302, Obere Kreide, Bültum, *y* vergrößert.
- 14—17 *Cellepora volvox* pag. 303, Obere Kreide, Bültum, *x* und *y* vergrößert.
- 18—20 *Cellepora escharoides* pag. 304, Tourtia, Essen.
- 21 *Cellepora piriformis* pag. 305, Weisse Kreide, Rügen, *x* vergrößert.
- 22 desgleichen pag. 306, Maastricht, *x* vergrößert, *a A* *cyclostoma*, *b B* *crustulenta*.
- 23 *Cellepora hippocrepis* pag. 307, Maastricht, *x* vergrößert; *d* *Cellep. disciformis*.
- 24 *Cellep. bipunctata* pag. 307, daher, *y* vergrößert.
- 25 desgleichen pag. 308, daher, Doppellager, *x* seitlich und *z* oberflächlich vergrößert.
- 26 *Cellepora macerata* pag. 308, daher, *x* vergrößert.
- 27 desgleichen pag. 308, Weisse Kreide, Meudon, *x* vergrößert.
- 28 *Cellepora Meudonensis* pag. 309, daher, *x* vergrößert.
- 29 *Cellepora amphora* pag. 309, Weisse Kreide, Rügen, *x* vergrößert.
- 30 *Cellepora pavonia* pag. 310, daher, *x* und *y* vergrößert, *Y* noch stärker vergrößert.
- 31 *Cellepora circumdata* pag. 310, daher, *x* vergrößert, auf Terebratul.
- 32 *Cellepora granulosa* pag. 310, daher, *y* vergrößert.
- 33 *Cellepora marsupium* pag. 310, daher, auf Belemniten, *z* vergrößert.
- 34 *Cellepora oviformis* pag. 311, Oberster Kreidesand, Maastricht.
35. 36 *Cellepora trifora* pag. 311, daher, *x* vergrößert, und *z* noch stärker vergrößert.
- 37 *Cellepora perforata* pag. 312, daher, *x* vergrößert, und *y* noch stärker vergrößert.
- 38 *Cellepora subgranulata* pag. 312, daher, *x* vergrößert.
- 39 *Cellepora ringens* pag. 313, Weisse Kreide, Rügen, *y* vergrößert.
- 40 *Cellepora gothica* pag. 313, daher, *x* vergrößert, *y* stärker vergrößert.
- 41 *Cellepora monilifera* pag. 313, Maastricht, *z* vergrößert.
- 42 *Cellepora ornata* pag. 313, daher, *o* oben, *s S* seitlich, *x* vergrößert.
- 43 *Cellepora bilaciniata* pag. 314, daher, auf Belemniten, *x* vergrößert.
- 44 *Cellepora disciformis* pag. 314, daher, auf Belemniten, *x* vergrößert.
45. 46 *Aulopora ramosa* pag. 315, Maastricht, *x* und *y* vergrößert.
- 47 *Eschara monocyclostoma* pag. 315, daher, *o* oben, *u* unten, *x* vergrößert.
48. 49 *Eschara diplocyclostoma* pag. 316, daher, *x* Oberfläche, *s S* Seite, *r R* Rand vergrößert.
50. 51 *Eschara diplocyclostoma* pag. 317, daher, *o O* oben, *u U* unten, *s S* seitlich vergrößert.
- 52 *Eschara subpiriformis* pag. 318, daher, *u U* unten, *o O* oben, *r R* Rand vergrößert.
- 53 *Eschara quadrata* pag. 318, daher, *o O* oben, *u U* unten vergrößert.
- 54 *Eschara oblita* pag. 318, daher, *q Q* Querbruch, *R* Rand, *x* Oberseite vergrößert.
- 55—58 *Eschara stigmatophora* pag. 318, daher, *q Q* Querbruch und Oberfläche *x y* vergrößert.
- 59 desgleichen pag. 319, Weisse Kreide, Rügen, *o* oben, *u* unten, *x* vergrößert.
- 60—65 *Eschara laminaris*, pag. 320, Maastricht, *x* und *y* vergrößert etc.
- 66 *Ceriopora constricta* pag. 321, Kreide, Rügen, *x* und *y* vergrößert.
- 67 *Ceriopora compressa* pag. 322, Maastricht, *x y z* vergrößert.
68. 69 *Ceriopora anomalopora* pag. 322, daher, *x* Oberfläche und *U* Bruchfläche vergrößert.
- 70—73 *Eschara filograna* pag. 322, daher, *x y z* vergrößert.
- 74 *Eschara tricata* pag. 323, daher, *x* und *y* vergrößert.
- 75 *Eschara quadrifrons* pag. 324, daher, *x* und *y* vergrößert.
- 76 *Eschara Lamarekii* pag. 324, daher, *z* vergrößert.
- 77—82 *Eschara striata* pag. 324, daher, verschiedene Varietäten.
- 83 *Eschara disticha* pag. 326, Kreide, Rügen, *O* oben, *U* unten, *y* Oberfläche vergrößert.
- 84 *Eschara dist. callosa* pag. 326, daher, *x* vergrößert.
- 85 *Eschara elegans* pag. 327, daher, *x y Q* vergrößert.
- 86 *Eschara marginata* pag. 327, daher, *x* vergrößert.
- 87 *Eschara fissurata* pag. 328, daher, zwei Ansichten *a b*, *U z* vergrößert.
88. 89 *Eschara irregularis* pag. 328, daher, *x y U* vergrößert.
- 90 *Flustra foliacea* pag. 328, lebend in der Nordsee, eine Endspitze, *x* vergrößert.
- 91—93 *Escharites bimarginatus* pag. 329, oberer Quader, Salzberg, *x y z* vergrößert.











ERNST MAYR LIBRARY



3 2044 110 329 818

